

# REGIONE ABRUZZO

PROVINCIA DI PESCARA



# **COMUNE DI PESCARA**

# RELAZIONE GEOLOGICA E GEOTECNICA RELAZIONE SISMICA

Verifica di compatibilità ai sensi dell'art. 89 del D.P.R. 380/2001



"Lavori di ristrutturazione e ampliamento volti al recupero del fabbricato ex scuola Muzii di Via Saffi, ad uso del conservatorio L. D'Annunzio di Viale Bovio - Viale Muzii"

	COMMITTENTE	PROGETTISTA				
Comune di Pescara						
REV.	DATA	GEOLOGO				
0	22/01/2019	Dott. Geol. Michele Aureli				
	Datt Oaal Miakala Assali					

AURELI SOIL STI
GEOTECHICAL GEOPPISCS STRUCTURAL HEALTHMONTONIA CORGOLIZATIONS. GEOTPESMA A MATERIESEARCH
CONSULT

Dott. Geol. Michele Aureli

Via Lamarmora n°81, 67055, Gioia dei Marsi (AQ) Tel. +39.0863.88464 - info@aurelisoil.it

# RELAZIONE GEOLOGICA E GEOTECNICA

# Sommario

1.	PRE	EMESSA	3
2.	INQ	UADRAMENTO GEOGRAFICO E TOPOGRAFICO	5
3.	INQ	UADRAMENTO GEOLOGICO E GEOMORFOLOGICO	7
4.	INQ	UADRAMENTO TETTONICO, PERICOLOSITA' E CLASSIFICAZIONE SISMICA	13
5.	P.A	.l. e P.S.D.A.	19
6.	INQ	UADRAMENTO IDROGRAFICO E IDROGEOLOGICO	22
7.	МО	DELLAZIONE GEOLOGICO TECNICA E CARATTERIZZAZIONE GEOTECNICA	24
8.	VEF	RIFICA A LIQUEFAZIONE	28
9.	DAT	TI GEOFISICI e AZIONE SISMICA	31
9.1	IND	AGINE SISMICA MASW - M1	31
10.	COI	NSIDERAZIONI CONCLUSIVE	33
11. E	BIBLIC	OGRAFIA	35
ALL	EGA	TI:	
	*	ALL. 1 – QUADERNO TECNICO DELLE INDAGINI	
	*	ALL. 2 – VERIFICA LIQUEFAZIONE DEL SITO	
	*	ALL. 3 – UBICAZIONE INDAGINI - DOCUMENTAZIONE FOTOGRAFICA - MODELLO GEOLOGICO TECNICO - PARAMETRI SISMICI	
	*	ALL, 4 – STRALCIO NUOVA CARTA DELLA PERICOLOSITÀ ADOTTATA (FLABORATO N. 7.2.07.PE.01 VAR)	

# RELAZIONE SISMICA

❖ ALL. 5 – CERTIFICATI DI LABORATORIO

#### Sommario

1	PREMESSA	97
2	QUADRO NORMATIVO DI RIFERIMENTO	97
3	CARATTERIZZAZIONE SISMICA DI SITO	97
3.1	Valutazione 'pericolosità sismica'	97
3.2	Valutazione del parametro Tempo di ritorno - Tr	98
3.3	Probabilità di superamento dello stato limite richiesto	99
3.4	Definizione della terna di valori $a_g$ , $F_0$ , $T^\star_c$	99
3.5	Effetto della risposta sismica locale	99
4	CARATTERIZZAZIONE SISMICA DELLE STRUTTURE	100
5	SPETTRI DI PROGETTO	100

## 1. PREMESSA

Il presente lavoro è stato redatto su incarico del **Comune di Pescara**, al fine di definire le caratteristiche geologiche, geotecniche e sismiche per il sito ubicato nel comune di **Pescara (PE)**, per il progetto dal titolo: "Lavori di ristrutturazione e ampliamento volti al recupero del fabbricato ex scuola Muzii di Via Saffi, ad uso del conservatorio L. D'Annunzio di Viale Bovio-Viale Muzii".

Lo studio ha comportato una ricerca bibliografica e cartografica preliminare, al fine di inquadrare l'area nel suo contesto geografico e geologico, nonché di acquisire informazioni utili allo scopo del lavoro.

La prima fase del lavoro è consistita in un accurato rilevamento geologico e geomorfologico che ha permesso di definire le principali caratteristiche del sito in oggetto. Così come previsto dalle disposizioni nazionali in materia di normativa tecnica per le costruzioni e di classificazione sismica del territorio (NTC 2018 – D.M. 17/01/2018), allo scopo di definire le caratteristiche geologiche, geomorfologiche, idrogeologiche, geotecniche e sismiche dell'area è stata osservata la seguente metodologia di indagine:

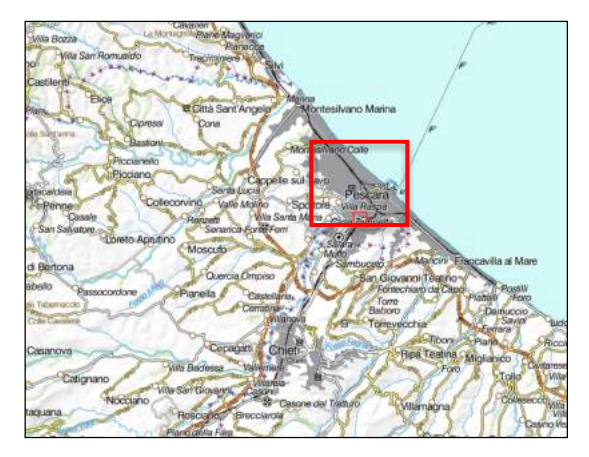
TIPOLOGIA DI INDAGINE	OBIETTIVO	DATA	QUANTITA'	PROFONDITA' LUNGHEZZA
Prova Penetrometrica di tipo DPSH	Ricostruzione rapporti stratigrafici, caratterizzazione geotecnica indiretta dei terreni	20/12/2018	N°2	DPSH1 –12,20 m DPSH2 –12,20 m
Prelievo di campione indisturbato	Caratterizzazione geotecnica del sito	20/12/2018	N°2	C1 – da 1,50 a 2,00 m C2 – da 14,5 a 15,0 m
Sismica di superficie tipo MASW	Caratterizzazione del parametro VsEq per la categoria di suolo (D.M. 17-01-18)	21/12/2018	N°1	<b>M1</b> – 48 m
Sondaggio Geotecnico a c.c.	Ricostruzione rapporti stratigrafici	20/12/2018	N°1	S1 – 20 m
Prove Penetrometriche dinamiche in foro - SPT	Caratterizzazione geotecnica del sito	20/12/2018	N°2	SPT1 – 11,55 m SPT2 – 15,00 m
Sismica Passiva HVSR	Caratterizzazione della frequenza caratteristica del sito (D.M. 17-01-18)	21/12/2018	N°1	HVSR1 – 30 min

Tab. 1 – Indagini Geotecniche e Geofisiche eseguite

I dati raccolti sono stati ritenuti sufficienti per la caratterizzazione geologica del sito e nel definire un appropriato modello geologico del sottosuolo.

# 2. INQUADRAMENTO GEOGRAFICO E TOPOGRAFICO

Dal punto di vista cartografico il territorio in esame è compreso nei fogli 351 E in scala 1:25000 ed a grande scala nel foglio 351101 della serie CTR Abruzzo 1:5000.





Cartografia ufficiale							
Foglio n° Scala Nome Anno							
351101	1:5000	-	2005				
351 E	1:25000	-	1955				
351	1:50000	PESCARA	2010				
141	1:100000	PESCARA	-				

Figura 1. Stralcio del DEM Italia; nel riquadro l'area di indagine (www.igmi.org)

Il sito si sviluppa nella parte NW del centro abitato di **Pescara**, in sinistra idrografica dell'omonimo fiume, ad una quota di 4 m s.l.m. (Fig. 2). L'area si trova in corrispondenza della fascia costiera adriatica, su un territorio dall'andamento pianeggiante.

Il territorio di studio, infatti, presenta una morfologia prettamente pianeggiante (Fig. 3), pertanto il sito è stato classificato nella categoria Topografica "**T1**", che comprende pendii con inclinazione i < 15° (NTC 2018 – D.M. 17/01/2018).

Dal punto di vista cartografico il territorio in esame è compreso nei fogli 351 E in scala 1:25000 ed a grande scala nel foglio 351101 della serie CTR Abruzzo 1:5000.



Figura 2. Stralcio Foglio CTR, scala 1:13000; nel riquadro l'area di indagine.



Figura 3. Ortofoto del territorio di Pescara (PE), nel riquadro l'area di indagine.

# INQUADRAMENTO GEOLOGICO E GEOMORFOLOGICO

L'area di studio si trova nel settore orientale più esterno del settore abruzzese e dal punto di vista tettonico-paleogeografico nell'Unità tettonica denominata: Avanfossa periadriatica. Tale unità è costituita da una profonda depressione allungata parallelamente all'attuale linea di costa e, durante il sollevamento della Catena Appenninica nel Pliocene, è stata sede di notevoli fenomeni di subsidenza.



# SUCCESSIONE DEL QUATERNARIO CONTINENTALE



Figura 4- Stralcio Foglio Pescara scala 1:50000- Progetto CARG; nel riquadro l'area di interesse.

In tale fossa si sedimentarono, quindi, materiali terrigeni a grana finissima, che generarono la Formazione conosciuta in letteratura come "Argille grigio-azzurre" attribuite al Plio-Pleistocene.

I depositi affioranti fanno parte della successione silicoclastica del Pliocene superiore – Pleistocene inferiore, in concordanza al di sopra dei depositi del Pliocene medio – superiore. Temporalmente si collocano dopo l'ultima fase di migrazione verso l'avampaese del fronte de formativo e del depocentro torbiditico.

La fase di segmentazione del depocentro principale in depocentri minori avviene in concomitanza con la struttura costiera, databile al Pliocene inferiore terminale. Da questo momento, fino al top del Pliocene superiore, le successioni sedimentarie registrano un decremento dei tassi di subsidenza tettonica e mostrano una tendenza shallowing upward.

La successione marina, nota in letteratura come Formazione di Mutignano, rappresenta una successione marina riferibile ad ambienti che vanno dall'offshore allo shoreface, con fasi di progradazione degli ambienti deposizionali verso le aree bacinali, con tendenza al colmamento del depocentro plio-pleistocenico. Tale successione ha inizio con la deposizione di litotipi trasgressivi e discordanti sulla Formazione della Laga, cui segue una potente successione argillosa nella quale sono intercalati, a varie stratigrafiche, corpi e/o orizzonti clastici a granulometria fine e grossolana. La sequenza si chiude con sabbie e conglomerati in facies da litorale a continentale.

La successione marina della Formazione di Mutignano, è caratterizzata da tre principali facies, l'associazione pelitico-sabbiosa (FMTa), con a luoghi corpi conglomeratici (FMTb), associazione sabbioso-pelitica (FMTc) e sabbioso- conglomeratica (FMTd).

L'associazione pelitico-sabbiosa è costituita alla base da argille grigio-azzurre con sottili livelli sabbiosi, passanti verso l'alto ad argille sabbiose grigio-avana con livelli siltosi fini grigio chiaro a laminazione incrociata con faune di acqua bassa. Al loro interno si rinvengono frequenti macrofossili quali gasteropodi e bivalvi.

L'associazione sabbioso-pelitica è costituita da un'alternanza di sabbie e sabbie siltose giallo-ocra, a variabile grado di cementazione, ed argille e argille siltose grigiastre sottilmente laminate. Lo spessore degli strati sabbiosi aumenta, dal basso verso l'alto,

da sottile a medio ed il rapporto sabbia/argilla è pressoché pari a 1. Gli strati sabbiosi generalmente in rapporto erosivo sulle peliti, possono presentare laminazioni parallele.

L'associazione sabbioso-conglomeratica è costituita da una successione di sabbie e arenarie di colore giallastro, frequentemente bioturbate, in strati da medi a spessi, alternate a lenti e strati di ghiaie e di conglomerati. Localmente sono presenti livelli, da millimetrici a centimetrici, di peliti grigie.

Nel Quaternario, in discordanza stratigrafica con le Argille siltose grigio-azzurre, si depositarono i sedimenti del Fiume Pescara. Quest'ultimo apporto sedimentario, nel tempo è stato condizionato dalle variazioni eustatiche, le quali hanno influenzato il potere erosivo e di trasporto del fiume stesso.

La successione di episodi di erosione e di deposito da parte del corso d'acqua ha causato la formazione di morfosculture a forma di ripiano noti in letteratura come "Terrazzi fluviali".

Si tratta di antichi alvei abbandonati dal fiume in seguito ad una fase erosiva che ha provocato l'approfondimento dell'alveo stesso che, attualmente, si trova ad una quota più bassa. Il Fiume Pescara, nell'ambito del territorio indagato, presenta due Ordini di Terrazzi in sinistra idrografica (II e III Ordine) ed un'Ordine in destra idrografica (III Ordine). Tale diversità è dovuta alla paleogeografia dell'area, che vedeva l'asse vallivo spostato in destra idrografica, al bordo delle colline di Fontanelle e San Giovanni Teatino. Scorrendo, quindi, sul lato meridionale della valle, il fiume erodeva le colline alla base, provocando il disfacimento dei Terrazzi fluviali, che aveva in precedenza formato.

Successivamente il letto del fiume si sposta sensibilmente verso nord fino ad assumere l'andamento attuale che in alcuni punti lambisce le colline plio-pleistoceniche. Tale situazione provoca un fenomeno di erosione di sponda, conseguentemente al quale, nei punti di erosione si può verificare la diminuzione dell'estensione del terrazzo o addirittura la sua scomparsa.

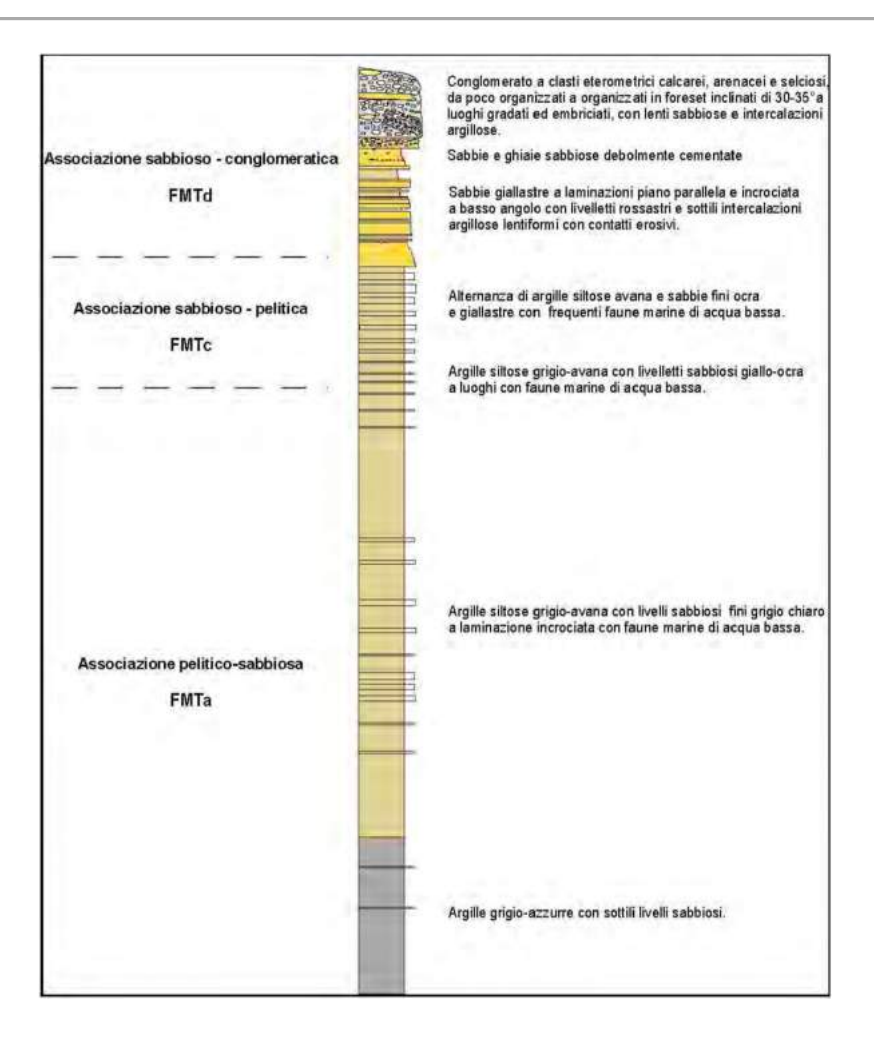
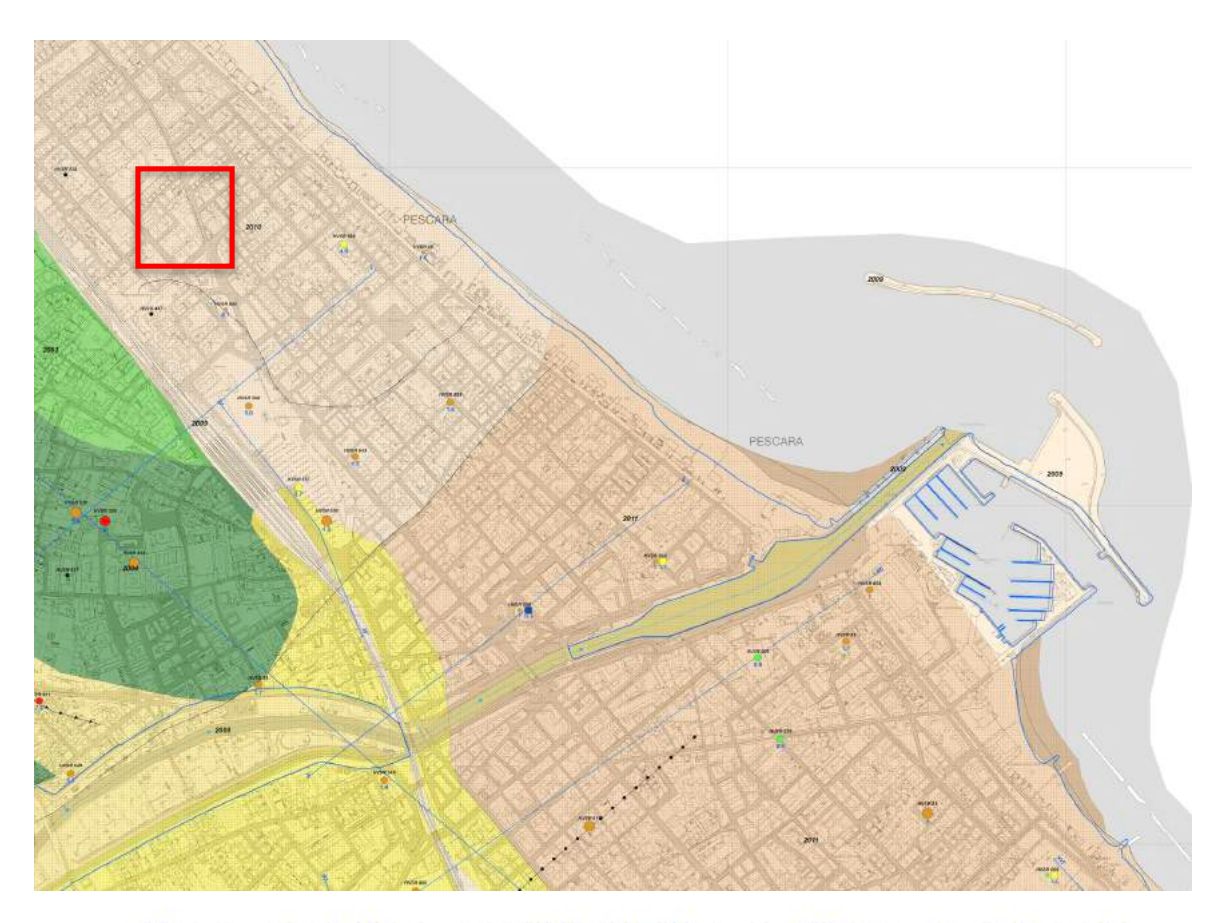


Figura 4a- Log stratigrafico della Formazione di Mutignano.

Da quanto emerge dalla carta geologica Foglio 351 "Pescara" della Carta CARG in scala 1:50.000, l'area di studio è caratterizzata dalla presenza di depositi di spiaggia (**OLO g2**). Tali depositi sono costituiti da sabbie, limi e ghiaie. In particolare, nella parte superficiale, sabbie limose e limi sabbiosi di colore nocciola da poco consistenti a sciolti. Più in profondità sabbia da media a grossolana talore debolmente limosa, addensata, con clasti ghiaiosi. Ancora più in profondità livelli di ghiaia da fine a media in matrice sabbioso limosa addensata con ciottoli prevalentemente di natura calcarea, spesso a contatto col substrato.

Quest'ultimo, nella zona di interesse, è formato da argilla limosa grigio azzurra da consistente a molto consistente con livelli centimentri limoso-sabbiosi. Al contatto erosivo con l'orizzonte ghiaioso soprastante acquifero si presenta alterata per circa 4 metri. La consistenza aumenta generalmente gradualmente verso il basso.

Analizzando la cartografia geologica più recente ed a scala più di dettaglio, prodotta in occasione degli studi di **Microzonazione Sismica Livello I del Comune di Pescara** (Carta delle MOPS), il sito oggetto viene rilevato in **zona stabile suscettibile di amplificazioni locale**, **Zona 10**, caratterizzata da depositi di sabbioso-limosi, sabbioso argillose con lenti ghiaiose, per uno spessore variabile di circa 5 e 30 m, che poggiano sul substrato coesivo formato da argille grigio azzurre.



Zone stabili suscettibili di amplificazioni locali

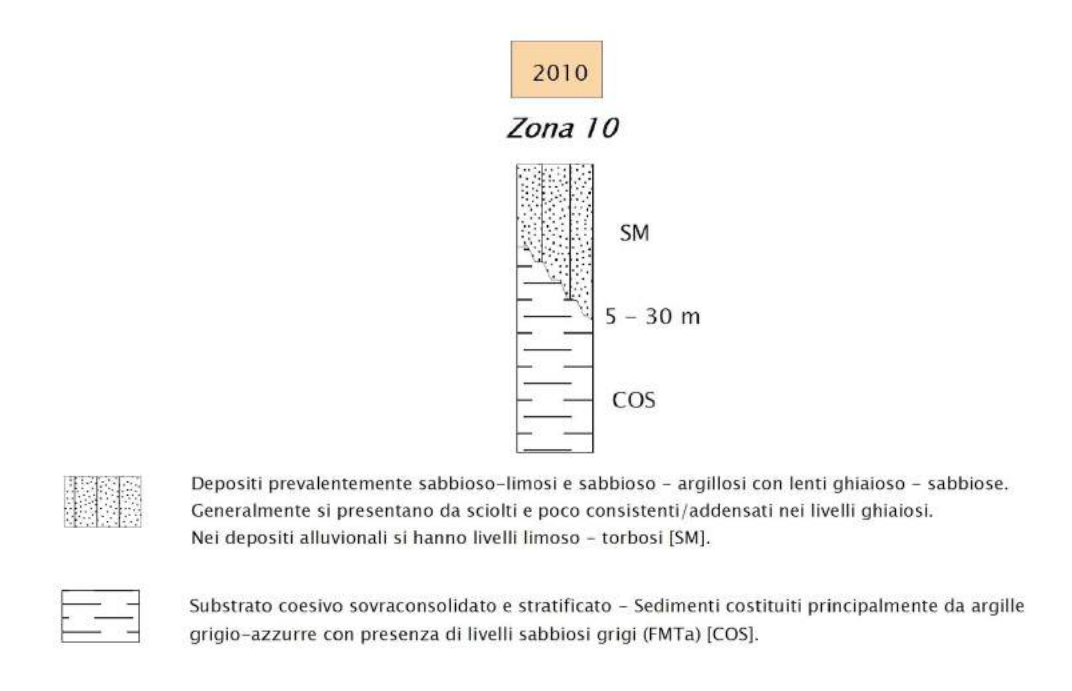


Figura 5b. Stralcio Carta delle MOPS - MZS Pescara, nel riquadro l'area di studio.

# 4. INQUADRAMENTO TETTONICO, PERICOLOSITA' E CLASSIFICAZIONE SISMICA

L'Appennino centrale è una catena montuosa costituita da una serie di sovrascorrimenti Adriatico vergenti, che rappresentano il risultato della tettonica compressiva di età miopliocenica.

Il fronte della tettonica compressiva è progressivamente migrato verso E dislocando ed impilando falde di ricoprimento; queste ultime sono costituite dalle successioni carbonatiche marine meso-cenozoiche che interessano unità terrigene neogeniche di avanfossa progressivamente più giovani.

Con l'evolversi progressivo della catena si sviluppano anche nel settore abruzzese bacini sedimentari marini a forte subsidenza che ospitano forti spessori di materiali terrigeni, noti come "Avanfosse" impostatesi durante le fasi tettoniche precedenti e in continua evoluzione; le variazioni morfologiche delle avanfosse condizionano in maniera sostanziale lo scorrimento dei flussi torbiditici e la geometria degli apparati deposizionali.

Nell'avanfossa del Dominio Abruzzese si sviluppano depressioni limitate bordate da alti strutturali e trasversali. In tali bacinisi depongono dapprima poche decine di metri di sedimenti marnosi emipelagici a testimonianza dell'iniziale fase di flessurazione del settore più interno dell'avampaese; solo successivamente questi bacini ridotti ospitano la sedimentazione di migliaia di metri di depositi terrigeni sintettonici (torbiditi silicoclastiche). Gli effetti della tettonica sinsedimentaria sono evidenziati dalla genesi di nuove faglie distensive. La migrazione della compressione verso l'avampaese coinvolge progressivamente le avanfosse più interne, inglobandole nella catena a pieghe e sovrascorrimenti e sviluppando talora, bacini satelliti controllati dall'attività tettonica.

L'evoluzione plio-pleistocenica della fascia pedemontana abruzzese è stata, quindi, condizionata dalla fase finale della migrazione dell'orogenesi e successivamente da effetti concomitanti di alcuni fattori, quali: un generale sollevamento regionale con progressivo basculamento verso E del settore più orientale, una tettonica sinsedimentaria tardo e post- orogena, e le variazioni climatiche ed eustatiche.

A partire dal Pliocene medio, l'evoluzione morfotettonica della fascia periadriatica abruzzese si è sviluppata con modalità diverse nel settore occidentale e in quello orientale più esterno.

Nell'area più interna in emersione prende forma un paesaggio continentale dalla morfologia morbida con rilievi poco accentuati i cui resti sono presenti solo in limitati lembi preservati dalla tettonica e dalla morfogenesi glaciale. Tra il Pliocene medio ed il Pleistocene basale si formano una serie di superfici subpianeggianti disposte in vari ordini ad altitudine decrescente a formare terrazzi orografici (superfici relitte). A queste fasi erosionali si alternano fasi deposizionali: su alcune superfici relitte poggiano depositi continentali caratterizzati da facies diverse e eteropici appartenenti a diverse unità stratigrafiche a limiti in conformi (supersintemi e sintemi).

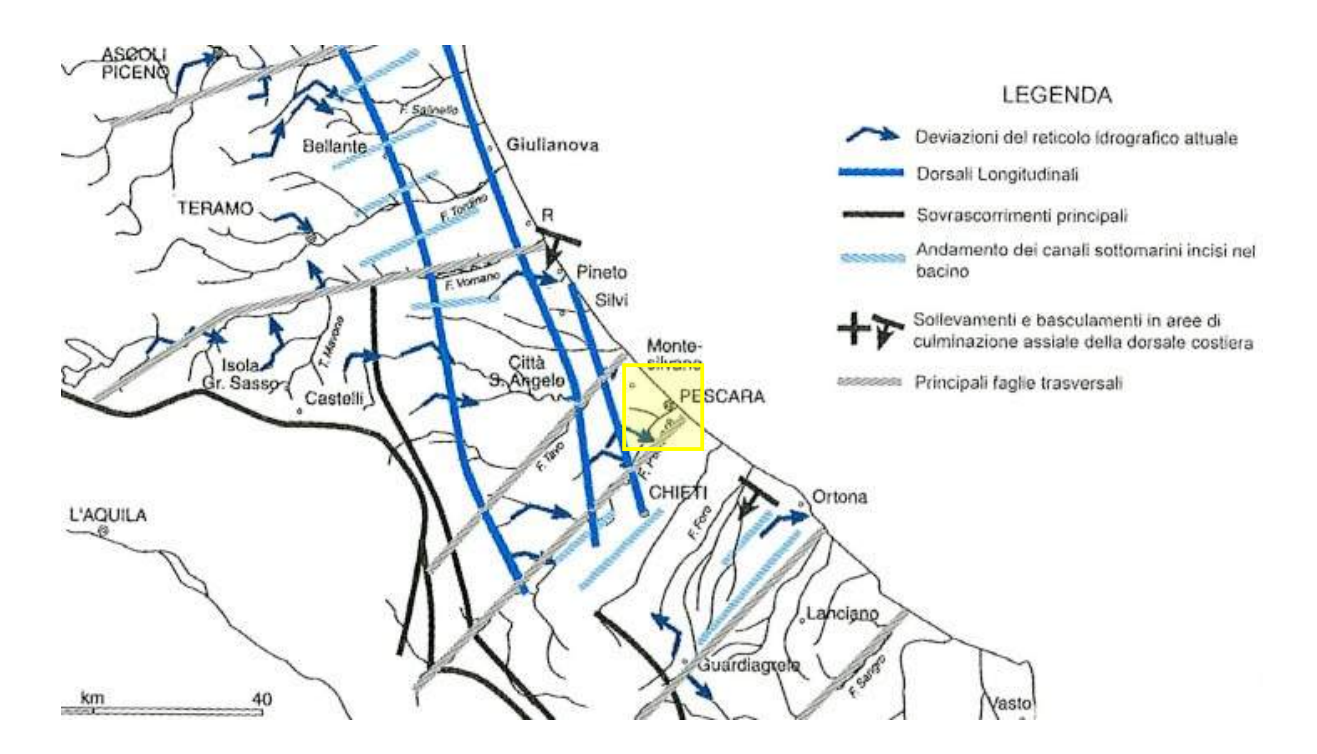


Figura 6a. Schema delle principali faglie e strutture tettoniche della fascia periadriatica; in giallo l'area di studio.

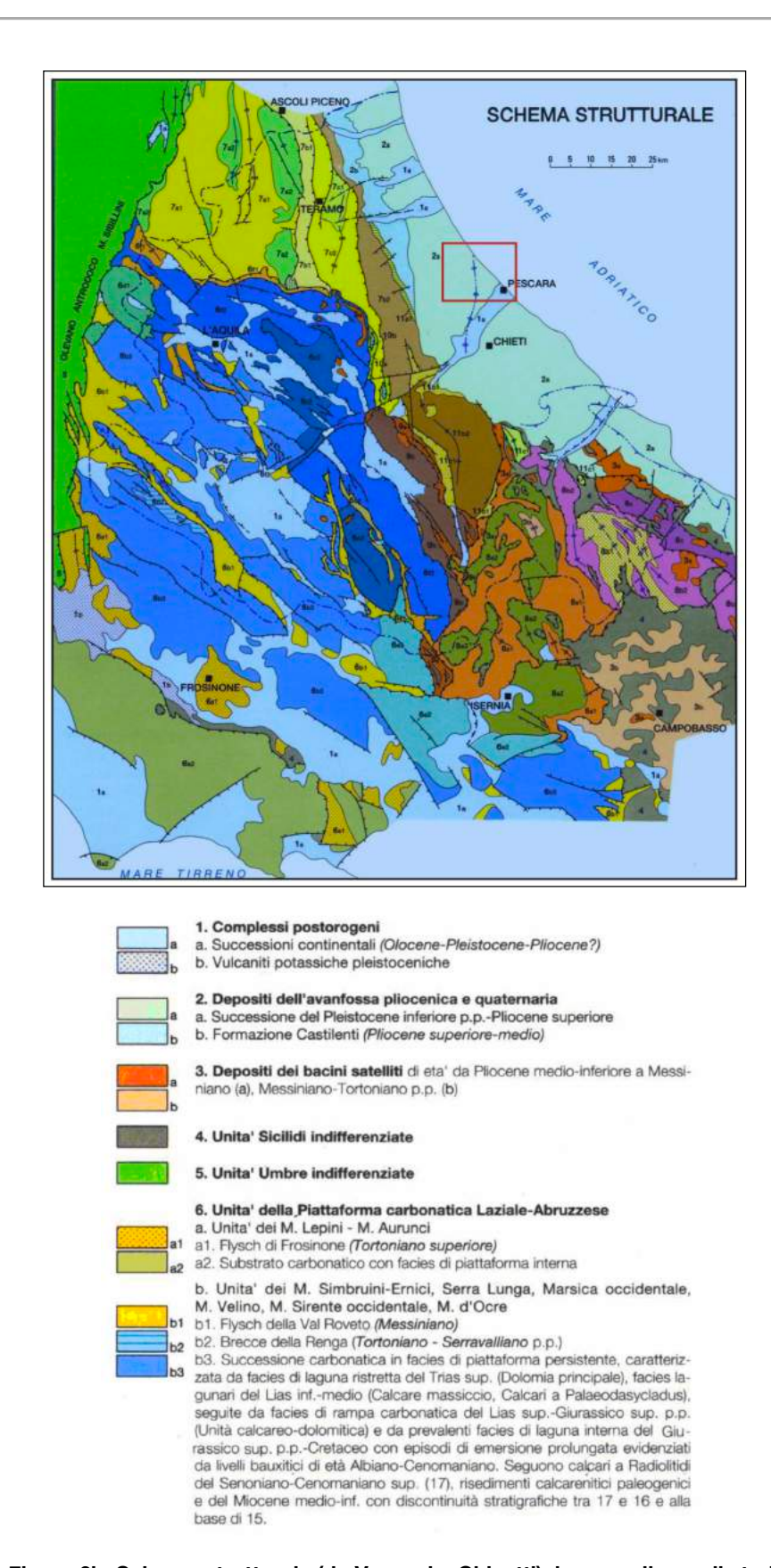


Figura 6b. Schema strutturale (da Vezzani e Ghisetti); in rosso l'area di studio.

L'assetto strutturale del bacino pelagico è caratterizzato dal sovrascorrimento più esterno che realizza la sovrapposizione della Formazione della Laga sui depositi terrigeni pliocenici terrigeni della Formazione del Cellino depostisi nel bacino di avanfossa infrapliocenico (Fig.6b).

Nell'area di interesse non si individuano lineamenti tettonici importanti, nè segni morfogenetici attivi.

La struttura della fascia collinare costiera ha risentito in minima parte dei movimenti tettonici per cui si presenta con una struttura tipicamente monoclinalica a leggera immersione verso Est; tale struttura si evidenzia nettamente nelle forme dei rilievi che formano versanti molto più acclivi nel lato Occidentale in cui gli strati sono in leggero reggipoggio.

Per trattare i problemi tecnico-amministrativi tipici della gestione del territorio, ogni regione può definire l'appartenenza di ciascun comune o porzione di esso ad una delle quattro zone sismiche definite più avanti, sulla base del valore massimo di un parametro di pericolosità sismica valutato all'interno dell'area considerata. In particolare, il parametro di pericolosità utilizzato è l'accelerazione orizzontale massima al suolo ag, ossia quella relativa al 50simo percentile, ad una vita di riferimento di 50 anni e ad una probabilità di superamento del 10%.

Il **Comune di Pescara** è localizzato in un settore a bassa pericolosità sismica, tanto che la nuova mappa prevede per il suo bedrock (o suolo rigido con Vs > 800 m/s) la probabilità di superamento del 10% in 50 anni di un valore convenzionale di accelerazione massima orizzontale (ag) variabile tra **0.100 - 0.150 g.** 

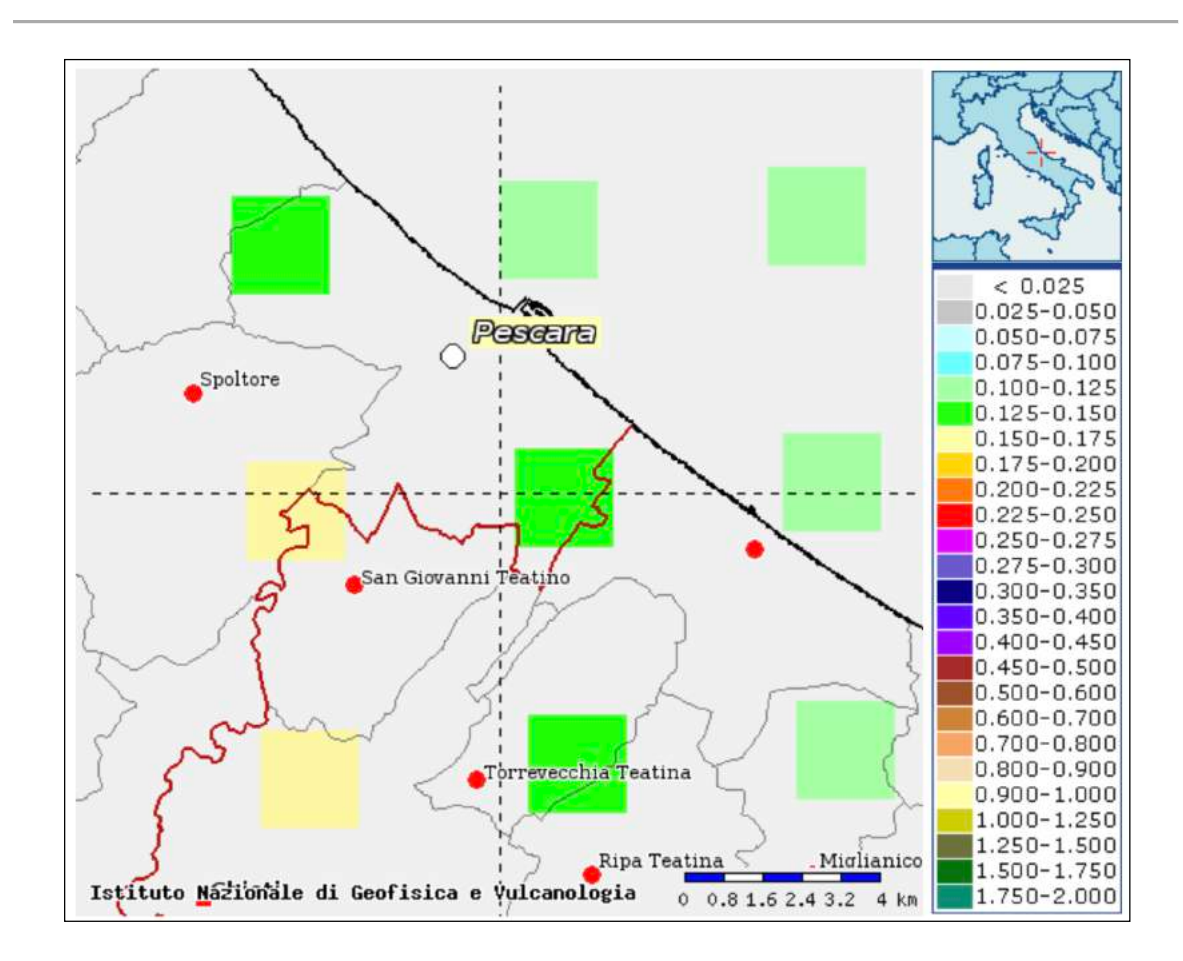


Figura 7. Ingrandimento della mappa di pericolosità sismica (da http://esse1-gis.mi.ingv.it/)

Per valutare la pericolosità sismica di un luogo è necessario innanzitutto conoscere la sua storia sismica, quindi avere una lista dei terremoti che hanno colpito la zona quanto più completa ed estesa nel tempo.

Per il Comune di **Pescara**, sono stati identificati 26 eventi dal 1873 al 2003 database macrosismico Italiano 2004, DBMI04 dell'INGV. Di seguito vengono illustrati i grafici degli eventi con i valori delle intensità sismiche (fig.8).

Numero d	li eventi: 26			
Effetti		In occasione del terremoto d	del:	
I[MCS]	Data	Аж	Np	Io Mw
5	1873 03 12 20:04	4 Marche meridionali	196	8 5.95 ±0.10
3	1875 12 06	S.MARCO IN LAMIS	97	8 5.98 ±0.16
7	1881 09 10 07:00	) Abruzzo meridionale	29	8 5.59 ±0.32
3	1913 10 04 18:20	5 Matese	205	7-8 5.37 ±0.11
5-6	1915 01 13 06:52	2 Avezzano	1041	11 7.00 ±0.09
NF	1919 06 29 15:0	6 Mugello	566	10 6.29 ±0.09
4-5	1930 07 23 00:08	3 Irpinia	547	10 6.62 ±0.09
3	1930 10 30 07:13	B SENIGALLIA	263	8 5.81 ±0.09
5	1933 09 26 03:33	B Maiella	326	9 5.95 ±0.09
5	1950 09 05 04:08	GRAN SASSO	386	8 5.68 ±0.07
F	1951 05 25 20:42	2 ADRIATICO	5	5.06 ±0.32
4	1951 08 08 19:50	5 Gran Sasso	94	7 5.30 ±0.14
3	1958 06 24 06:0	/ L'Aquila	152	7-8 5.21 ±0.11
3	1962 08 21 18:19	) Irpinia	262	9 6.13 ±0.10
3	1972 02 29 20:54	Adriatico meridionale	21	4.82 ±0.18
4	1972 06 14 18:55	Medio Adriatico	17	4.62 ±0.47
4	1979 09 19 21:35	o Valnerina	694	8-9 5.86 ±0.09
5	1980 11 23 18:34	1 Irpinia-Basilicata	1394	10 6.89 ±0.09
5	1984 05 07 17:49	Appennino abruzzese	912	8 5.89 ±0.09
5	1984 05 11 10:43	Appennino abruzzese	342	5.50 ±0.09
4	1987 07 03 10:21	PORTO SAN GIORGIO	359	5.09 ±0.09
4	1992 02 18 03:30	) ABRUZZO COSTIERO	73	5-6 4.27 ±0.14
5	1997 09 26 00:33	3 Appennino umbro-marchigiano	760	5.70 ±0.09
4-5	1997 09 26 09:40	Appennino umbro-marchigiano	869	8-9 6.01 ±0.09
4-5	1997 10 14 15:23	Appennino umbro-marchigiano	786	7-8 5.65 ±0.09
NF	2003 06 01 15:45	5 Molise	516	5 4.50 ±0.09

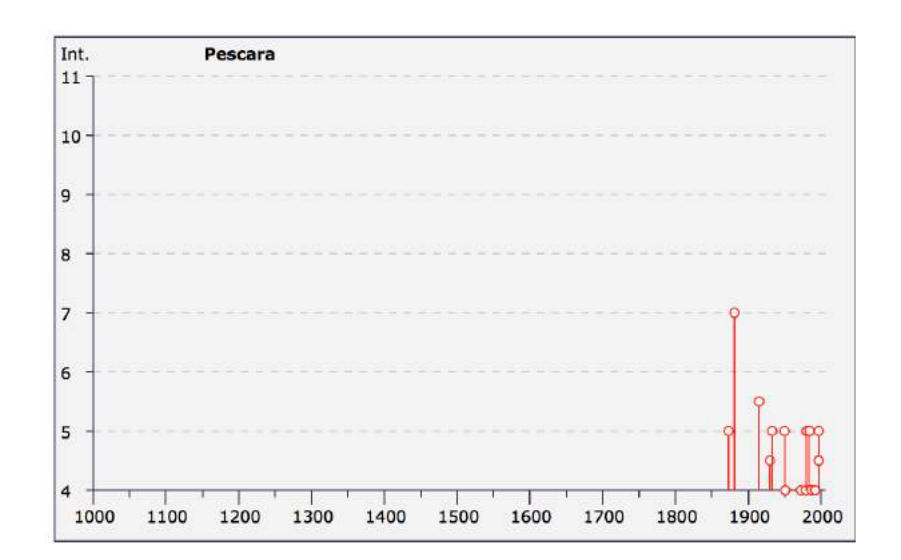


Figura 8. Grafico e eventi illustranti la storia sismica, sono riportati i valori dell'intensità sismica al sito MCS (Is), numero di osservazioni macrosismiche del terremoto(Np), l'intensità massima (Ix), la magnitudo momento CPTI04Maw(Mw), not fealt (NF) (da <a href="https://emidius.mi.ingv.it/DBMI11/">https://emidius.mi.ingv.it/DBMI11/</a>)

# 5. P.A.I. e P.S.D.A. (RISCHIO FRANA E RISCHIO IDRAULICO)

Il Piano Stralcio di Bacino per l'Assetto Idrogeologico redatto dall' Autorità di Bacino Abruzzo e Sangro, viene definito dal legislatore quale "strumento conoscitivo, normativo e tecnico-operativo mediante il quale sono pianificate e programmate le azioni e le norme d'uso finalizzate alla conservazione, alla difesa e alla valorizzazione del suolo, sulla base delle caratteristiche fisiche ed ambientali del territorio interessato" (si veda art. 17 della L. 183/89, Legge Quadro in materia di difesa del suolo).

Dall'analisi della Carte degli scenari di rischio frana fornita dalla Autorità di Bacino si denota come il sito non ricade in nessuna area perimetrata.

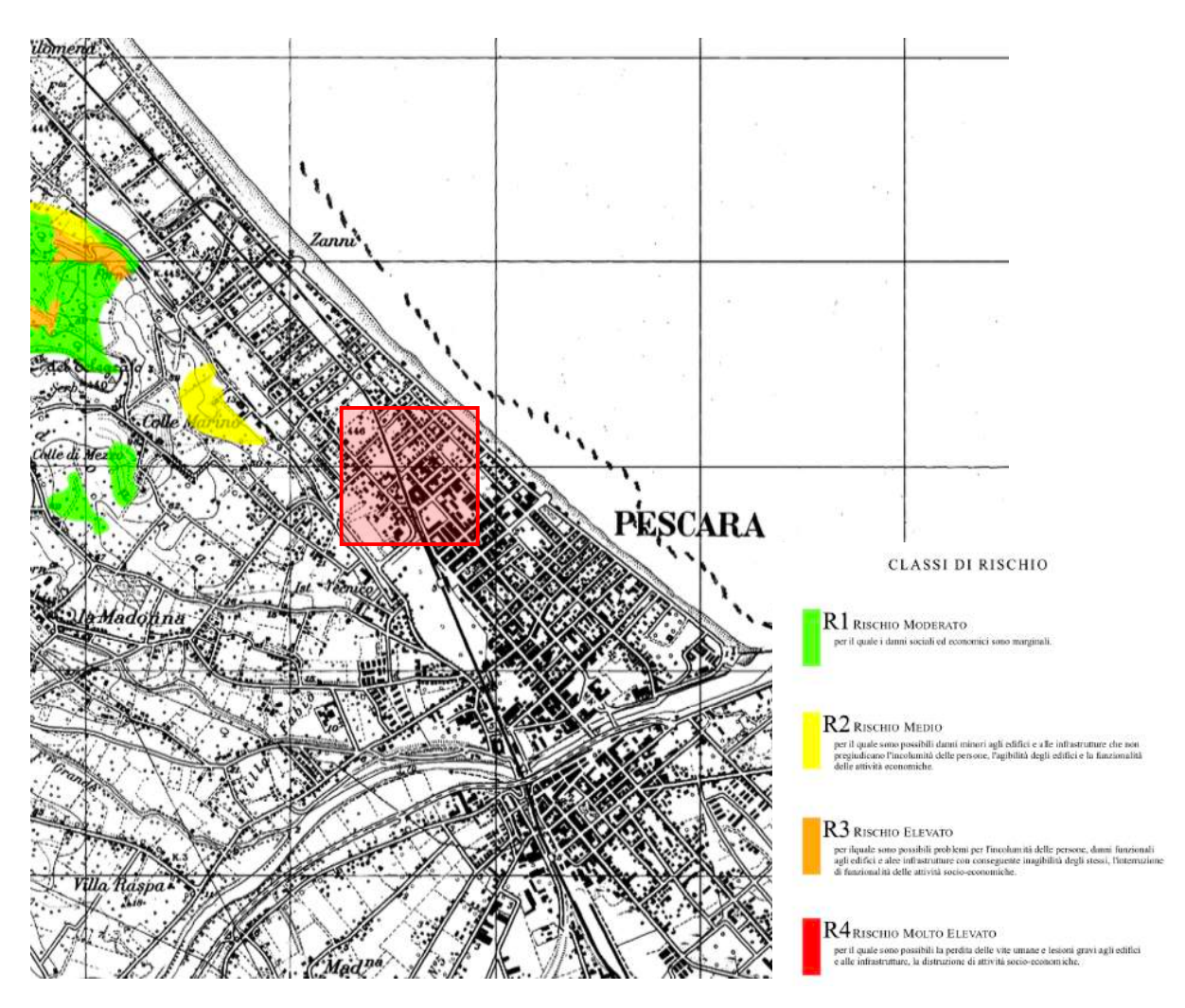


Figura 9a. Carta del rischio frana, nel riquadro l'area di studio. (Foglio 351 E, 1:25.000)

Per quanto concerne il rischio alluvioni si riporta la nuova Carta della Pericolosità Idraulica adottata (Elaborato cartografico n. 7.2.07.pe01\_var). Sul BURA Ordinario n. 35 del 7 settembre 2016 è stata pubblicata la Deliberazione di Giunta Regionale n. 408 del 29 giugno 2016 con la quale vengono imposte le misure di salvaguardia nelle aree a pericolosità idraulica elevata (**P3**) e molto elevata (**P4**), così come individuate nella nuova Carta della Pericolosità Idraulica adottata (Elaborato cartografico n. 7.2.07.pe01\_var), adottata in prima adozione dalla Giunta Regionale. Dopo la pubblicazione sul BURA, entro i sessanta giorni consentiti, il Comune ha formulato le proprie osservazioni, per le quali si è in attesa di riscontro da parte dell'Organo regionale competente.

Dall'analisi della carta si nota che il sito di studio rientra solo parzialmente in area a pericolosità moderata (P1) (Fig. 9b) (per una visione migliore della cartografia si rimanda all'All. 4). In base alle Norme di Attuazione la tipologia di intervento sarebbe compatibile con la classe di pericolosità idraulica P1 nella versione delle norme tecniche di attuazione vigenti (art. 22 delle Norme di attuazione del Piano Stralcio di Bacino per l'Assetto Idrogeologico- Difesa Alluvioni). Poichè nella deliberazione n. 408 del 29/06/2016 vengono imposte le misure di salvaguardia solo per le aree di pericolosità P3 e P4 si può affermare che il sito di studio non rientra al momento in zona interessata da pericolosità idraulica.

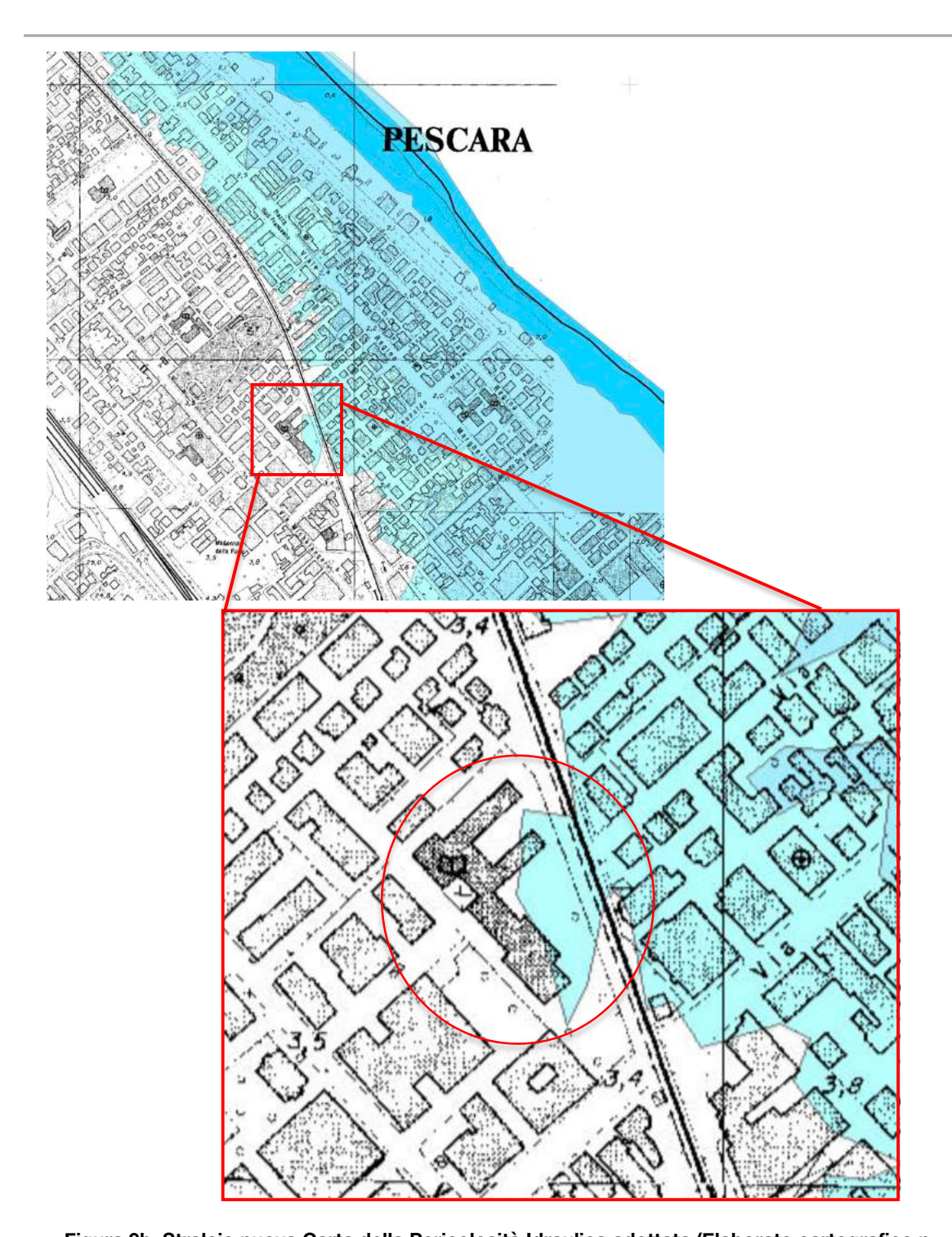


Figura 9b. Stralcio nuova Carta della Pericolosità Idraulica adottata (Elaborato cartografico n. 7.2.07.pe01\_var), nel riquadro l'area di studio.

## 6. INQUADRAMENTO IDROGRAFICO E IDROGEOLOGICO

Le condizioni idrogeologiche di un territorio sono regolate dalle caratteristiche fisiche e meccaniche nonché dalla geologia ed assetto strutturale delle formazioni geologiche.

Poiché i terreni affioranti sono prevalentemente argillosi, ma con un alto contenuto in limo, e risultano sormontare depositi argilloso-sabbiosi organici, si creano le condizioni per la permanenza di un falda acquifera.

Infatti dalle indagini effettuate, è stata rinvenuta una falda acquifera alla profondità di circa 2,0 mt dal p.c. attuale presso il sito di Viale Bovio e di circa 3,0 mt dal p.c. nel retrostante sito in Via Raffaello.

In queste condizioni si ha formazione di piccole falde acquifere "sospese" al contatto fra gli orizzonti a prevalente componente argilloso-limosa e sabbiosa e le sottostanti formazioni argillose.

Le falde così costituite risentono in modo diretto degli apporti meteorici e delle condizioni meteoclimatiche e possono subire delle oscillazioni.

La falda è prevalentemente contenuta nei depositi alluvionali ghiaiosi e sabbiosi più recenti, ma comunque i terreni superficiali, costituiti da litologie dotate di bassa permeabilità, possono essere sede di piccole falde, in conseguenza della loro saturazione.

L'idrologia superficiale è regolata dalla presenza del fiume Pescara che funge da livello di base alla circolazione delle acque superficiali incanalate in fossi ad erosione concentrata organizzati in un reticolo ben sviluppato a vari ordini con caratteristiche che variano fra il dendritico ed il subdendritico.

Da recenti studi effettuati dall'Enea (2010) per conto della regione Abruzzo con l'obiettivo di quantificare la possibilità di innalzamento del livello del mare e, di individuarne i rimedi è emerso che data la morfologia della fascia costiera abruzzese, la suscettibilità alla sommersione è limitata a settori di spiaggia e ad alcune aree prospicienti le foci fluviali. Tenuto conto di uno scenario previsionale di minima ma più probabile ed uno di massima ma meno probabile, per i prossimi cento anni il mare abruzzese si solleverà nel primo caso di 18 cm e nel secondo caso di 59. In definitiva, le percentuali di aree a rischio, in entrambi gli scenari, oscillano tra il 25% e il 35 %.

Data la vicinanza alla linea di costa, sono possibili interazioni sotterranee tra l'acqua di falda e quella marina; infatti lungo le fasce costiere esiste il fenomeno del galleggiamento dell'acqua di falda su quella marina (relativamente più densa) che invade l'acquifero. L'equilibrio naturale tra acqua dolce ed acqua salata può essere turbato da utilizzazioni intensive ed irrazionali della falda. La forte urbanizzazione della zona può portare a sovrasfruttamenti (emungimenti superiori alle potenzialità della falda) specie nei mesi estivi, determinando un calo della superficie piezometrica con la conseguente progressiva possibilità di invasione dell'entroterra da parte dell'acqua di mare.

Si segnala la presenza di falda acquifera ad una profondità di circa 1 m dal p.c., rinvenuta grazie alle prove geotecniche effettuate.

# 7. MODELLAZIONE GEOLOGICO TECNICA E CARATTERIZZAZIONE GEOTECNICA

Fondamentale, al fine di una corretta progettazione dell'opera è fornire un *Modello Geologico Tecnico*, del sito in esame (Decreto del Ministero delle Infrastrutture del 17 gennaio 2018 - Norme Tecniche per le Costruzioni - pubblicato sul Supplemento ordinario n. 42 della G.U. del 20.02.2018 - Paragrafo 6.2.1) orientato alla ricostruzione dei principali caratteri stratigrafici, litologici, strutturali, idrogeologici, geomorfologici e, più in generale, di pericolosità geologica del territorio in un intorno significativo del luogo d'interesse.

Il Modello Geologico Tecnico di riferimento è stato validato e supportato da indagini specifiche in funzione dell'importanza dell'opera.

La stratigrafia e le caratteristiche geologico tecniche del sito, sono state desunte dal rilevamento geologico, dal sondaggio a carotaggio continuo (S1), dal prelievo di campioni indisturbati, dalle prove geofisiche (M1-HVSR1) e dalle prove geotecniche (DPSH-SPT).

Le indagini hanno permesso di ricostruire le caratteristiche fisico – meccaniche delle litologie presenti al di sotto del sito e consentito lo sviluppo di un accurato *Modello Geologico Tecnico* del sottosuolo (vedi sezione Allegati).

TABELLA RIASSUNTIVA DELLE UNITÀ GEOTECNICHE							
	Descrizione Unità Geotecnica	Carattere Geotecnico Profondità (m) Spe mas rilev desur					
UNITA' GEOTECNICA 1 (UG1)	Terreno di riporto	Granulare incoerente	da 0,0 a 2 m	da 1,5 a 2,4			
UNITA' GEOTECNICA 2 (UG2)	Sabbia limosa, con sottili livelli di ghiaia in profondità	Granulare incoerente	da 2 a 10,3 m	da 7 a 9			
UNITA' GEOTECNICA 3 (UG3)	Argilla con limo (primi 4 m si presentano alterati)	Coesivo	da 10,3 a 20 m	9,7			

NB. Per una migliore comprensione della geometria delle unità geotecniche fare riferimento all'All.1-2.

- UG1 Unità Geotecnica 1, si caratterizza per la presenza di Terreno di riporto.
   L'unità ha carattere granulare incoerente ed è stata individuata grazie al sondaggio (S1) e alle prove geotecniche (DPSH).
- UG2 Unità Geotecnica 2, si caratterizza per la presenza di Sabbia limosa, con sottili livelli di ghiaia in profondità L'unità ha carattere incoerente ed è stata individuata grazie al sondaggio (S1), al prelievo di campioni e alle prove geotecniche (DPSH-SPT).
- UG3 Unità Geotecnica 3, si caratterizza per la presenza di Argilla con limo. I primi 4 metri si presentano alterati. L'unità ha carattere coesivo ed è stata individuata grazie al sondaggio (S1), al prelievo di campioni e alle prove geotecniche (DPSH-SPT). La parte alterata presenta valori geotecnici leggermente più scadenti rispetto alla parte sottostante, che rappresenta il vero substrato coesivo consolidato.

Le geometrie e gli spessori delle Unità Geotecniche sopra descritte, sono state rappresentate nel *Modello Geologico Tecnico* del sottosuolo in allegato.

Sulla base dei valori ottenuti dalle prove in situ, si è proceduto alla determinazione dei valori caratteristici che, tenendo conto delle potenziali differenze tra le proprietà misurate nel corso delle prove e le proprietà del terreno che ne determinano il comportamento geotecnico, possono considerarsi rappresentativi del comportamento del terreno.

Per valore caratteristico di un parametro geotecnico deve intendersi una stima ragionata e cautelativa del valore che influenza l'insorgere dello stato limite; la stima cautelativa consiste nel 5° percentile della distribuzione della media dei valori registrati.

Per le verifiche agli SLU - Stati Limite Ultimi (SLV) deve essere rispettata la condizione:

# Ed ≤ Rd

Dove Ed è il valore di progetto dell'azione o degli effetti delle azioni e Rd è il valore di progetto della resistenza del terreno. Va precisato che le stime della resistenza di progetto del terreno (Rd) non sono confrontate con il valore delle azioni di progetto (Ed) che verrà direttamente fornito dal progettista. La resistenza Rd è determinata in modo analitico, con riferimento al valore caratteristico dei parametri geotecnici di resistenza del

terreno ricavati dalle prove in sito, divisi per i coefficienti parziali ym di seguito riportati (tab.6.2.II NTC 2018).

PARAMETRO	GRANDEZZA ALLA QUALE APPLICARE IL COEFFICIENTE PARZIALE	COEFFICIENTE PARZIALE <sub>Y</sub> M	(M1)	(M2)
Tangente dell'angolo di resistenza al taglio	tan φ'k	γφ'	1,0	1,25
Coesione efficace	c'k	γ <b>c</b> '	1,0	1,25
Resistenza non drenata	cuk	γcu	1,0	1,4
Peso dell'unità di volume	γ	γγ	1,0	1,0

Per la definizione del peso di volume e dell'angolo di attrito è stato applicato il metodo statistico con pochi dati e varianza nota.

$$x_k = \overline{x} - 1.645 \left( \frac{\sigma}{\sqrt{n}} \right)$$

Dove: Xk è il valore caratteristico desiderato

X con barra il valore medio del campione

 $\sigma$  è la deviazione standard della popolazione  $\,$  n è la numerosità del campione

Per la coesione è stato utilizzata una varianza del 20%, mentre per gli altri parametri i valori caratteristici sono stati ricavati assegnando un coefficiente di variazione pari al 30% (COV30%) applicando il metodo statistico per ogni unità geotecnica individuata. Il valore di Gstatico è stato desunto attraverso relazioni empiriche a partire dal modulo di taglio dinamico note in bibliografia.

Per i moduli elastici si è applicato il metodo statistico a distribuzione log normale con varianza nota e diversi dati.  $\boxed{L_{1-\alpha}(\bar{Y},S^2) = \bar{Y} + \frac{S^2}{2} \pm Z_{1-\alpha/2} * \sqrt{\frac{S^2}{n} + \frac{S^4}{2(n-1)}}}$ 

Dove: Y è il valore medio del dataste con distribuzione log normale

Z è la distribuzione normale standardizzata

t è il valore della distribuzione di student ad n-1 gradi di libertà

S è la deviazione standard della popolazione

n è il numero dei dati

	Parametro geotecnico	Valore nominale medio	Valore caratt. (Xk)	Metodo utilizzato	Valore di progetto (M1)	Valore di progetto (M2)
A 1	Ang. di attrito (°)	21,9	20,7	COV=5%	20,7	16,56
10	Peso di Volume (t/m³)	1,75	1,65	COV=5%	1,65	1,65
GEOTECNICA	Mod. Edometrico (kg/cm²)	41,1	28,8	COV=30%		
GEO	Mod. di Young (kg/cm²)	26,8	18,8	COV=30%		
Ŕ	Mod. di Poisson	0,	34			
UNITA	Mod. di deform. al taglio Gstatico (kg/cm²)	10,0	5,9	COV=30%		

	Parametro geotecnico	Valore nominale medio	Valore caratt. (Xk)	Metodo utilizzato	Valore di progetto (M1)	Valore di progetto (M2)
	Ang. di attrito (°)	25,4	24,2	COV=5%	24,2	19,36
N	Peso di Volume (t/m³)	1,93	1,81	COV=5%	1,81	1,81
NICA	Coesione efficace C' (kg/cm²)	0,07	0,05	COV=20%	0,05	0,04
UNITA' GEOTECNICA	Mod. Edometrico (kg/cm²)	75,1	56,2	COV=30%		
, GEC	Mod. di Young (kg/cm²)	53,4	40,0	COV=30%		
Ϋ́	Mod. di Poisson	0,3	32			
TINU	Mod. di deform. al taglio Gstatico (kg/cm²)	18,2	12,2	COV=30%		

	Parametro geotecnico	Valore nominale medio	Valore caratt. (Xk)	Metodo utilizzato	Valore di progetto (M1)	Valore di progetto (M2)
	Ang. di attrito (°)	23,9	22,8	COV=5%	22,8	18,5
	Peso di Volume (t/m³)	2,11	2,01	COV=5%	2,01	2,01
3A 3	Coesione non drenata Cu (kg/cm²)	1,86	1,56	COV=20%	1,56	1,12
UNITA' GEOTECNICA	Coesione efficace C' (kg/cm²)	0,88	0,59	COV=20%	0,59	0,39
	Mod. Edometrico (kg/cm²)	130,9	107,1	COV=30%		
	Mod. di Young (kg/cm²)	97,6	79,7	COV=30%		
	Mod. di Poisson	0,3	1			
	Mod. di deform. al taglio Gstatico (kg/cm²)	36,1	29,8	COV=30%		

## 8. VERIFICA A LIQUEFAZIONE

L'area di studio deve essere stabile nei confronti della liquefazione, intendendo con tale termine quei fenomeni associati alla perdita di resistenza al taglio o ad accumulo di deformazioni plastiche in terreni saturi, prevalentemente sabbiosi, sollecitati da azioni cicliche e dinamiche che agiscono in condizioni non drenate.

Secondo quanto prescritto nelle NTC18, la verifica a liquefazione può essere omessa quando si manifesta almeno una delle seguenti circostanze:

- accelerazioni massime attese al piano campagna in assenza di manufatti (condizione di campo libero) minori a 0.1g;
- profondità media stagionale della falda superiore a 15 metri dal piano di campagna, per piano campagna inteso sub-orizzontale e con strutture con fondazioni superficiali;
- depositi costituiti da sabbie pulite con resistenza penetrometrica normalizzata  $N_{1,60} > 30$  oppure  $q_{c1N} > 180$  dove  $(N_1)_{60}$  è il valore della resistenza determinata in prove penetrometriche dinamiche (Standard Penetration Test) normalizzata ad una tensione efficace verticale di 100 kPa e  $q_{c1N}$  è il valore della resistenza determinata in prove penetrometriche statiche (Cone Penetration Test) normalizzata ad una tensione efficace verticale di 100 kPa;
- distribuzione granulometrica esterna alle zone indicate nella Figura 7.11.1(a) nel caso di terreni con coefficiente di uniformità Uc<3,5 ed in figura 7.11.1(b) nel caso di terreni con coefficiente di uniformità Uc>3.5.

Vista la presenza di acqua ad una profondità di circa 1 m dal p.c. si è decisi di procedere con una verifica a liquefazione del sito.

Le metodologie adottate si basano sui dati raccolti nel corso della campagna geognostica, attraverso il sondaggio, la prova DPSH, l'indagine sismica MASW e la raccolta di campioni indisturbati, elaborati con apposito software *Liquiter* di Geostru.

# 8.1 Verifica a liquefazione secondo Andrus & Stokoe (1998)

La verifica secondo il metodo di Andrus e Stokoe è basata sulle misure provenienti da prove sismiche.

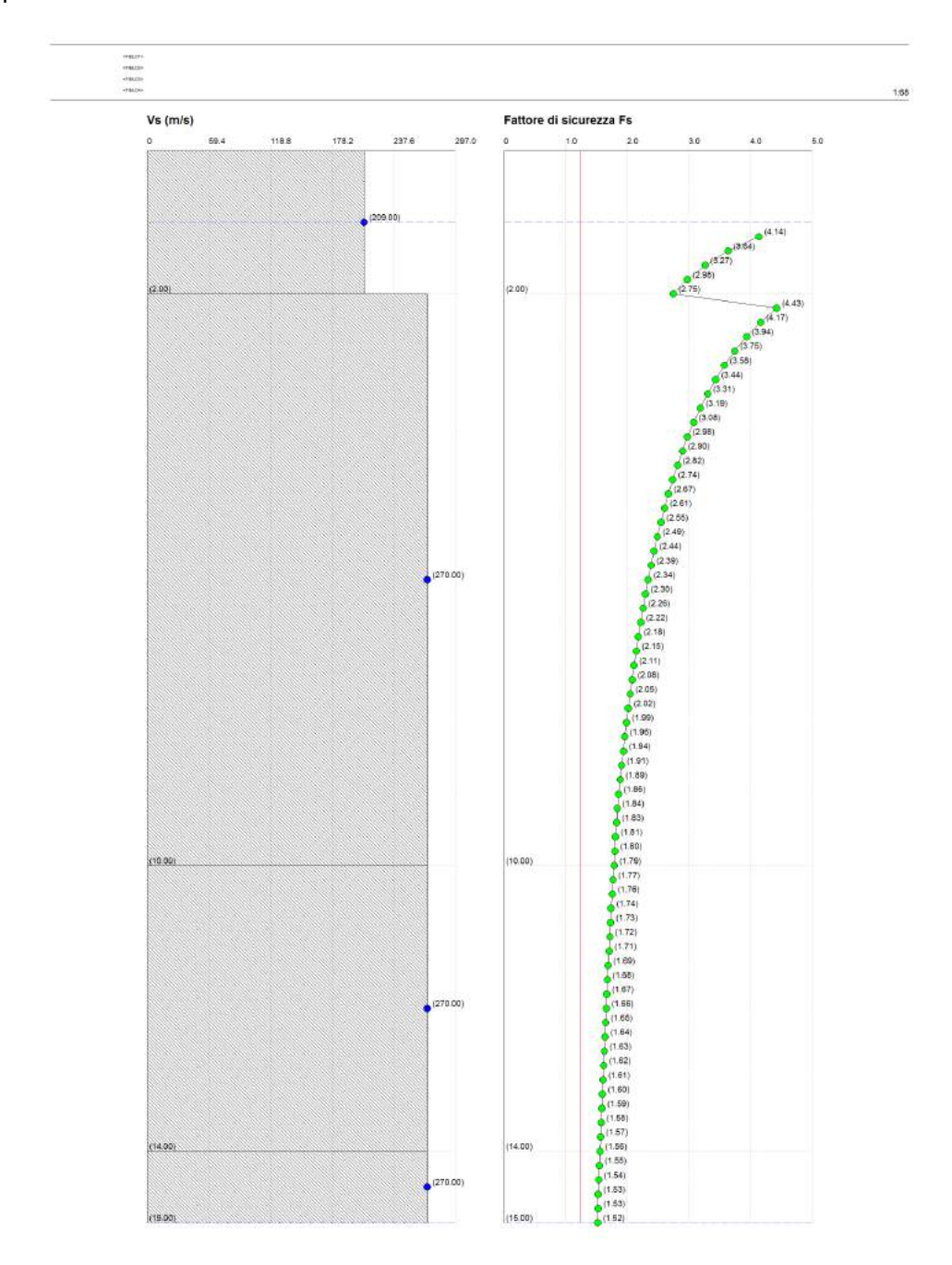


Figura 10. Verifica a liquefazione secondo Andrus & Stokoe (1998). La Linea rossa verticale indica il fattore di sicurezza Fs.

La verifica a liquefazione è stata effettuata supponendo una magnitudo pari a 5.5, valore medio più probabile, con probabilità di eccedenza del 10% in 50 anni, così come considerato dall'Isituto Nazionale di Geofisica e Vulcanologia (http://esse1-gis.mi.ingv.it).

La curva calcolata è distante dalla verticale che indica il fattore di sicurezza Fs (1.25), e l'indice di liquefazione è risultato pari a zero (vedi All. 2 Verifica a Liquefazione).

Nel caso in esame, prendendo in riferimento le caratteristiche intrinseche dei materiali investigati e vista la verifica a liquefazione effettuata, è possibile affermare che il sito non è suscettibile di liquefazione.

Comune di Pescara (PE)

## 9. DATI GEOFISICI e AZIONE SISMICA

E' stata svolta una campagna d'indagini geofisiche atta ad ottenere il parametro fisico VsEq, utile per inquadrare la categoria di suolo (Norme Tecniche sulle costruzioni NTC 2018 - D.M. 17/01/2018) oltre che a definire dal punto di vista sismostratigrafico l'area.

In particolare si è stata eseguita un'indagine di sismica superficiale tipo MASW ed è stato definito il parametro fisico Vs30, visto il non raggiungimento del substrato sismico.

## 9.1 INDAGINE SISMICA MASW - M1

Dall'indagine sismica M1, realizzata sul sito in oggetto, con lunghezza di **48 m**, è stato sintetizzato il profilo di velocità delle onde S in cui si osserva un incremento delle velocità sismiche fino alla profondità di -30 m (**All.1-3**):

- - 2 m dal p.c., si riscontra una velocità Vs di 209 m/s;
- - 30 m dal p.c., un aumento delle Vs, passando a 270 m/s;

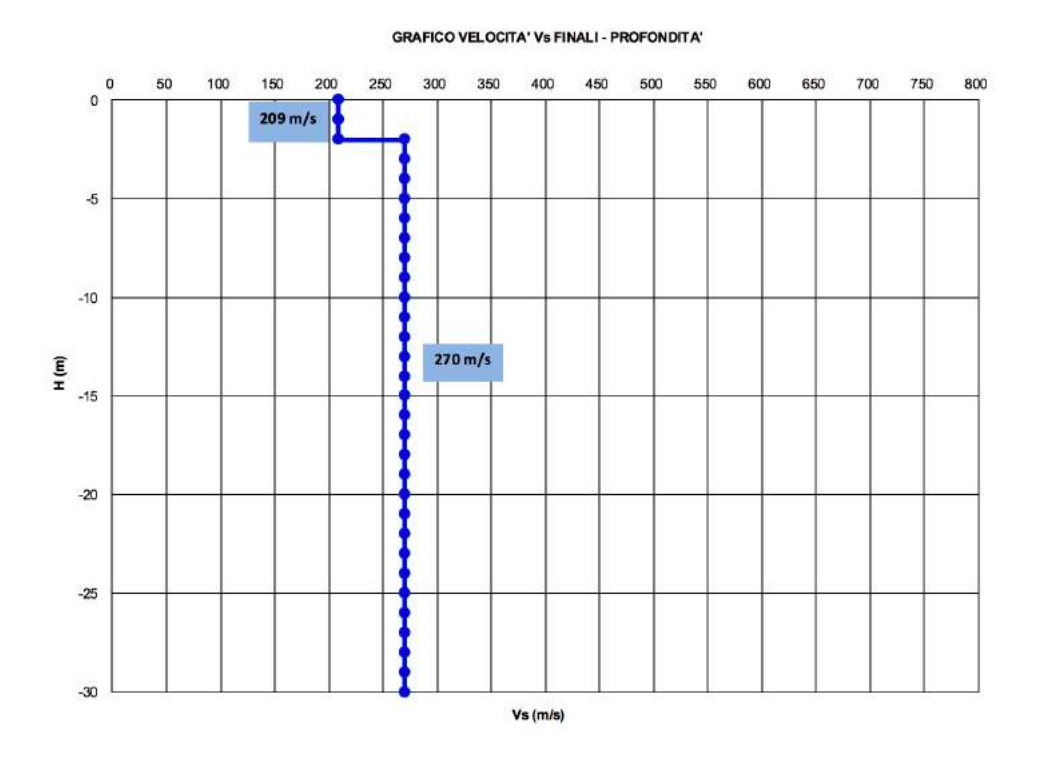


Figura 12. Profilo di Velocità ottenuto con la metodologia MASW - M1.

Dall'analisi del profilo di velocità Vs, acquisito fino a 30 m dal p.c. con la prova M1, è stato calcolato il parametro  $VsEq(30) = 265 \, m/s$  (Fig.12).

In riferimento alla nuova normativa (NTC 2018 – D.M. 17 gennaio 2018) e in base alle indagini effettuate e ai dati a disposizione del sito in esame, si assegna al suolo di fondazione la categoria **C**: Depositi di terreni a grana grossa mediamente addensati o di terreni a grana fina mediamente consistenti, con profondità del substrato superiori a 30 m, caratterizzati da un miglioramento delle proprietà meccaniche con la profondità e da valori di velocità equivalente compresi tra 180 m/s e 360 m/s.

## 10. CONSIDERAZIONI CONCLUSIVE

Il presente lavoro è stato redatto su incarico del **Comune di Pescara**, al fine di definire le caratteristiche geologiche, geotecniche e sismiche per il sito ubicato nel comune di **Pescara (PE)**, per il progetto dal titolo: "Lavori di ristrutturazione e ampliamento volti al recupero del fabbricato ex scuola Muzii di Via Saffi, ad uso del conservatorio L. D'Annunzio di Viale Bovio-Viale Muzii".

- In base al rilievo geomorfologico eseguito e dall'osservazione delle Carta Topografica l'area è stata classificata nella categoria Topografica "T1" in quanto il sito si trova su un'area con inclinazione i al disotto dei 15° (NTC 2018 D.M. 17/01/2018).
- Analizzando la cartografia geologica ufficiale più recente ed a scala di dettaglio,
   Foglio 351 "Pescara" della Carta CARG in scala 1:50.000, l'area di studio è caratterizzata dalla presenza di depositi di spiaggia (OLO g2).
- Nella cartografia più recente prodotta in occasione della microzonazione sismica di Livello I (carta delle MOPS) il sito si colloca sulla Zona 10, zona suscettibile di amplificazioni locali, caratterizzata da depositi prevalentemente sabbioso limosi e sabbioso argillosi che poggiano su substrato coesivo argilloso (Fig.5).
- Dall'analisi della Carta degli scenari di rischio frana fornita dalla Autorità di Bacino Abruzzo e Sangro si denota come il sito non ricade in nessuna zona a rischio.
- Dall'analisi della carta si nota che il sito di studio rientra solo parzialmente in area a pericolosità moderata (P1). In base alle Norme di Attuazione la tipologia di intervento sarebbe compatibile con la classe di pericolosità idraulica P1 nella versione delle norme tecniche di attuazione vigenti (art. 22 delle Norme di attuazione del Piano Stralcio di Bacino per l'Assetto Idrogeologico- Difesa Alluvioni). Poichè nella deliberazione n. 408 del 29/06/2016 vengono imposte le misure di salvaguardia solo per le aree di pericolosità P3 e P4 si può affermare che il sito di studio non rientra al momento in zona interessata da pericolosità idraulica.
- E' da rilevare come per l'area di studio, la falda acquifera viene rilevata ad una profondità di 1 m dal p.c..

- Tenuto conto delle caratteristiche stratigrafiche proprie del sito, dei valori geologici e geotecnici dei materiali presenti e della verifica a liquefazione effettuata, è possibile affermare che il sito non è suscettibile di liquefazione.
- Il sito è stato analizzato attraverso il Modello Geologico Tecnico in scala di dettaglio, che restituisce l'assetto litostratigrafico locale; il terreno di fondazione è stato suddiviso dal punto di vista geotecnico in n°3 Unità Geotecniche, in base alle indagini eseguite:
  - UNITÀ GEOTECNICA 1 Terreno di riporto;
  - UNITÀ GEOTECNICA 2 Sabbia limosa, con sottili livelli di ghiaia in profondità;
  - UNITÀ GEOTECNICA 3 Argilla con limo (i primi 4 metri si presentano alterati).

Le caratteristiche geotecniche delle unità riconosciute e la descrizione delle stesse sono riportate nel Paragrafo 7 della relazione.

- Dal punto di vista sismico, è stato calcolato il parametro VsEq(30) con la prova sismica M1 è risultato essere pari a 265 m/s. Pertanto il sito è classificato come categoria di sottosuolo C (NTC 2018 – D.M. 17/01/2018).
- In relazione alle caratteristiche idrogeologiche dei terreni individuati, la struttura non dovrà interferire con la circolazione idrica, sia superficiale che profonda; è consigliabile prevedere la raccolta delle acque percolanti e il loro allontanamento, unitamente a quelle di gronda, al sistema fognario o in direzione del più vicino canale affinché nei terreni di fondazione le caratteristiche geologico-tecniche non subiscano decadimenti nel tempo.

Gioia dei Marsi (AQ)

II Geologo

Gennaio 2019

**Dott. Michele Aureli** 

## 11. BIBLIOGRAFIA

- Bosi C. & Messina P. (1991) Ipotesi di correlazione fra successioni morfo-litostratigrafiche plio-pleistoceniche nell'Appennino laziale-abruzzese. Studi Geologici Camerti, vol. spec. (1991/2), CROP 11, 257-263.
- Pietromartire E. (2017) Lavori di completamento per la realizzazione del DSB "Pescara Sud" con annesso UCCP. Relazione geologica e modellazione sismica.
- Gruppo di Lavoro MS (2008) Indirizzi e Criteri per la Microzonazione Sismica. Conferenza delle Regioni e delle Provincie autonome, Dipartimento della protezione civile, Roma, 3 vol. e Cd-rom.
- Lavecchia G. et al. (2006) Carta degli allineamenti di faglie quaternarie ovest-immergenti rilevanti dal punto di vista sismogenetico (area intra-appenninica umbro-marchigiano-abruzzese) (http://emidius.mi.ingv.it/GNDT/P512/UR\_UNICH\_lav.html)
- Messina P., Moro M. & Speranza F. (2001) Primi risultati di stratigrafia magnetica su alcune formazioni continentali dell'alta Valle dell'Aterno (Italia centrale). Il Quaternario, 14(2), 167-172.
- NTC (2018) Norme Tecniche per le Costruzioni. DM 17 gennaio 2018, Gazzetta Ufficiale, n. 8 del 20 febbraio 2018, Supplemento Ordinario n. 30, Istituto Poligrafico e Zecca dello Stato, Roma (www.cslp.it).
- Scurti E. (2015) Microzonazione sismica Livello 1. Relazione illustrativa. Comune di Pescara
- Vezzani L. & Ghisetti F. (1998) Carta geologica dell'Abruzzo, Scala 1:100.000, S.El.Ca., Firenze.

# **ALLEGATI**

- \* ALL. 1 QUADERNO TECNICO DELLE INDAGINI
- ❖ ALL. 2 VERIFICA A LIQUEFAZIONE DEL SITO
- ❖ ALL. 3 UBICAZIONE INDAGINI DOCUMENTAZIONE FOTOGRAFICA MODELLO GEOLOGICO TECNICO – PARAMETRI SISMICA
- ❖ ALL. 4 STRALCIO NUOVA CARTA DELLA PERICOLOSITÀ ADOTTATA (ELABORATO N. 7.2.07.PE.01\_VAR)
- ❖ ALL. 5 CERTIFICATI DI LABORATORIO

# QUADERNO TECNICO DELLE INDAGINI



#### **Sommario**

1. PREMESSA	39
2. PROVA PENETROMETRICA DINAMICA SUPERPESANTE – DPSH	40
2.1 ELABORAZIONE PROVA DPSH1	41
2.1.1 INTERPRETAZIONE STRATIGRAFICA PROVA DPSH1	45
2.2 ELABORAZIONE PROVA DPSH2	46
2.2.1 INTERPRETAZIONE STRATIGRAFICA PROVA DPSH2	50
3. PROVA SISMICA DI SUPERFICIE - MASW	51
3.1 INTRODUZIONE	51
3.2 MODALITA' DI ACQUISIZIONE	52
3.3 RISULTATI DELL'ANALISI MASW – M1	53
4. SONDAGGIO GEOGNOSTICO A CAROTAGGIO CONTINUO	61
4.1 ATTREZZATURA DI PERFORAZIONE	61
4.2 UTENSILI DI PERFORAZIONE	62
4.3 MODALITA' ESECUTIVE DEL SONDAGGIO GEOTECNICO	62
4.4 FLUIDI DI CIRCOLAZIONE	63
4.5 STRATIGRAFIA SONDAGGIO S1	64
4.6 CASSETTE CATALOGATRICI (S1 20 m), POSTAZIONE SONDAGGIO	65
5. PROVE PENETROMETRICHE DINAMICHE IN FORO – (S.P.T.)	68
5.1. ELABORAZIONE PROVE PENETROMETRICHE SPT (S1)	70
6. PROVA SISMICA PASSIVA – HVSR	72
6.1 METODOLOGIA DI CALCOLO DEI RAPPORTI SPETTRALI	72
6.2 CONDIZIONI DI RAPPRESENTATIVITA' DEL PICCO	73
6 3 CURVA HVSR MISURATA E RISUILTATI DELL'ANALISI	75







#### 1. PREMESSA

I giorni 20 e 21 dicembre 2018 è stata condotta un'indagine geologica geotecnica e geofisica nel Comune di Pescara (PE), per il progetto dal titolo: "Lavori di ristrutturazione e ampliamento volti al recupero del fabbricato ex scuola Muzii di Via Saffi, ad uso del conservatorio L. D'Annunzio di Viale Bovio-Viale Muzii".

.

Le indagini sono state condotte al fine di definire i caratteri geotecnici del terreno interessato dall'opera in progetto. Di seguito vengono elencate le indagini eseguite:

TIPOLOGIA DI INDAGINE	OBIETTIVO	DATA	QUANTITA'	PROFONDITA'
Prova Penetrometrica di tipo DPSH	Ricostruzione rapporti stratigrafici, caratterizzazione geotecnica indiretta dei terreni	20/12/2018	N°2	DPSH1 –12,20 m DPSH2 –12,20 m
Prelievo di campione indisturbato	·   20/12/2018   No		N°2	C1 – da 1,50 a 2,00 m C2 – da 14,5 a 15,0 m
Sismica di superficie tipo MASW	Caratterizzazione del parametro VsEq per la categoria di suolo (D.M. 17-01-18)	21/12/2018	N°1	<b>M1</b> – 48 m
Sondaggio Geotecnico a c.c.	Ricostruzione rapporti stratigrafici	20/12/2018	N°1	S1 – 20 m
Prove Penetrometriche dinamiche in foro - SPT	Caratterizzazione geotecnica del sito	20/12/2018	N°2	SPT1 – 11,55 m SPT2 – 15,00 m
Sismica Passiva HVSR	Caratterizzazione della frequenza caratteristica del sito (D.M. 17-01-18)	21/12/2018	N°1	HVSR1 – 30 min

(\*) Le indagini penetrometriche DPSH sono state eseguite con penetrometro Pagani, costruito in conformità delle norme tecniche UNI ENV 1997-3:2002 o EN ISO 22476-2:2005 e secondo quando previsto dalle norme UNI EN/1997-1 e UNI EN/1997-2.







#### 2. PROVA PENETROMETRICA DINAMICA SUPERPESANTE - DPSH

Committente: Comune di Pescara	
Cantiere: conservatorio L. D'Annunzio	
Località: Pescara (PE)	

Caratteristiche Tecniche-Strumentali Sonda: DPSH TG 63-200 PAGANI

Rif. Norme	DIN 4094	
Peso Massa battente	63.5 Kg	
Altezza di caduta libera	0.75 m	
Peso sistema di battuta	0.63 Kg	
Diametro punta conica	51.00 mm	
Area di base punta	20.43 cm <sup>2</sup>	
Lunghezza delle aste	1 m	
Peso aste a metro	6.31 Kg/m	
Profondità giunzione prima a	ısta 0.40 m	
Avanzamento punta	0.20 m	
Numero colpi per punta	N(20)	
Coeff. Correlazione	1.472	
Rivestimento/fanghi	No	
Angolo di apertura punta	90 °	







# **2.1 ELABORAZIONE PROVA DPSH1**

Strumento utilizzato Prova eseguita in data Profondità prova Falda rilevata DPSH TG 63-200 PAGANI 20/12/2018 12.20 mt

Tipo elaborazione Nr. Colpi: Medio

D ( 131) ( )	N 0 1 1	0 1 1 "	D !! !	D " '		
Profondità (m)	Nr. Colpi	Calcolo coeff.		Res. dinamica	Pres.	Pres.
		riduzione	ridotta	(Kg/cm²)	ammissibile	ammissibile
		sonda Chi	(Kg/cm²)		con riduzione	Herminier -
					Herminier -	Olandesi
					Olandesi	(Kg/cm²)
					(Kg/cm²)	
0.20	12	0.855	107.76	126.09	5.39	6.30
0.40	17	0.801	143.04	178.62	7.15	8.93
0.60	7	0.847	57.18		2.86	3.38
0.80	5	0.843	40.66		2.03	2.41
1.00	2	0.840	16.20	19.29	0.81	0.96
1.20	2	0.836	16.13		0.81	0.96
1.40	2	0.833	16.06		0.80	0.96
1.60	1	0.830	7.39		0.37	0.45
1.80	1	0.826	7.36		0.37	0.45
2.00	1	0.823	7.34	8.91	0.37	0.45
2.20	1	0.820	7.31	8.91	0.37	0.45
2.40	2	0.817	14.56		0.73	0.89
2.60	6	0.814	40.46	49.69	2.02	2.48
2.80	11	0.811	73.92	91.10	3.70	4.55
3.00	13	0.759	81.68		4.08	5.38
3.20	9	0.806	60.08		3.00	3.73
3.40	7	0.803	46.57	57.97	2.33	2.90
3.60	10	0.801	61.95	77.36	3.10	3.87
3.80	11	0.798	67.94	85.09	3.40	4.25
4.00	9	0.796	55.42	69.62	2.77	3.48
4.20	9	0.794	55.26		2.76	3.48
4.40	8	0.791	48.98		2.45	3.09
4.60	10	0.789	57.27	72.57	2.86	3.63
4.80	7	0.787	39.98	50.80	2.00	2.54
5.00	6	0.785	34.18		1.71	2.18
5.20	8	0.783	45.46	58.06	2.27	2.90
5.40	9	0.781	51.01	65.31	2.55	3.27
5.60	11	0.779			2.93	3.76
5.80	8	0.777	42.50	54.67	2.12	2.73
6.00	10	0.775	53.00		2.65	3.42
6.20	15	0.724	74.19		3.71	5.13
6.40	10	0.772	52.76		2.64	3.42
6.60	25	0.670	108.23		5.41	8.07
6.80	23	0.669	99.33		4.97	7.43
7.00	12	0.767	59.45		2.97	3.87
7.20	12	0.766	59.33		2.97	3.87
7.40	9	0.764	44.41	58.12	2.22	2.91
7.60	9	0.763	42.02	55.09	2.10	2.75







	1	1				
7.80	11	0.761	51.26	67.33	2.56	3.37
8.00	8	0.760	37.21	48.97	1.86	2.45
8.20	7	0.759	32.50	42.85	1.63	2.14
8.40	10	0.757	46.35	61.21	2.32	3.06
8.60	10	0.756	43.98	58.17	2.20	2.91
8.80	12	0.755	52.68	69.81	2.63	3.49
9.00	13	0.703	53.20	75.62	2.66	3.78
9.20	9	0.752	39.39	52.36	1.97	2.62
9.40	17	0.701	69.34	98.89	3.47	4.94
9.60	20	0.700	77.59	110.85	3.88	5.54
9.80	14	0.699	54.22	77.59	2.71	3.88
10.00	12	0.748	49.73	66.51	2.49	3.33
10.20	16	0.697	61.77	88.68	3.09	4.43
10.40	21	0.646	75.13	116.39	3.76	5.82
10.60	20	0.694	73.50	105.85	3.68	5.29
10.80	21	0.643	71.51	111.14	3.58	5.56
11.00	22	0.642	74.79	116.43	3.74	5.82
11.20	12	0.741	47.08	63.51	2.35	3.18
11.40	12	0.740	47.01	63.51	2.35	3.18
11.60	13	0.689	45.37	65.83	2.27	3.29
11.80	13	0.688	45.31	65.83	2.27	3.29
12.00	18	0.687	62.64	91.15	3.13	4.56
12.20	20	0.686	69.50	101.28	3.47	5.06

Prof.	NPDM	Rd	Tipo	Peso	Peso	Tension	Coeff. di	Nspt	Descrizione
Strato		(Kg/cm <sup>2</sup> )		unità di	unità di	е	correlaz.		
(m)				volume	volume	efficace	con		
				(t/m³)	saturo	(Kg/cm <sup>2</sup> )	Nspt		
					(t/m³)				
2.4	4.42	44.31	Incoeren	1.6	1.9	0.19	1.47	6.5	UG1
			te						
9.2	10.5	72.3	Incoeren	1.89	1.95	0.64	1.47	15.44	UG2
			te						
12.2	16.73	89.56	Incoeren	2.12	2.21	1.14	1.47	24.59	UG3
			te -						
			coesivo						

#### STIMA PARAMETRI GEOTECNICI PROVA DPSH1

#### **TERRENI COESIVI**

Coesione non drenata

Descrizione	Nspt	Prof. Strato	Correlazione	Cu
		(m)		(Kg/cm²)
UG3	24.59	9.20-12.20	Terzaghi	1.66

Modulo Edometrico

modale Edemonic				
Descrizione	Nspt	Prof. Strato	Correlazione	Eed
		(m)		(Kg/cm²)
UG3	24.59	9.20-12.20	Stroud e Butler (1975)	112.82

Modulo di Young

Descrizione	Nspt	Prof. Strato	Correlazione	Еу
		(m)		(Kg/cm²)
UG3	24.59	9.20-12.20		78.90







lassit		

Descrizione	Nspt	Prof. Strato	Correlazione	Classificazione
		(m)		
UG3	24.59	9.20-12.20	A.G.I. (1977)	MOLTO
				CONSISTENTE

#### Peso unità di volume

Descrizione	Nspt	Prof. Strato	Correlazione	Peso unità di volume
		(m)		(t/m³)
UG3	24.59	9.20-12.20	Meyerhof ed altri	2.12

#### Peso unità di volume saturo

Descrizione	Nspt	Prof. Strato Correlazione I		Peso unità di volume
		(m)		saturo
				(t/m³)
UG3	24.59	9.20-12.20	Meyerhof ed altri	2.21

#### **TERRENI INCOERENTI**

#### Densità relativa

Descrizione	Nspt	Prof. Strato	Nspt corretto per	Correlazione	Densità relativa
	- 1	(m)	presenza falda		(%)
UG1	6.5	0.00-2.40	6.5	Gibbs & Holtz	28.1
				1957	
UG2	15.44	2.40-9.20	15.22	Gibbs & Holtz	38.35
				1957	
UG3	24.59	9.20-12.20	19.795	Gibbs & Holtz	41.81
				1957	

Angolo di resistenza al taglio

Angolo di resistenza ai taglio									
Descrizione	crizione Nspt Pro		rof. Strato Nspt corretto per		Angolo d'attrito				
		(m)	presenza falda		(°)				
UG1	6.5	0.00-2.40	6.5	Meyerhof (1956)	21.86				
UG2	15.44	2.40-9.20	15.22	Meyerhof (1956)	24.35				
UG3	24.59	9.20-12.20	19.795	Meyerhof (1956)	25.66				

Modulo di Young

Descrizione	Nspt	Prof. Strato	Nspt corretto per	Correlazione	Modulo di Young
		(m)	presenza falda		(Kg/cm²)
UG1	6.5	0.00-2.40	6.5		26.52
UG2	15.44	2.40-9.20	15.22		78.30
UG3	24.59	9.20-12.20	19.795		47.28

Modulo Edometrico

Modulo Edoffictio								
Descrizione	Nspt	Prof. Strato (m)	Nspt corretto per presenza falda	Correlazione	Modulo Edometrico (Kg/cm²)			
UG1	6.5	0.00-2.40	6.5	Begemann 1974	40.82			
UG2	15.44	2.40-9.20	15.22	Farrent 1963	108.73			
UG3	24.59	9.20-12.20	19.795	Begemann 1974	68.12			







#### Classificazione AGI

Descrizione	Nspt	Prof. Strato	Nspt corretto per	Correlazione	Classificazione
		(m)	presenza falda		AGI
UG1	6.5	0.00-2.40	6.5	Classificazione	POCO
				A.G.I	ADDENSATO
UG2	15.44	2.40-9.20	15.22	Classificazione	MODERATAMENT
				A.G.I	E ADDENSATO
UG3	24.59	9.20-12.20	19.795	Classificazione	MODERATAMENT
				A.G.I	E ADDENSATO

#### Peso unità di volume

Descrizione	Nspt	Prof. Strato	Nspt corretto per	Correlazione	Gamma
		(m)	presenza falda		(t/m³)
UG1	6.5	0.00-2.40	6.5	Meyerhof ed altri	1.60
UG2	15.44	2.40-9.20	15.22	Meyerhof ed altri	1.89
UG3	24.59	9.20-12.20	19.795	Meyerhof ed altri	1.99

#### Peso unità di volume saturo

Descrizione	Nspt	Prof. Strato	Nspt corretto per	Correlazione	Gamma Saturo
		(m)	presenza falda		(t/m³)
UG1	6.5	0.00-2.40	6.5	Terzaghi-Peck	1.90
				1948-1967	
UG2	15.44	2.40-9.20	15.22	Terzaghi-Peck	1.95
				1948-1967	
UG3	24.59	9.20-12.20	19.795	Terzaghi-Peck	2.39
				1948-1967	

#### Modulo di Poisson

Descrizione	Nspt	Nspt Prof. Strato N		Correlazione	Poisson
		(m)	presenza falda		
UG1	6.5	0.00-2.40	6.5	(A.G.I.)	0.34
UG2	15.44	2.40-9.20	15.22	(A.G.I.)	0.32
UG3	24.59	9.20-12.20	19.795	(A.G.I.)	0.32

Modulo di deformazione a taglio

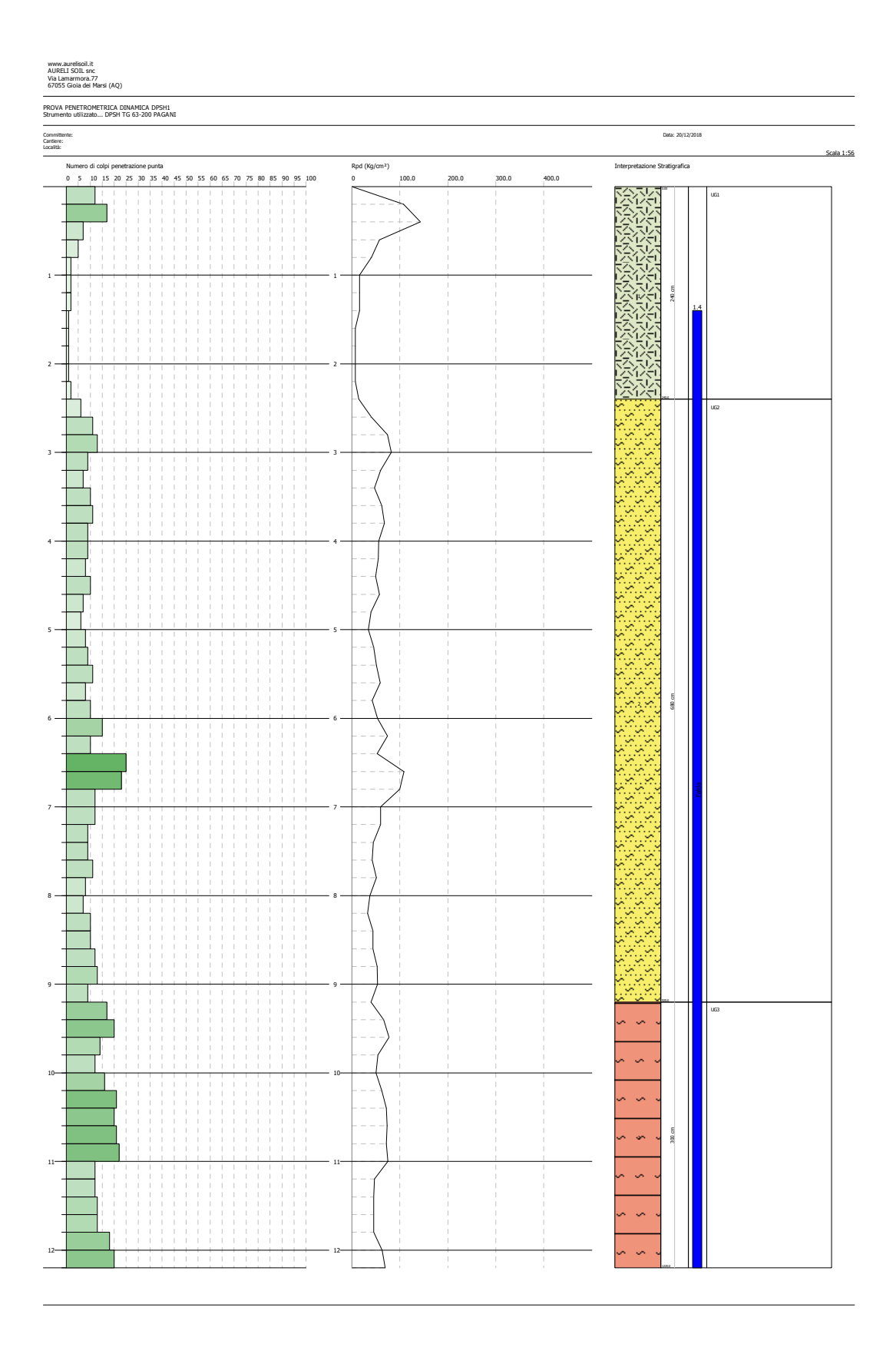
modulo di dolonnaziono di tagno							
Descrizione	one Nspt		Nspt corretto per	Correlazione	G		
		(m)	presenza falda		(Kg/cm²)		
UG1	6.5	0.00-2.40	6.5		9.90		
UG2	15.44	2.40-9.20	15.22		19.73		
UG3	24.59	9.20-12.20	19.795		18.65		







# 2.1.1 INTERPRETAZIONE STRATIGRAFICA PROVA DPSH1









# **2.2 ELABORAZIONE PROVA DPSH2**

Strumento utilizzato Prova eseguita in data Profondità prova Falda rilevata DPSH TG 63-200 PAGANI 20/12/2018 12.20 mt

Tipo elaborazione Nr. Colpi: Medio

Profondità (m)	Nr. Colpi	Calcolo coeff.	Res. dinamica	Res. dinamica	Pres.	Pres.
		riduzione sonda	ridotta	(Kg/cm²)	ammissibile	ammissibile
		Chi	(Kg/cm²)		con riduzione	Herminier -
					Herminier -	Olandesi
					Olandesi	(Kg/cm²)
					(Kg/cm²)	
0.20	22	0.755	174.44	231.16	8.72	11.56
0.40	3	0.851	26.82	31.52	1.34	1.58
0.60 0.80	3	0.847 0.843	24.50 8.13	28.93 9.64	1.23 0.41	1.45
1.00	<u></u>	0.840	8.10	9.64	0.40	0.48
1.20	<u></u>	0.836	8.06	9.64	0.40	0.48
1.40	1	0.833	8.03	9.64	0.40	0.48
1.60	5	0.830	36.96	44.55	1.85	2.23
1.80	7	0.826	51.54	62.38	2.58	3.12
2.00	8	0.823	58.68	71.29	2.93	3.56
2.20	10	0.820	73.08	89.11	3.65	4.46
2.40	12	0.817	87.38	106.93	4.37	5.35
2.60	11	0.814	74.18	91.10	3.71	4.5
2.80	10	0.811	67.20	82.82	3.36	4.14
3.00	8	0.809	53.58	66.25	2.68	3.3
3.20	7	0.806	46.73	57.97	2.34	2.90
3.40	8	0.803	53.23	66.25	2.66	3.3
3.60	9	0.801	55.76	69.62	2.79	3.48
3.80	7	0.798	43.23	54.15	2.16	2.7
4.00	6	0.796	36.95	46.41	1.85	2.32
4.20	4	0.794	24.56	30.94	1.23	1.5
4.40	4	0.791	24.49	30.94	1.22	1.5
4.60	5	0.789	28.64	36.28	1.43	1.8
4.80	9	0.787	51.41	65.31	2.57	3.2
5.00	8	0.785	45.57	58.06	2.28	2.90
5.20	11	0.783	62.50	79.83	3.13	3.99
5.40	9	0.781	51.01	65.31	2.55	3.27
5.60	13	0.729	64.78	88.84	3.24	4.44
5.80	22	0.677	101.83	150.35	5.09	7.52
6.00	21	0.675	96.94	143.52	4.85	7.18
6.20	17	0.724	84.08	116.18	4.20	5.8
6.40	11	0.772	58.04	75.18	2.90	3.70
6.60	5	0.770	24.87	32.29	1.24	1.6
6.80	13	0.719	60.34	83.95	3.02	4.20
7.00	6	0.767	29.73	38.75	1.49	1.94
7.20	4	0.766	19.78	25.83	0.99	1.29
7.40	7	0.764	34.54	45.20	1.73	2.20
7.60	4	0.763	18.67	24.48	0.93	1.22
7.80	14	0.711	60.95	85.69	3.05	4.28
8.00	6	0.760	27.91	36.73	1.40	1.84
8.20	20	0.709	86.74	122.42	4.34	6.12
8.40	20	0.707	86.58	122.42	4.33	6.12
8.60	17	0.706	69.82	98.89	3.49	4.94
8.80	10	0.755	43.90	58.17	2.20	2.9







9.00	12	0.753	52.60	69.81	2.63	3.49
9.20	14	0.702	57.20	81.44	2.86	4.07
9.40	18	0.701	73.41	104.71	3.67	5.24
9.60	20	0.700	77.59	110.85	3.88	5.54
9.80	20	0.699	77.46	110.85	3.87	5.54
10.00	21	0.648	75.39	116.39	3.77	5.82
10.20	21	0.647	75.26	116.39	3.76	5.82
10.40	14	0.696	53.97	77.59	2.70	3.88
10.60	9	0.744	35.46	47.63	1.77	2.38
10.80	9	0.743	35.41	47.63	1.77	2.38
11.00	11	0.742	43.22	58.22	2.16	2.91
11.20	14	0.691	51.22	74.09	2.56	3.70
11.40	17	0.690	62.10	89.97	3.11	4.50
11.60	19	0.689	66.31	96.21	3.32	4.81
11.80	21	0.638	67.87	106.34	3.39	5.32
12.00	24	0.637	77.44	121.53	3.87	6.08
12.20	26	0.636	83.76	131.66	4.19	6.58

Prof. Strato (m)	NPDM	Rd (Kg/cm²)	Tipo	Peso unità di volume (t/m³)	Peso unità di volume saturo	Tensione efficace (Kg/cm²)	Coeff. di correlaz. con Nspt	Nspt	Descrizione
1.6	4.62	46.84	Incoerent e	1.61	(t/m³) 1.9	0.13	1.47	6.79	UG1
9.2	10.24	71.87	Incoerent e	1.88	1.95	0.56	1.47	15.05	UG2
12.2	17.6	94	Incoerent e - coesivo	2.12	2.25	1.11	1.47	25.87	UG3

#### STIMA PARAMETRI GEOTECNICI PROVA DPSH2

#### **TERRENI COESIVI**

Coesione non drenata

occording mon and mata				
Descrizione Nspt		Prof. Strato	Correlazione	Cu
		(m)		(Kg/cm²)
UG3	25.87	9.20-12.20	Terzaghi	1.75

Modulo Edometrico

Descrizione	Nspt	Prof. Strato Correlazione		Eed
		(m)		(Kg/cm²)
UG3	25.87	9.20-12.20	Stroud e Butler (1975)	118.69

Modulo di Young

Descrizione	Nspt	Prof. Strato Correlazione		Ey
		(m)		(Kg/cm²)
UG3	25.87	9.20-12.20		85.70

Classificazione AGI

Descrizione	Nspt	Prof. Strato	Correlazione	Classificazione
		(m)		
UG3	25.87	9.20-12.20	A.G.I. (1977)	MOLTO
				CONSISTENTE

Peso unità di volume

Descrizione	Nspt	Prof. Strato	Correlazione	Peso unità di volume	
		(m)		(t/m³)	
UG3	25.87	9.20-12.20	Meverhof ed altri	2.12	







#### Peso unità di volume saturo

Descrizione	Nspt	Prof. Strato	Correlazione	Peso unità di volume
		(m)		saturo
				(t/m³)
UG3	25.87	9.20-12.20	Meyerhof ed altri	2.25

#### **TERRENI INCOERENTI**

#### Densità relativa

Descrizione	Nspt	Prof. Strato	Nspt corretto per	Correlazione	Densità relativa
		(m)	presenza falda		(%)
UG1	6.79	0.00-1.60	6.79	Gibbs & Holtz	30.24
				1957	
UG2	15.05	1.60-9.20	15.025	Gibbs & Holtz	38.98
				1957	
UG3	25.87	9.20-12.20	20.435	Gibbs & Holtz	43.35
				1957	

Angolo di resistenza al taglio

angolo an roolotoniza an tagno								
Descrizione	Nspt	Prof. Strato	Nspt corretto per	Correlazione	Angolo d'attrito			
		(m)	presenza falda		(°)			
UG1	6.79	0.00-1.60	6.79	Meyerhof (1956)	21.94			
UG2	15.05	1.60-9.20	15.025	Meyerhof (1956)	24.29			
UG3	25.87	9.20-12.20	20.435	Meyerhof (1956)	25.84			

Modulo di Young

Descrizione	Nspt	Prof. Strato	Nspt corretto per	Correlazione	Modulo di Young
		(m)	presenza falda		(Kg/cm²)
UG1	6.79	0.00-1.60	6.79		27.17
UG2	15.05	1.60-9.20	15.025		40.99
UG3	25.87	9.20-12.20	20.435		50.83

#### Modulo Edometrico

Descrizione	Nspt	Prof. Strato (m)	Nspt corretto per presenza falda	Correlazione	Modulo Edometrico (Kg/cm²)
UG1	6.79	0.00-1.60	6.79	Begemann 1974	41.41
UG2	15.05	1.60-9.20	15.025	Begemann 1974	58.33
UG3	25.87	9.20-12.20	20.435	Begemann 1974	69.44

#### Classificazione AGI

Oldoomouziono / tai					•
Descrizione	Nspt	Prof. Strato	Nspt corretto per	Correlazione	Classificazione
		(m)	presenza falda		AGI
UG1	6.79	0.00-1.60	6.79	Classificazione	POCO
				A.G.I	ADDENSATO
UG2	15.05	1.60-9.20	15.025	Classificazione	MODERATAMENT
				A.G.I	E ADDENSATO
UG3	25.87	9.20-12.20	20.435	Classificazione	MODERATAMENT
				A.G.I	E ADDENSATO

#### Peso unità di volume

Descrizione	Nspt	Prof. Strato	Nspt corretto per	Correlazione	Gamma
		(m)	presenza falda		(t/m³)
UG1	6.79	0.00-1.60	6.79	Meyerhof ed altri	1.61
UG2	15.05	1.60-9.20	15.025	Meyerhof ed altri	1.88
UG3	25.87	9.20-12.20	20.435	Meyerhof ed altri	2.00







#### Peso unità di volume saturo

Descrizione	Nspt	Prof. Strato	Nspt corretto per	Correlazione	Gamma Saturo
		(m)	presenza falda		(t/m³)
UG1	6.79	0.00-1.60	6.79	Terzaghi-Peck	1.90
				1948-1967	
UG2	15.05	1.60-9.20	15.025	Terzaghi-Peck	1.95
				1948-1967	
UG3	25.87	9.20-12.20	20.435	Terzaghi-Peck	2.40
				1948-1967	

#### Modulo di Poisson

modale all closell					
Descrizione	Nspt	Prof. Strato (m)	Nspt corretto per presenza falda	Correlazione	Poisson
UG1	6.79	0.00-1.60	6.79	(A.G.I.)	0.34
UG2	15.05	1.60-9.20	15.025	(A.G.I.)	0.32
UG3	25.87	9.20-12.20	20,435	(A.G.I.)	0.31

Modulo di deformazione a taglio

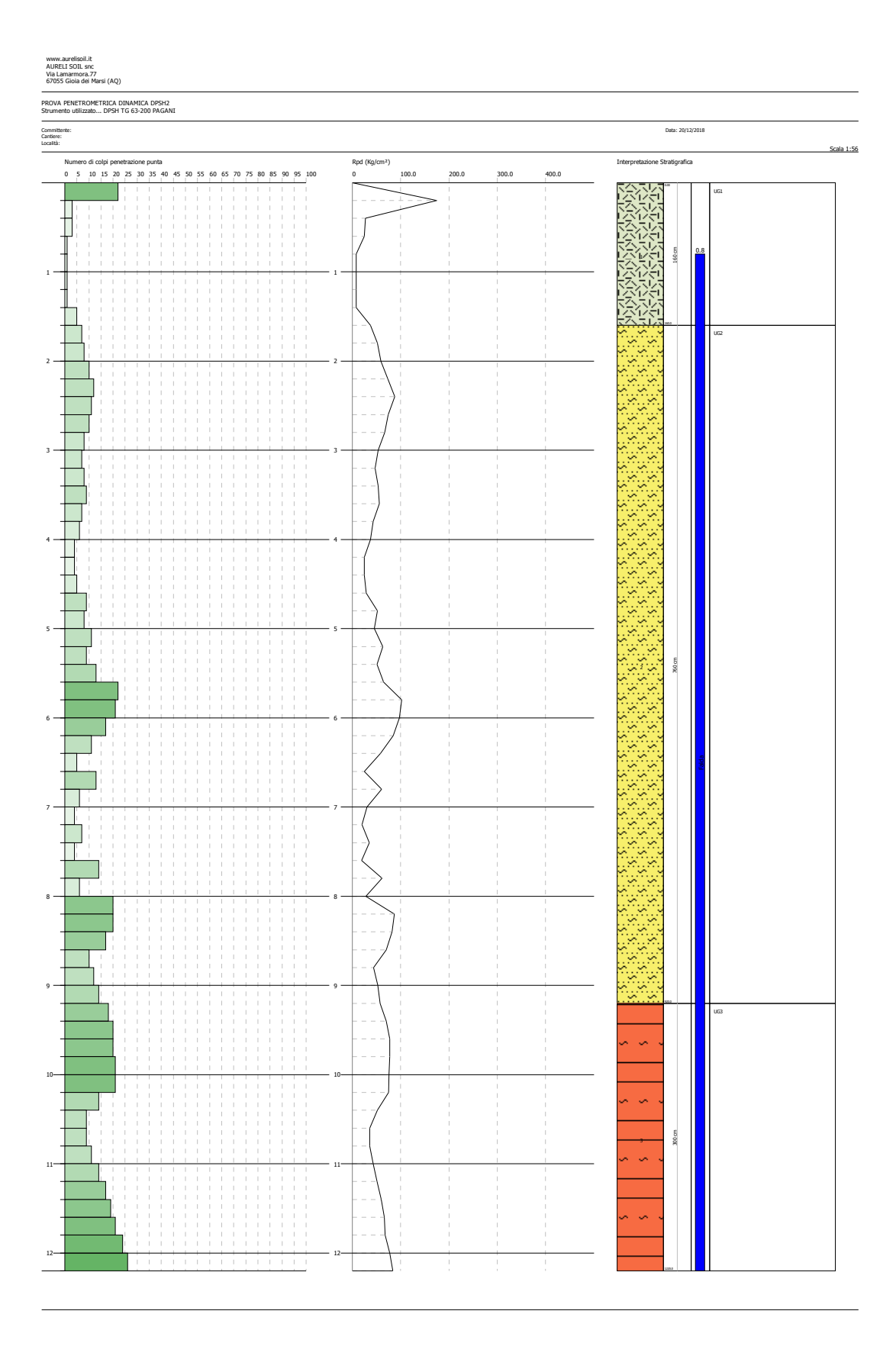
Descrizione	Nspt	Prof. Strato	Nspt corretto per	Correlazione	G
		(m)	presenza falda		(Kg/cm²)
UG1	6.79	0.00-1.60	6.79	-	10.89
UG2	15.05	1.60-9.20	15.025	-	15.55
UG3	25.87	9.20-12.20	20.435		19.86







# 2.2.1 INTERPRETAZIONE STRATIGRAFICA PROVA DPSH2









#### 3. PROVA SISMICA DI SUPERFICIE - MASW

#### 3.1 INTRODUZIONE

E' stata eseguita una indagine sismica con metodologia MASW per l'acquisizione del profilo di velocità delle onde di taglio  $Vs_{eq}$  (Nuove Norme Tecniche per le Costruzioni DM 17 Gennaio 2018).

La classificazione del sottosuolo si effettua in base alle condizioni stratigrafiche ed ai valori della velocità equivalente di propagazione delle onde di taglio  $Vs_{eq}$  (in m/s), definita dall'espressione:

$$Vs_{eq} = \frac{H}{\sum_{i=1}^{N} \frac{h_i}{V_{S_i}}}$$

Dove:

hi è lo spessore dello strato iesimo

Vsi è la velocità dello strato iesimo

N è il numero di strati

H è la profondità del substrato, definito come quella formazione costituita da roccia o terreno molto rigido, caratterizzato da Vs non inferiore a 800 m/s.

Per depositi con profondità H del substrato superiore a 30m, la velocità equivalente delle onde di taglio  $Vs_{eq}$  è definita dal parametro Vs30, ottenuto ponendo H=30m nella precedente espressione e considerando le proprietà degli strati di terreno fino a tale profondità.

Tale parametro può essere determinato attraverso indagini indirette ed in particolar modo mediante l'analisi delle onde di Rayleigh, ossia onde di superficie generate dall'interazione tra onde di pressione (P) e le onde di taglio verticali (Sv) ogni qualvolta esiste una superficie libera in un mezzo omogeneo ed isotropo.

L'analisi delle onde S mediante tecnica MASW viene eseguita mediante la trattazione spettrale del sismogramma, che, a seguito di una trasformata di Fourier, restituisce lo spettro del segnale. In questo dominio é possibile separare il segnale relativo alle onde S da altri tipi di segnale, come onde P, propagazione in aria ecc. Osservando lo spettro di frequenza é possibile evidenziare che l'onda S si propaga a velocità variabile a seconda della sua frequenza, come risultato del fenomeno della dispersione.

I dati ottenuti dall'acquisizione di campagna sono stati opportunamente elaborati e interpretati così da ottenere i risultati finali. Il seguente rapporto tecnico illustra le tecniche utilizzate ed i risultati conseguiti.







#### 3.2 MODALITA' DI ACQUISIZIONE

L'acquisizione dei dati in campagna è stata eseguita utilizzando un sistema composto dalle seguenti parti:

#### a) Sismografo

Il sismografo utilizzato per l'esecuzione della linea sismica MASW è un sismografo ECHO 24/2010 SEISMIC UNIT a 24 canali (Foto 1) caratterizzato dai seguenti parametri di acquisizione:

#### **PARAMETRI DI ACQUISIZIONE:**

Sismografo: ECHO 24/2010SEISMIC UNIT

Numero canali utilizzati: 24

Numero geofoni per canale: 1

Impedenza geofoni: 430  $\Omega$ 

Frequenza naturale: 4,5 Hz (verticali)

Lungh. di registrazione: 1000ms

#### **GEOMETRIA DELLO STENDIMENTO:**

Offset: 2.0 m Foto 1: Sismografo Echo 24/2010

Distanza intergeofonica: 2.0 m

#### b) Sistema energizzante

Come sorgente energizzante è stato utilizzato una mazza del peso di 8 Kg, battente su una piastra di alluminio, in grado di generare onde elastiche ad alta frequenza ricche di energia con forme d'onda ripetibili e direzionali, cioè con la possibilità di ottenere prevalentemente onde di compressione.

Tale metodologia ha consentito di ottenere ovunque registrazioni di buona qualità. Per questa linea sismica sono state effettuate diverse energizzazioni in modo da poter avere più possibilità di analizzare una buona registrazione.

#### c) Trigger

Il trigger utilizzato consiste in un circuito elettrico che viene chiuso mediante un geofono starter nell'istante in cui il sistema energizzante (cannoncino, maglio, mazza etc.) colpisce la base di battuta determinando l'inizio della registrazione.

#### d) Apparecchiatura di ricezione

Per la ricezione del segnale si sono utilizzati Geofoni verticali con frequenza di 4,5 Hz.







#### 3.3 RISULTATI DELL'ANALISI MASW - M1

Il metodo MASW adottato nella fase di elaborazione consiste in più fasi (Roma, 2002):

- (1) la prima fase prevede il calcolo della velocità di fase (o curva di dispersione) apparente sperimentale e la valutazione dello spettro f-k;
- (2) la seconda fase consiste nel calcolare la velocità di fase apparente numerica, invertendo la curva di dispersione mediante picking e successiva applicazione di algoritmi genetici;
- (3) la terza ed ultima fase consiste nell'individuazione del profilo di velocità delle onde di taglio verticali Vs, modificando opportunamente lo spessore h, le velocità delle onde di taglio Vs e di compressione Vp (o in maniera alternativa alle velocità Vp è possibile assegnare il coefficiente di Poisson u), la densità di massa r degli strati che costituiscono il modello del suolo, fino a raggiungere una sovrapposizione ottimale tra la velocità di fase (o curva di dispersione) sperimentale e la velocità di fase (o curva di dispersione) numerica corrispondente al modello di suolo.

La sovrapposizione delle curve teoriche e sperimentali fornisce un parametro indicativo sull'attendibilità del modello geofisico risultante.

Software redatto da MASW

(c) Vitantonio Roma. All rights reserved.







# Fase 1 – Analisi dei dati sperimentali

Numero di ricevitori	24
Numero di campioni temporali	7800
Passo temporale di acquisizione	0.128ms
Numero di ricevitori usati per l'analisi	24
L'intervallo considerato per l'analisi comincia a	0ms
L'intervallo considerato per l'analisi termina a	1000ms

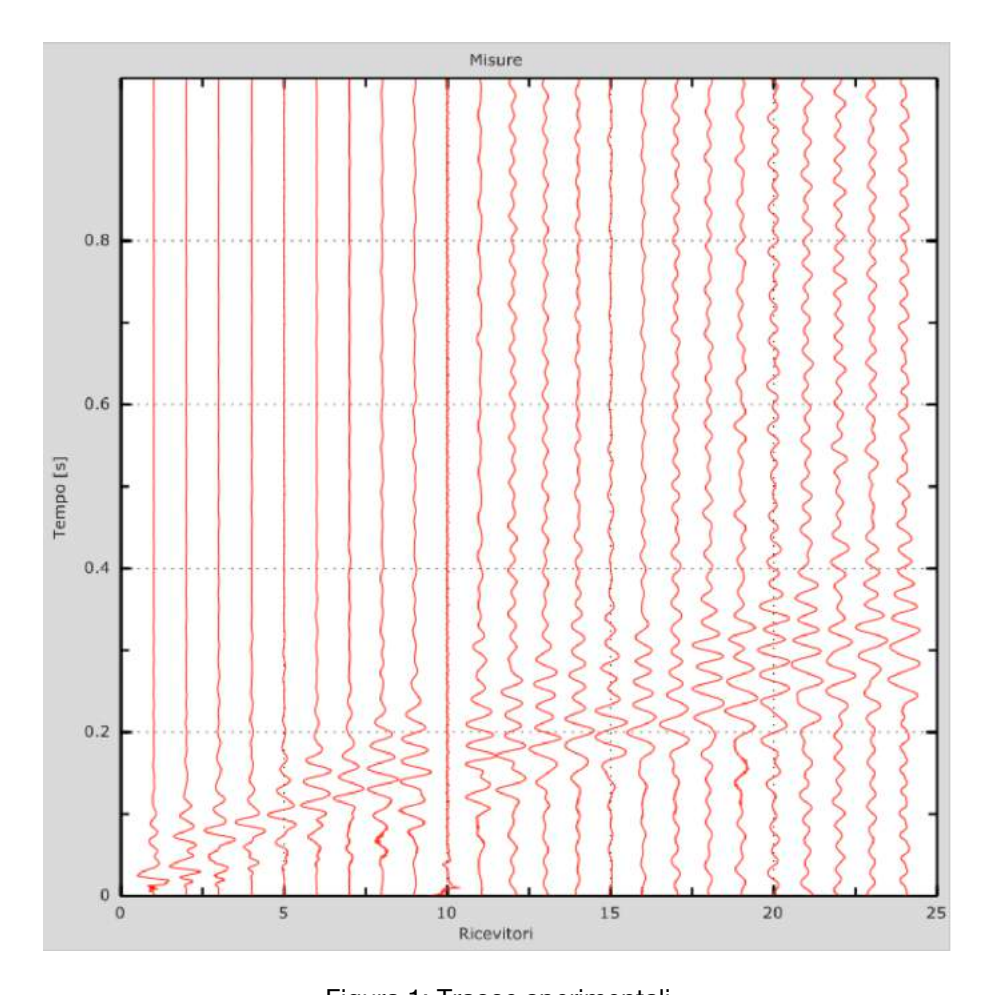


Figura 1: Tracce sperimentali







# Fase 2 - Risultati delle analisi

Frequenza finale	70 Hz
'	
Frequenza iniziale	05 Hz

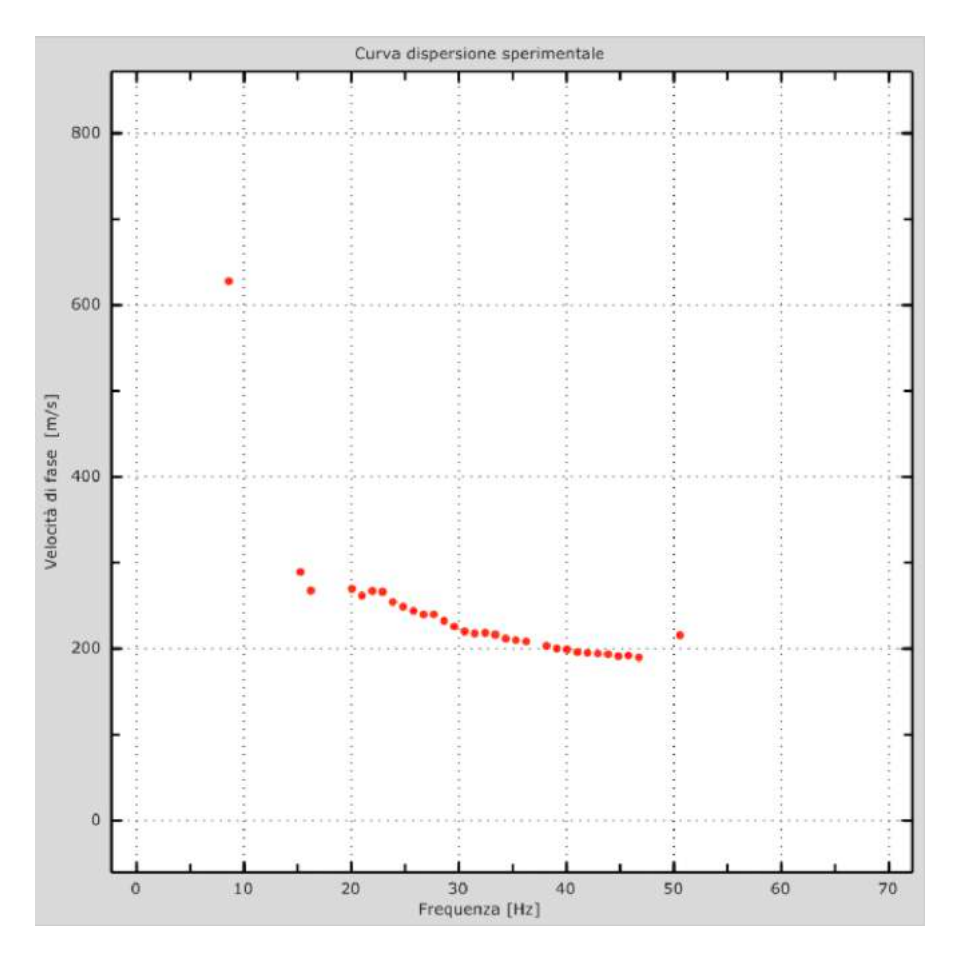


Figura 2: Curva dispersione sperimentale







# Fase 3 - Curva di dispersione

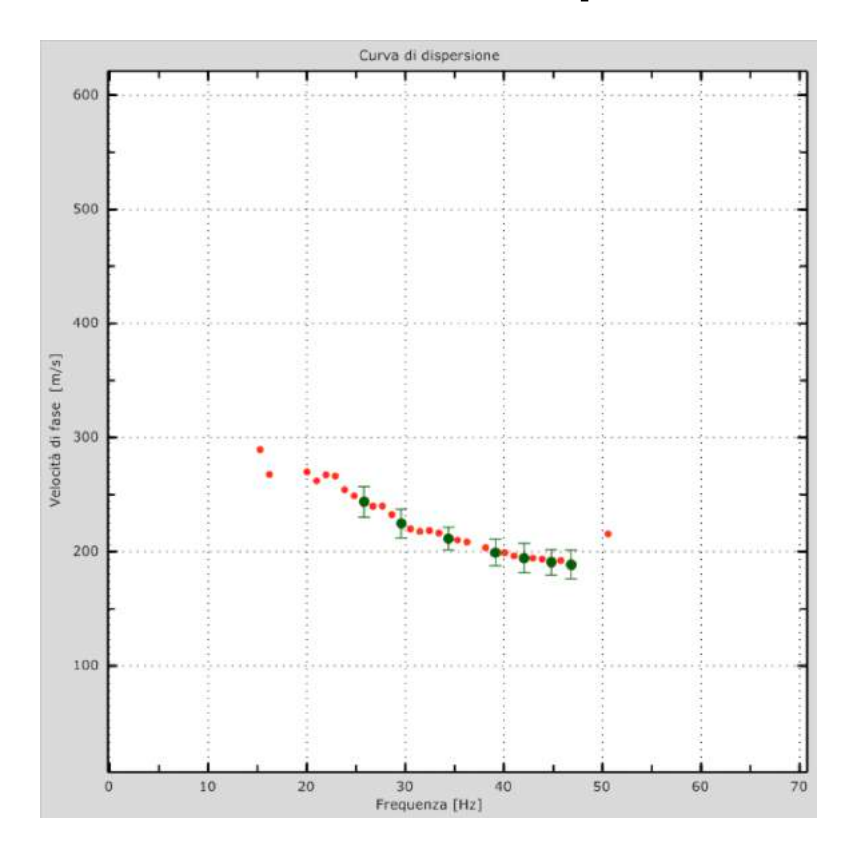


Figura 3: Curva di dispersione







# Fase 4 – Profilo sismostratigrafico del sito

Numero di strati (escluso semispazio)	2
Spaziatura ricevitori [m]	2.0 m
Numero ricevitori	24
Numero modi	1
Numero iterazioni	20
Massimo errore [%]	10
Strato 1	
h [m]	2.0
z [m]	2.0
Vs fin.[m/s]	209.130
Strato 2	
h [m]	0
z [m]	00
N. C. F. (1)	070 700







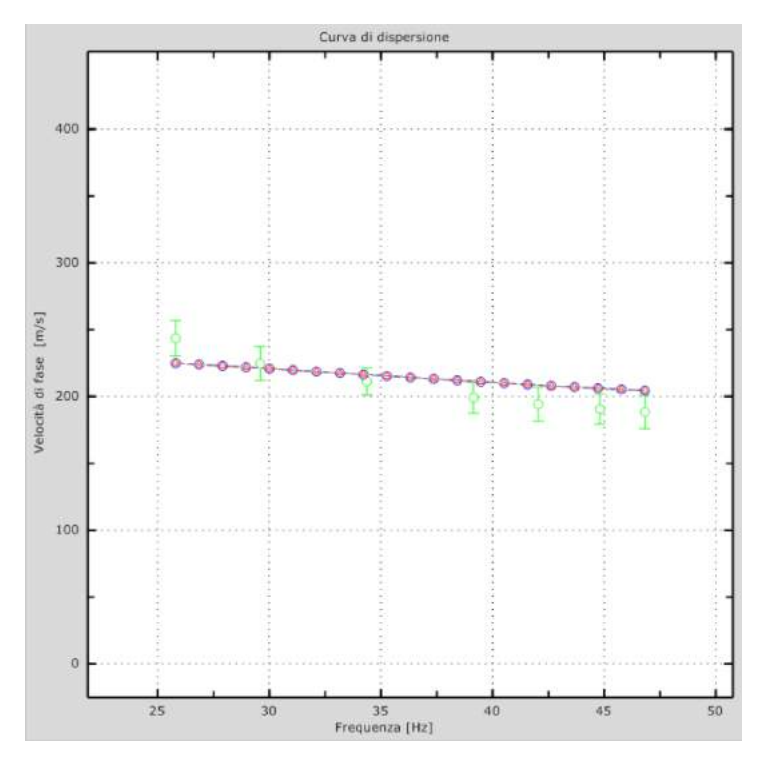


Figura 4: Velocità numeriche – punti sperimentali (verde), modi di Rayleigh (ciano), curva apparente(blu), curva numerica (rosso)

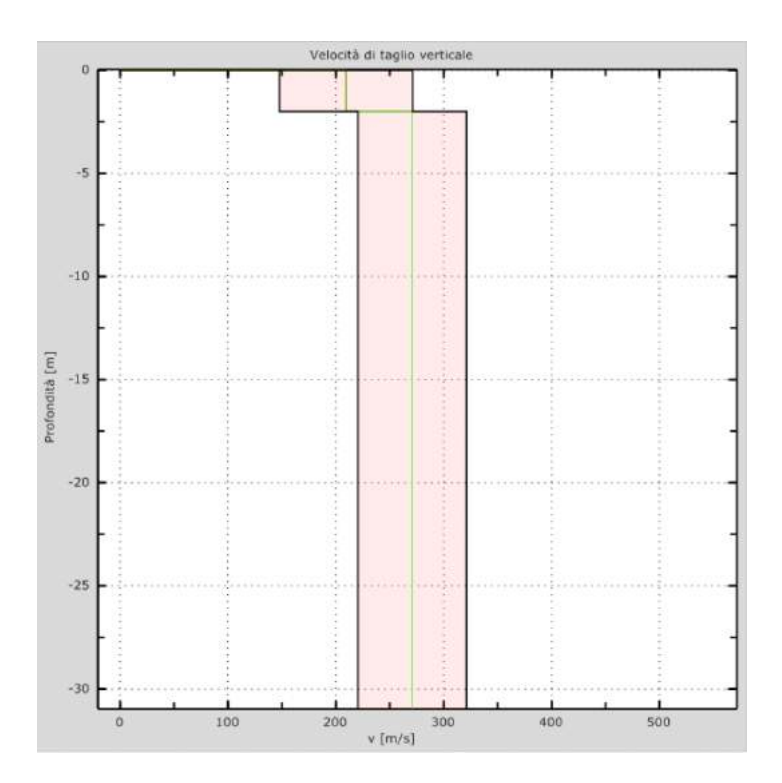


Figura 5: Velocità







# 0 50 100 150 200 250 300 350 400 450 500 550 600 650 700 750 80 209 m/s 270 m/s 25 270 m/s Vs (m/s)

GRAFICO VELOCITA' Vs FINALI - PROFONDITA'

Figura 6: Grafico Velocità Vs finali

# Fase 5 - Risultati finali

Piano di riferimento z=0 [m]	0
Vs30 [m/s]	265

La normativa applicata è il DM 17 Gennaio 2018







# **Appendice**

# Tipo di suolo

Tipo A: Ammassi rocciosi affioranti o terreni molto rigidi caratterizzati da valori di velocità delle onde di taglio superiori a 800 m/s, eventualmente comprendenti in superficie terreni di caratteristiche meccaniche più scadenti con spessore massimo pari a 3 m.

Tipo B: Rocce tenere e depositi di terreni a grana grossa molto addensati o terreni a grana fina molto consistenti, caratterizzati da un miglioramento delle proprietà meccaniche con la profondità e da valori di velocità equivalente compresi tra 360 m/s e 800 m/s.

Tipo C: Depositi di terreni a grana grossa mediamente addensati o di terreni a grana fina mediamente consistenti, con profondità del substrato superiori a 30 m, caratterizzati da un miglioramento delle proprietà meccaniche con la profondità e da valori di velocità equivalente compresi tra 180 m/s e 360 m/s.

Tipo D: Depositi di terreni a grana grossa scarsamente addensati o di terreni a grana fina scarsamente consistenti, con profondità del substrato superiori a 30 m, caratterizzati da un miglioramento delle proprietà meccaniche con la profondità e da valori di velocità equivalente compresi tra 100 m/s e 180 m/s.

Tipo E: Terreni con caratteristiche e valori di velocità equivalente riconducibili a quelle definite per categorie C o D, con profondità del substrato non superiore a 30 m.







#### 4. SONDAGGIO GEOGNOSTICO A CAROTAGGIO CONTINUO

L'esecuzione della perforazione a fini geotecnici, è stata eseguita con le attrezzature aventi le caratteristiche e la potenza idonea allo scopo.

Si definisce sondaggio geotecnico una perforazione caratterizzata dalle seguenti modalità esecutive:

- carotaggio continuo e rappresentativo del terreno attraversato;
- descrizione stratigrafica a carattere geotecnico dei terreni attraversati;
- prelievo di campioni indisturbati e rimaneggiati di terreno;
- determinazione del livello piezometrico della falda, se presente;
- annotazione di osservazioni atte alla caratterizzazione geotecnica del terreno.

#### 4.1 ATTREZZATURA DI PERFORAZIONE

Per l'esecuzione dei sondaggi è stata utilizzata una sonda a rotazione CK 600 SL carro cingolata.

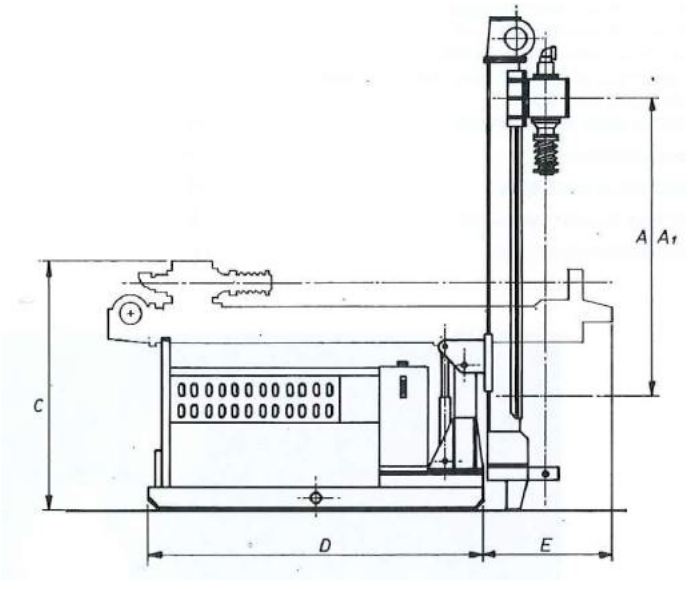


Fig.1 - Sonda perforatrice tipo "CK 600 SL"

La macchina è progetta e costruita in conformità ai seguenti regolamenti:

- Direttiva 98/37 CE
- EN 791
- EN 292
- EN 60204-1
- EN 563
- ISO 4872-1978







#### **4.2 UTENSILI DI PERFORAZIONE**

La perforazione è stata eseguita a rotazione a "carotaggio continuo" secondo le norme tecniche prescritte:

Carotieri semplici, con valvola di testa a sfera e calice

Diametro nominale  $\varnothing$  est = 101 mm

Lunghezza utile = 150 cm

- Corone di perforazione in widia
- Aste di perforazione in acciaio con filettatura tronco-conica

Diametro esterno  $\emptyset$  est = 76 mm.

Rivestimento provvisorio in acciaio

Spessore tubo = 10 mm

Diametro interno Ø int= 127 mm

Lunghezza spezzoni I = 150 cm

#### 4.3 MODALITA' ESECUTIVE DEL SONDAGGIO GEOTECNICO

Il carotaggio è rappresentativo del terreno attraversato, con percentuale di recupero >85%, il carotiere semplice utilizzato è stato azionato da aste in acciaio.

La perforazione è stata seguita dal rivestimento provvisorio del foro solo in assenza di sufficiente autosostentamento delle pareti. Le manovre di rivestimento sono state eseguite con l'uso di fluido in circolazione, la pressione del fluido è stata mantenuta la minore possibile e controllata mediante manometro.

Il disturbo arrecato al terreno è stato contenuto al minimo, fermando la scarpa del rivestimento a circa 50 cm dal fondo foro in modo da non investirlo in forma eccessivamente diretta con il getto di fluido in pressione.

Il battente di fluido in colonna è mantenuto prossimo a bocca foro mediante rabbocchi progressivi specialmente durante l'estrazione del carotiere e delle aste, che avviene con velocità iniziale molto bassa (1 ÷ 2 cm/sec), al fine di evitare effetti di risucchio che possono anche verificarsi nel caso di brusco sollevamento della batteria di rivestimento, qualora occlusa all'estremità inferiore dal terreno per insufficiente circolazione di fluido durante l'infissione.

La quota del fondo foro è stata misurata con scandaglio a filo graduato prima di ogni manovra di campionamento indisturbato e di prova geotecnica SPT.

Apposite manovre di pulizia vengono eseguite qualora la differenza tra quota raggiunta con la perforazione e quota misurata con scandaglio superi le seguenti tolleranze:







- 7 cm, prima dell'uso di campionatori privi di pistone fisso o sganciabile meccanicamente e di prove SPT
  - 15 cm, prima dell'uso di campionatori con pistone fisso o sganciabile meccanicamente.

La lunghezza esatta delle batterie di aste inserite nel foro è stata misurata e riportata, in una apposita tabella, onde prevenire imprecisioni nella definizione delle profondità raggiunte. E' stata compilare una scheda stratigrafica del sondaggio completa di tutte le indicazioni necessarie alla descrizione con criteri geotecnici del materiale carotato.

#### 4.4 FLUIDI DI CIRCOLAZIONE

Il fluido di circolazione nelle fasi di perforazione e di rivestimento, è costituito da acqua e fanghi polimerici.

Il fluido ha la funzione di raffreddamento, asportazione detriti ed eventuale sostentamento del foro, senza in alcun modo pregiudicare la qualità del carotaggio, l'esito delle prove geotecniche ed il funzionamento della strumentazione.







#### 4.5 STRATIGRAFIA SONDAGGIO S1

#### **STRATIGRAFIA**

SCALA 1:100 Riferimento: conservatorio di musica Luisa D'Annunzio Sondaggio: S1 Località: Pescara (PE) Quota: 4 m/slm Impresa esecutrice: Aureli Soil Srl Perforatore: Daniele Berardi Data: 20/12/2018 Coordinate: 42°283122 14°120627 Redattore: Dott. Geol. Michele Aureli Perforazione: Sondaggio a carotaggio continuo, aste e carotiere Pz | metri | LITOLOGIA | Campioni | RP | VT | Prel. % | 0 --- 100 RQD % prof 0 --- 100 m DESCRIZIONE Terreno di riporto costituito da ghiaia sabbiosa con conci in laterizio Sabbia con limo deb. argillosa di colore grigio olivastro 1) Ind < 1.50 2.00 Sabbia debolmente limosa avana Sabbia limosa deb. ghiaiosa di colore marroncino grigiastro Sabbia debolmente limosa di colore avana-grigio Sabbia limosa di colore grigio 10 Ghiaia sabbiosa di colore avana Argilla limosa di colore grigio 3.5 3.4 9-14-20 12\_ 2.7 3.3 13 4 2 3 3.2 Ghiaia in matrice argilloso sabbiosa, di colore grigio Argilla con limo di colore grigio-verdastro 15 101 18-22-25 3.5 3.9 3 3.3 2.4 18, 3.1 3.8 19\_ 3.9

Sondaggio geognostico a carotaggio continuo, eseguito con carotiere semplice (101), rivestimento fino alla profondità di 15 m dal p.c. (127).

La profondità investigata è pari a 20 m dal p.c., le carote sono state riposte in n.4 cassette catalogatrici. Durante la perforazione sono state effettuate n.2 prove SPT e sono stati prelevati n.2 campioni indisturbati.







#### 4.6 CASSETTE CATALOGATRICI (S1 20 m), POSTAZIONE SONDAGGIO

SONDAGGIO GEOGNOSTICO A C.C.	S1
SUNDAGGIO GEOGNOSTICO A C.C.	(20 m)
	N 42,283122
COMUNE DI PESCARA (AQ)	E 14,120627
	(WGS84 Gradi decimali)

# CASSETTA C1 (0 - 5 m)



# CASSETTA C2 (5 - 10 m)









SONDAGGIO GEOGNOSTICO A C.C.	S1
SUNDAGGIO GEOGNOSTICO A C.C.	(20 m)
	N 42,283122
COMUNE DI PESCARA (AQ)	E 14,120627
	(WGS84 Gradi decimali)

# CASSETTA C3 (10 - 15 m)



CASSETTA C4 (15 - 20 m)









# POSTAZIONE SONDAGGIO









# 5. PROVE PENETROMETRICHE DINAMICHE IN FORO - (S.P.T.)

Nel corso dei sondaggi sono state eseguite n°2 prove di resistenza alla penetrazione "SPT" utilizzando un'attrezzatura standard secondo le modalità di esecuzione indicate dalle "Raccomandazioni dell'Associazione Geotecnica Italiana" del 1977.

	PROVA	PROFONDITA (m)	NUMERO DI COLPI
S1	SPT 1	11,55	9-14-20
S1	SPT 2	15,00	18-22-25

Tali prove si eseguono preferibilmente in terreni granulari (sabbie e ghiaie fini), tuttavia si possono eseguire in qualsiasi terreno sciolto e su alcune rocce tenere allo scopo di determinare grado di addensamento / consistenza / resistenza.

Si riassumono brevemente le caratteristiche tecniche della prova "SPT":

#### Campionatore:

- Raymond di diametro esterno 51 mm, diametro interno 35 mm, lunghezza minima 457 mm, con scarpa standard a punta aperta come utensile di penetrazione;
- Aste collegate al campionatore di lunghezza 1.50 m, diametro esterno 50 mm e peso di 7.47 kg/ml.

Dispositivo di battuta avente peso non superiore a 115 Kg, comprende:

- testa di battuta in acciaio avvitata all'estremità della batteria di aste;
- massa battente o maglio di 63.5 kg;
- dispositivo di guida e rilascio del maglio, a sganciamento automatico, che assicura una corsa a caduta libera di 76 cm.

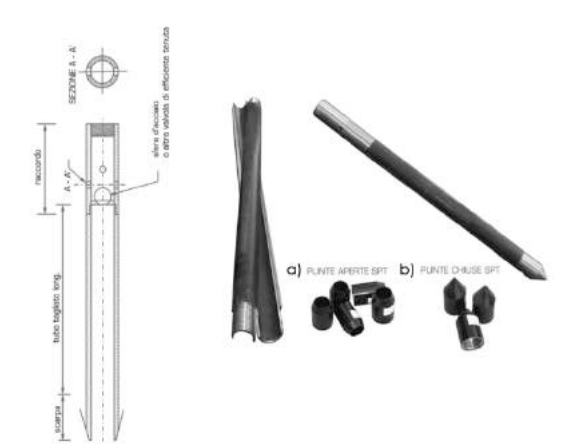


Fig.2 – Campionatore a punta aperta (a) - a punta chiusa (b)







Ogni determinazione di prova è stata preceduta dalla pulizia del fondo foro con verifica della coincidenza della quota di attestazione della punta con profondità misurata dopo la pulizia del foro (tolleranza di +/- 7 cm); la prova consiste nel fare penetrare il campionatore posato al fondo foro per tre tratti successivi di 15 cm registrando ogni volta il numero dei colpi necessari (N1, N2, N3).

Con il primo tratto detto avviamento si intende superare la zona di terreno rimaneggiato in fase di perforazione. Nel caso di un terreno molto addensato con N1 = 50 ed avanzamento minore di 15 cm l'infissione deve essere sospesa: la prova dichiarata conclusa in base alle raccomandazioni AGI 1977 e si annota la relativa penetrazione.

Se il tratto di avviamento viene superato si conteggiano N2 e N3 (da 15 a 30 e da 30 a 45 cm) fino ad un limite complessivo di 100 colpi (N2+N3) raggiunto il quale si sospende la prova annotando l'avanzamento ottenuto.

Pertanto il parametro caratteristico della prova, prescindendo dai casi particolari di rifiuto è: Nspt = N2 + N3 che esprime il numero di colpi caratteristico per 30 cm utili di perforazione.

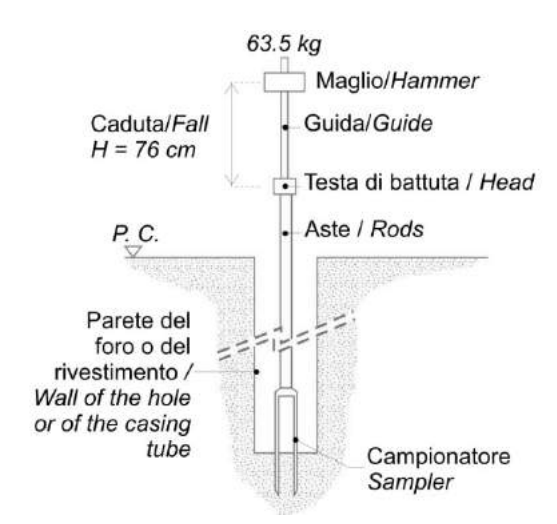


Fig.3 – Modalità di esecuzione della prova SPT







# **5.1. ELABORAZIONE PROVE PENETROMETRICHE SPT (S1)**

Caratteristiche Tecniche-Strumentali Sonda: SPT HOLE

Rif. Norme	DIN 4094
Peso Massa batte	ente 63.5 Kg
Altezza di caduta	libera 0.76 m
Peso sistema di b	pattuta 4.2 Kg
Diametro punta c	onica 50.46 mm
Area di base punt	ta 20 cm²
Lunghezza delle a	aste 1 m
Peso aste a metro	7 Kg/m
Profondità giunzio	one prima asta 0.80 m
Avanzamento pur	nta 0.30 m
Numero colpi per	punta N (30)
Coeff. Correlazior	ne 0.997
Rivestimento/fanç	ghi No

Strumento utilizzato Prova eseguita in data Falda non rilevata SPT HOLE 20/12/2018

Tipo elaborazione Nr. Colpi: Medio

Profondità (m)	Nr. Colpi
11.70	9
11.85	14
12.00	20
15.15	18
15.30	22
15.45	25

#### STIMA PARAMETRI GEOTECNICI PROVA SPT

#### **TERRENI COESIVI**

Coesione non drenata

Descrizione	Nspt	Prof. Strato	Correlazione	Cu
		(m)		(Kg/cm <sup>2</sup> )
SPT (1)	33.898	0.00-12.00	Shioi - Fukui 1982	1.70
SPT (2)	46.859	12.00-15.45	Shioi - Fukui 1982	2.34







#### Modulo Edometrico

Descrizione	Nspt	Prof. Strato	Correlazione	Eed
		(m)		(Kg/cm²)
SPT (1)	33.898	0.00-12.00	Stroud e Butler (1975)	155.52
SPT (2)	46.859	12.00-15.45	Stroud e Butler (1975)	214.99

Modulo di Young

Descrizione	Nspt	Prof. Strato	Correlazione	Еу
		(m)		(Kg/cm²)
SPT (1)	33.898	0.00-12.00		118.98
SPT (2)	46.859	12.00-15.45		175.59

#### Classificazione AGI

Descrizione	Nspt	Prof. Strato	Correlazione	Classificazione
		(m)		
SPT (1)	33.898	0.00-12.00	A.G.I. (1977)	ESTREM.
, ,			, ,	CONSISTENTE
SPT (2)	46.859	12.00-15.45	A.G.I. (1977)	ESTREM.
, ,			, ,	CONSISTENTE

#### Peso unità di volume

Descrizione	Nspt	Prof. Strato	Correlazione	Peso unità di volume
		(m)		(t/m³)
SPT (1)	33.898	0.00-12.00	Meyerhof ed altri	2.25
SPT (2)	46.859	12.00-15.45	Meyerhof ed altri	2.25

#### Peso unità di volume saturo

i coo unita di volunte o	aturo			
Descrizione	Nspt	Prof. Strato	Correlazione	Peso unità di volume
		(m)		saturo
				(t/m³)
SPT (1)	33.898	0.00-12.00	Meyerhof ed altri	2.50
SPT (2)	46.859	12.00-15.45	Meyerhof ed altri	2.50







#### 6. PROVA SISMICA PASSIVA – HVSR

#### 6.1 METODOLOGIA DI CALCOLO DEI RAPPORTI SPETTRALI

La principale informazione fornita dai rapporti spettrali H/V, è rappresentata dalla frequenza naturale di oscillazione del sottosuolo, data dal picco della curva H/V, la cui variabilità aumenta con la larghezza della sua base. Viceversa, nessuna informazione utile è fornita dall'ampiezza, se non un'indicazione approssimativa del contrasto di impedenza presente nel sito (SESAME Del.23.12).

Per ottenere i rapporti spettrali H/V a partire dai dati rappresentati da misure di rumore sismico nelle 3 componenti, si è utilizzato il Software HVSR realizzato da Vitantonio Roma che consente di:

- 1. analizzare le misure in sito per il calcolo della curva HVSR sperimentale e quindi le frequenze di risonanza sperimentali del sito;
- 2. determinare la frequenza di risonanza teorica del sito associata ad un modello geotecnico sismico preventivamente definito attraverso il metodo MASW-REMI o altro metodo, per le onde S verticali;
- 3. confrontare le frequenze sperimentale e teorica calcolate ai punti 1) e 2) ma volutamente non affronta in maniera "automatica" il processo di inversione del profilo di velocità delle onde di taglio Vs.

L'obiettivo principale quindi del metodo HVSR è di valutare la frequenza di risonanza del sito per le onde S verticali, piuttosto che il profilo di velocità delle onde di taglio Vs.

Disponendo di informazioni aggiuntive sul modello geologico-geotecnico oppure tramite altre indagini oppure tramite informazioni sul sito in esame (per es. la profondità del bedrock sismico, oppure la successione stratigrafica delle unità geotecniche, oppure le formazioni geologiche presenti, oppure il profilo di Vs da una prova MASW o di sismica a rifrazione, etc..), allora il metodo HVSR può essere usato come strumento complementare per determinare il profilo di Vs e stimare così il parametro Vs30.

Le ampiezze misurate non sono ricollegabili alle effettive amplificazioni di sito; se lo spessore dei sedimenti al di sopra del bedrock è noto, la velocità delle onde S in questo strato superficiale è approssimativamente  $V_{S,av} \approx f_0$ . 4h.

Per il sito in esame stata effettuata 1 misura di microtremore sismico sul terreno di fondazione dell'opera.







La misura è stata effettuata per mezzo del sismografo utilizzato per l'acquisizione della sismica RF1 con l'utilizzo di un geofono tricomponente AMBROGEO con *frequenza propria di* 2,3 Hz registrando per 30 minuti il microtremore ambientale.

### 6.2 CONDIZIONI DI RAPPRESENTATIVITA' DEL PICCO

Le seguenti condizioni di rappresentatività sono state stabilite grazie al progetto SESAME (Site Effects Assessment Using Ambient Excitations), a seguito dei numerosi studi condotti (SESAME).

La prima condizione necessaria per ritenere una curva H/V rappresentativa, è la sua riproducibilità nello stesso sito con altre sorgenti e tipologie di rumore ambientale e mediante una differente selezione di finestre. Inoltre devono essere verificate le seguenti condizioni:

- $1.\,f_0>10$  /  $I_w$  , ovvero che alla frequenza di interesse devono trovarsi almeno 10 cicli significativi nella finestra selezionata.;
- 2.  $n_c = l_w$ .  $n_w$ .  $f_0 > 200$ , ossia che il numero di cicli significativi sia maggiore di 200;
- 3. un basso livello di scattering tra le finestre. Deviazioni standard troppo elevate sono riportabili a situazioni di scarsa stazionarietà ed alta perturbazione del segnale, quindi ad una bassa rappresentatività. Sono raccomandate deviazioni standard < 2 per f<sub>0</sub> > 0.5 Hz.

Nel migliore dei casi, la curva mostra un singolo picco 'netto', definibile in termini di ampiezza deviazione standard relativa ed assoluta.

In termini di ampiezza deve soddisfare le seguenti condizioni:

- 1. esistenza di una frequenza  $f^{-1}$  tra  $f_0/4$  ed  $f_0$  tale che  $A_0/A_{H/V}(f^{-1}) > 2$ ;
- 2. esistenza di un'altra frequenza  $f^+$ , compresa tra  $f_0$  e  $4f_0$ , tale che  $A_0$  /  $A_{H/V}$  ( $f^+$ ) > 2;
- 3.  $A_0 > 2$ .

Quindi se la curva H/V per un dato sito soddisfa almeno 5 di queste 6 condizioni, il valore di  $f_0$  è da considerarsi rappresentativo della frequenza fondamentale; se l'ampiezza di picco  $A_0$  è maggiore di 4 o 5, si può affermare con certezza che esiste una discontinuità ed un contrasto di velocità ad una qualche profondità.

### Bisogna infine verificare che:

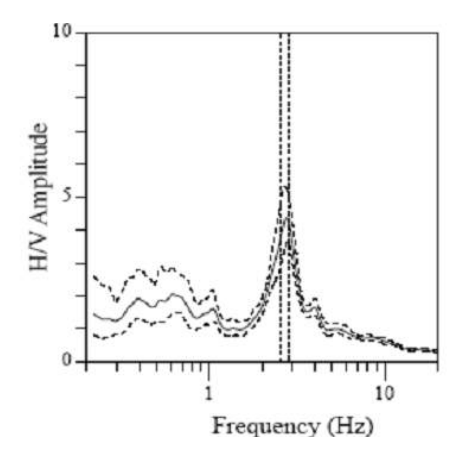
- 1. la frequenza f<sub>0</sub> è consistente con la frequenza di cut-off del sensore e con la sensitività;
- 2. il picco non ha origine industriale.

In basso si riporta un esempio di curva H/V, con picco 'netto' che soddisfa le condizioni di stabilità.









Window	Number of			statistics fro	m individu	ıal windows
length ໄພ [s]	wind ows n <sub>w</sub>	significant cycles n <sub>c</sub>	fo[Hz]	σ <sub>f</sub> [Hz]	A <sub>0</sub>	$\sigma_A(f_0)$
41	14	1561	2.72	0.11	4.4	1.2

Fig. 1-4 – Esempio di picco netto, da SESAME Del.23.12.

Non sempre la curva H/V mostra dei picchi netti. Talora sono poco chiari o allargati, e non soddisfano le condizioni sopra citate.

In questi casi sono imputabili a diversi fattori quali: un contrasto di impedenza moderato o alla bassa frequenza delle vibrazioni ambientali; condizioni di misura ventose e perturbate; un disaccoppiamento suolo-sensore; disturbi a bassa frequenza (camion, macchine a grande distanza); parametri di smoothing inadeguati; sensore a frequenza e sensitività troppo basse.







### 6.3 CURVA HVSR MISURATA E RISULTATI DELL'ANALISI

### File/Parametri

Passo temporale:	6.41026 ms
Numero di campioni:	280800
Istante finale:	1800.6 s
Numero di sotto-intervalli:	30
Finestra temporale:	60 s
Frequenza massima:	20 Hz
Numero di campioni:	50
Passo in frequenza:	0.4 Hz

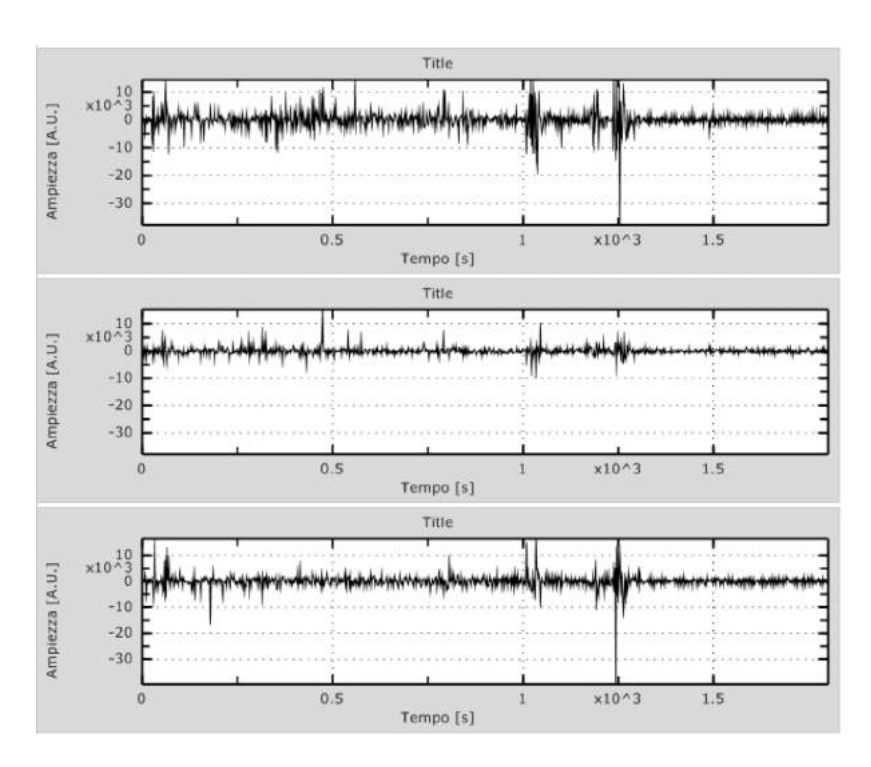


Fig. 2-4: Dati sperimentali in direzione Z (alto), N-S (centro) e E-W (basso).

Sulle finestre del segnale scelte, si sono effettuate altre operazioni di processing, prima di eseguire il calcolo dei rapporti spettrali. Si è proceduto all'analisi della curva e di seguito si riportano i risultati conseguiti.







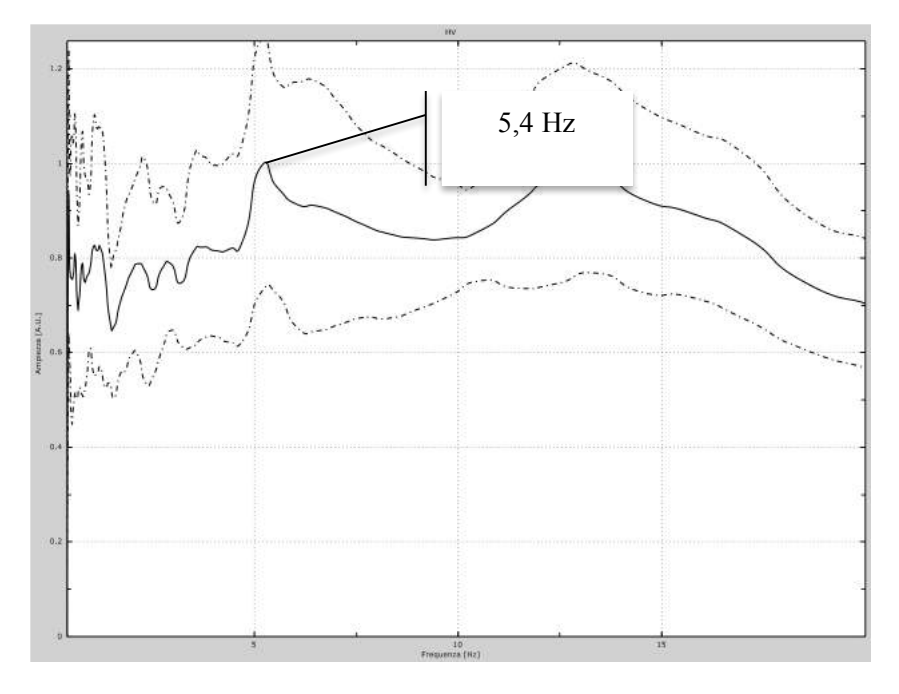


Fig. 3-4: Curva HVSR; Curva H/V sperimentale (nero).

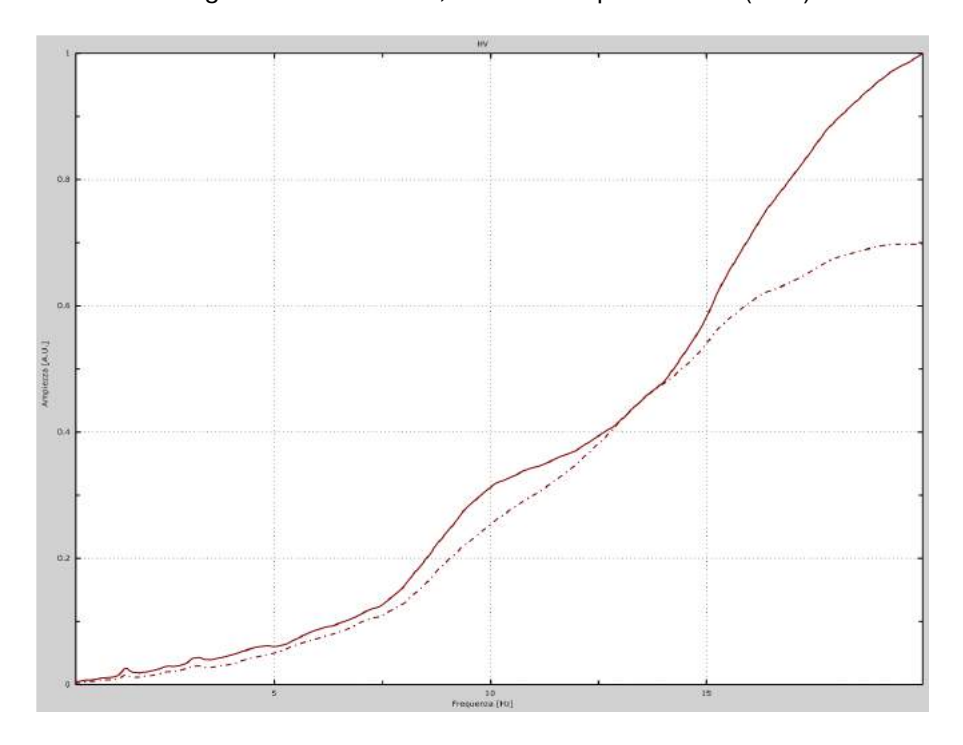


Fig.4-4 Spettro di risposta delle singole componenti: Orizzontale (linea tratteggiata) e Verticale (linea continua).







5,4 Hz
OK
OK
OK
NO
NO
NO
NO

Tabella 1: Esito dell'analisi del picco H/V principale del sito secondo le linee guida SESAME (2005).

Nella misura sono presenti n°1 picchi significativi dal punto di vista litostratigrafico (Fig. 3-4):

• **5,4 Hz**, con ampiezza nel rapporto H/V inferiore a 2 (Ampiezza); tale picco è ritenuto indicativo ai fini litostratigrafici, relativo ad un contatto stratigrafico compreso tra 10 e 20 m di profondità.







E' necessario porre estrema attenzione a <u>fenomeni di "doppia risonanza"</u>, cioè la corrispondenza tra le frequenze fondamentali del segnale sismico così come trasmesso in superficie e quelle dei manufatti ivi edificati in quanto le azioni sismiche su di essi sarebbero, a dir poco, gravose.

Dal punto di vista empirico, è noto che la frequenza di risonanza di un edificio è governata principalmente dall'altezza e può essere pertanto calcolata, in prima approssimazione, secondo la formula:

### freq. Naturale edificio ≈ 10 Hz / numero piani

E' la coincidenza di risonanza tra terreno e struttura:

 freq. naturale edificio ≈ freq. fondamentale di risonanza del sito
 ad essere particolarmente pericolosa, poiché da luogo alla massima amplificazione e deve quindi essere oggetto di studi approfonditi.

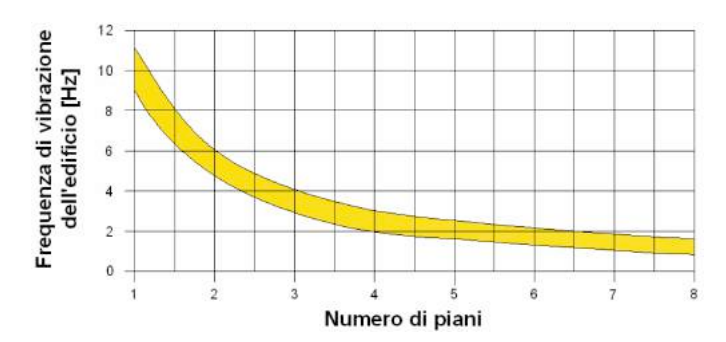


Fig.5-4 Grafico che mette in relazione la Freq. Di vibrazione dell'edificio con il numero di piani che possono oscillare.

**II Direttore Tecnico** 







### VERIFICA A LIQUEFAZIONE DEL SITO

### Andrus e Stokoe (1998)

Il 'metodo di Andrus e Stokoe' è basato sulle misure provenienti da prove sismiche a rifrazione, (Vs). La velocità delle onde di taglio viene corretta dalla sovrapressione, usando l'equazione (Robertson et alii, 1992):

$$V_{S1} = V_S \left(\frac{Pa}{\sigma_{vo}}\right)^{0.25}$$

dove

VS1 velocità delle onde di taglio corretta dalla sovrapressione;

VS velocità delle onde di taglio misurate in situ;

Pa pressione atmosferica (circa 100 kPa);

 $\sigma'_{VO}$  pressione effettiva iniziale nelle stesse unità di misura della Pa.

Per il calcolo della resistenza alla liquefazione, Andrus e Stokoe hanno proposto la seguente relazione:

CRR = 0.03 
$$\left(\frac{V_{S1}}{100}\right)^2 + 0.9 \left[\frac{1}{(V_{S1})_{cs} - V_{S1}} - \frac{1}{(V_{S1})_{cs}}\right]$$

dove la presenza di fini FC (%) interviene nel modello di calcolo tramite le seguenti indicazioni:

$$(V_{S1})_{CS} = 220$$
 per  $FC \le 5\%$ 

$$220 \le (V_{S1})_{CS} \le 200 \quad \text{per } 5\% \le FC \le 35\%$$

$$(V_{S1})_{CS} = 200$$
 per FC > 35%

Il Rapporto di Tensione Ciclica per eventi sismici di magnitudo 7,5 (**CSR**7,5) si determina dalla seguente espressione:

$$\frac{\tau_{\text{av}}}{\sigma_{\text{vo}}} = \text{CSR}_{7,5} = 0,65 \frac{a_{\text{max}}}{g} \frac{\sigma_{\text{vo}}}{\sigma_{\text{vo}}} r_{\text{d}}$$

dove  $a_{max}$  rappresenta l'accelerazione orizzontale massima attesa in superficie contenente gli effetti amplificativi di sito. Utilizzando le raccomandazioni del **NCEER**, per magnitudo diverse occorre introdurre il fattore correttivo **MSF** (Magnitudo Scaling Factor) (vedi Tabella 1)

$$CSR = \frac{CSR_{7,5}}{MSF}$$

Magnitudo	Seed H.B. & Idriss I.M. (1982)	Ambraseys N.N (1988).	NCEER (Seed R. B. et alii) (1997; 2003)
5,5	1,43	2,86	2,21
6,0	1,32	2,20	1,77
6,5	1,19	1,69	1,44
7,0	1,08	1,30	1,19
7,5	1,00	1,00	1,00
8,0	0,94	0,67	0,84
8,5	0,89	0,44	0,73

Tabella 1- Fattore di scala della magnitudo derivato da diversi ricercatori

Per determinare il valore del coefficiente riduttivo  $\mathbf{r_d}$  vengono utilizzate le formule raccomandate da un gruppo di esperti del NCEER (National Center for Earthquake Engineering Research):

per z < 9,15 m

$$r_d = 1.0 - 0.00765 z$$

per  $9,15 \le z < 23 \text{ m}$ 

$$r_d = 1,174 - 0,00267 z$$

Il fattore di sicurezza alla liquefazione FS viene determinato dalla relazione:

$$FS = \frac{CRR}{CSR}$$

mentre l'indice e il rischio di liquefazione vengono calcolati con il metodo di Iwasaki et alii (1978; 1984).

### **DATI GENERALI**

PROGETTO E LOCALIZZAZIONE Titolo lavoro: Verifica a liquefazione

Indirizzo, Coordinate: Pescara - conservatorio

Data 15/01/2019

Normativa: Norme Tecniche Costruzioni 2018, Decreto 17 Gen. 2018

Fattore sicurezza normativa 1.25

**FALDA** 

Profondità falda idrica 1 m

**DATI SIMICI** 

Accelerazione Bedrock 0.15

Tipo Suolo: C-Sabbie, ghiaie mediamente addensate, argille di media consistenza Vs30=180-360 Morfologia: T1-Superficie pianeggiante, pendii e rilievi isolati con inclinazione media i<=15°

Coefficiente amplificazione stratigrafica (SS) 1.5

Coefficiente amplificazione topografica (ST)1Magnitudo momento sismico (Mw)5.5Distanza epicentro30 KmPeak ground acceleration (PGA)0.225

### PARAMETRI GEOTECNICI

	Strato	Descrizi	Quota	Quota	Peso	Peso	Numero	D50	Resisten	Resisten	Velocità
	Nr	one	iniziale	finale	unià	unità	colpi	granuli	za qc	za attrito	onde di
			(m)	(m)	volume	volume	medio	(mm)	(KPa)	laterale	taglio Vs
					(KN/mc)	saturo	(Nspt)			fs	(m/s)
						(KN/mc)				(KPa)	
	1		0	2	15.7	18.6	6.6	0	0	0	209
	2		2	10	18.6	19.12	15.2	0	0	0	270
Ī	3		10	14	19.6	23.5	29.4	0	0	0	270
Ī	4		14	15	19.6	21	46.8	0	0	0	270

Frazione fine	Validità
(%)	
40	
35	Valido
82	Valido
96	Valido

Correzione per la magnitudo (MSF)

2.21

Profond ità dal p.c. (m)	ne litostati ca totale (KPa)	Pressio ne vertical e effettiv a (KPa)	à normali zzata Vs1 (m/s)	Valore critico di Vs1 (Vs1c) (m/s)	Coeffici ente riduttiv o (rd)	nza alla liquefaz ione (CRR)	zzato (CSR)	Coeffici ente di sicurezz a Fs	bilità di	di liquefaz ione	Rischio
1.20	19.420	17.459	323.328	200.000	0.991	0.302	0.073	4.14	Terreno non suscetti bile di liquefaz ione		Molto basso
1.40	23.140	19.217	315.663	200.000	0.989	0.287	0.079	3.64	Terreno non suscetti bile di liquefaz ione		Molto basso
1.60	26.860	20.976	308.827	200.000	0.988	0.273	0.084	3.27	Terreno non suscetti bile di liquefaz ione		Molto basso

1.00	20.500	22.52.5	202 (72	200.000	0.006	0.262	0.000	2.00	T	0.00	3 6 1
1.80	30.580	22.735	302.673	200.000	0.986	0.262	0.088	2.98	Terreno	0.00	Molto
									non suscetti		basso
									bile di		
									liquefaz		
									ione		
2.00	34.300	24 493	297.087	200.000	0.985	0.251	0.091	2.75	Terreno	0.00	Molto
2.00	21.200	21.195	277.007	200.000	0.902	0.201	0.051	2.75	non	0.00	basso
									suscetti		
									bile di		
									liquefaz		
									ione		
2.20	38.124	26.356	376.829	200.000	0.983	0.416	0.094	4.43	Terreno	0.00	Molto
									non		basso
									suscetti		
									bile di		
									liquefaz		
2.40	41.040	20.210	270 450	200.000	0.002	0.402	0.006	4 17	ione	0.00	3.6.1
2.40	41.948	28.219	370.450	200.000	0.982	0.402	0.096	4.17	Terreno	0.00	Molto
									non suscetti		basso
									bile di		
									liquefaz		
									ione		
2.60	45.772	30.081	364.577	200.000	0.980	0.389	0.099	3.94		0.00	Molto
_,,,									non		basso
									suscetti		
									bile di		
									liquefaz		
									ione		
2.80	49.596	31.944	359.142	200.000	0.979	0.377	0.100	3.75	Terreno	0.00	Molto
									non		basso
									suscetti		
									bile di		
									liquefaz		
3.00	53.420	22 907	354.090	200.000	0.977	0.366	0.102	2 50	ione Terreno	0.00	Molto
3.00	33.420	33.80/	334.090	∠00.000	0.977	0.300	0.102	3.38	non	0.00	basso
									suscetti		vasso
									bile di		
									liquefaz		
									ione		
3.20	57.244	35.669	349.373	200.000	0.976	0.356	0.103	3.44	Terreno	0.00	Molto
									non		basso
									suscetti		
									bile di		
									liquefaz		
									ione		
3.40	61.068	37.532	344.956	200.000	0.974	0.346	0.105	3.31	Terreno	0.00	Molto
									non		basso
									suscetti		

						1			4 14 41		
									bile di		
									liquefaz		
									ione		
3.60	64.892	39.395	340.804	200.000	0.972	0.338	0.106	3.19	Terreno	0.00	Molto
									non		basso
									suscetti		
									bile di		
									liquefaz		
									ione		
3.80	68.716	41.257	336.890	200.000	0.971	0.329	0.107	3.08	Terreno	0.00	Molto
									non		basso
									suscetti		
									bile di		
									liquefaz		
									ione		
4.00	72.540	43 120	333.192	200.000	0.969	0.322	0.108	2 08	Terreno	0.00	Molto
7.00	12.340	73.120	333.172	200.000	0.707	0.322	0.100	2.76	non	0.00	basso
									suscetti		vasso
									bile di		
									liquefaz		
									_		
4.20	76.264	44.002	220 (07	200 000	0.060	0.215	0.100	2.00	ione	0.00	M - 14 -
4.20	76.364	44.983	329.687	200.000	0.968	0.315	0.109	2.90		0.00	Molto
									non		basso
									suscetti		
									bile di		
									liquefaz		
									ione		
4.40	80.188	46.845	326.360	200.000	0.966	0.308	0.109	2.82	Terreno	0.00	Molto
									non		basso
									suscetti		
									bile di		
									liquefaz		
									ione		
4.60	84.012	48.708	323.194	200.000	0.965	0.302	0.110	2.74	Terreno	0.00	Molto
									non		basso
									suscetti		
									bile di		
									liquefaz		
									ione		
4.80	87.836	50.571	320.176	200.000	0.963	0.296	0.111	2.67	Terreno	0.00	Molto
									non		basso
									suscetti		
									bile di		
									liquefaz		
									ione		
5.00	91.660	52.433	317 294	200.000	0.962	0.290	0.111	2.61	Terreno	0.00	Molto
2.00	71.000	J 155	317.271		0.702	0.200	V.111	2.01	non	0.00	basso
									suscetti		04550
									bile di		
									liquefaz		
									_		
									ione		

### Conservatorio di musica "Luisa D'Annunzio"

5.20	95.484		314.537		0.960	0.284	0.112	2.55	non suscetti bile di liquefaz ione	0.00	Molto basso
5.40	99.308		311.896		0.959	0.279	0.112	2.49	Terreno non suscetti bile di liquefaz ione	0.00	Molto basso
5.60	103.132	58.021	309.362	200.000	0.957	0.274	0.112	2.44	Terreno non suscetti bile di liquefaz ione	0.00	Molto basso
5.80	106.956	59.884	306.928	200.000	0.956	0.270	0.113	2.39	Terreno non suscetti bile di liquefaz ione	0.00	Molto basso
6.00	110.780	61.747	304.586	200.000	0.954	0.265	0.113	2.34	Terreno non suscetti bile di liquefaz ione	0.00	Molto basso
6.20	114.604	63.609	302.332	200.000	0.953	0.261	0.113	2.30		0.00	Molto basso
6.40	118.428	65.472	300.158	200.000	0.951	0.257	0.114	2.26		0.00	Molto basso
6.60	122.252	67.335	298.060	200.000	0.950	0.253	0.114	2.22	Terreno non suscetti bile di liquefaz ione	0.00	Molto basso
6.80	126.076	69.197	296.034	200.000	0.948	0.249	0.114	2.18	Terreno non suscetti	0.00	Molto basso

### Conservatorio di musica "Luisa D'Annunzio"

	I I		Ī								
									bile di		
									liquefaz		
									ione		
7.00	129.900	71.060	294.075	200.000	0.946	0.245	0.114	2.15	Terreno	0.00	Molto
									non		basso
									suscetti		
									bile di		
									liquefaz		
7.20	122.724	72.022	202 170	200.000	0.045	0.242	0.115	2.11	ione	0.00	N ( 1)
7.20	133.724	72.923	292.178	200.000	0.945	0.242	0.115	2.11	Terreno	0.00	Molto
									non		basso
									suscetti bile di		
									liquefaz		
									ione		
7.40	137.548	74 785	290.342	200,000	0.943	0.238	0.115	2.08		0.00	Molto
7.40	137.346	74.763	290.342	200.000	0.543	0.238	0.113	2.08	non	0.00	basso
									suscetti		vasso
									bile di		
									liquefaz		
									ione		
7.60	141.372	76.648	288.562	200.000	0.942	0.235	0.115	2.05		0.00	Molto
									non		basso
									suscetti		
									bile di		
									liquefaz		
									ione		
7.80	145.196	78.511	286.835	200.000	0.940	0.232	0.115	2.02	Terreno	0.00	Molto
									non		basso
									suscetti		
									bile di		
									liquefaz		
0.00	1.40.020	00.272	205 150	200.000	0.020	0.000	0.115	1.00	ione	0.00	3.5.1.
8.00	149.020	80.373	285.158	200.000	0.939	0.229	0.115	1.99		0.00	Molto
									non		basso
									suscetti bile di		
									liquefaz		
									ione		
8 20	152.844	82 236	283.529	200.000	0.937	0.226	0.115	1.96		0.00	Molto
0.20	132.011	02.230	203.32)	200.000	0.737	0.220	0.113	1.70	non	0.00	basso
									suscetti		ousso
									bile di		
									liquefaz		
									ione		
8.40	156.668	84.099	281.946	200.000	0.936	0.223	0.115	1.94	Terreno	0.00	Molto
									non		basso
									suscetti		
									bile di		
									liquefaz		
									ione		

8.60	160.492	85.961	280.406	200.000	0.934	0.220	0.115	1.91	Terreno non suscetti	0.00	Molto basso
									bile di liquefaz ione		
8.80	164.316	87.824	278.908	200.000	0.933	0.217	0.115	1.89		0.00	Molto
									non		basso
									suscetti		
									bile di liquefaz		
									ione		
9.00	168.140	89.687	277.448	200.000	0.931	0.215	0.115	1.86	Terreno	0.00	Molto
									non		basso
									suscetti		
									bile di		
									liquefaz ione		
9.20	171.964	91.549	276.026	200.000	0.928	0.212	0.115	1.84	Terreno	0.00	Molto
									non		basso
									suscetti		
									bile di		
									liquefaz ione		
9.40	175.788	93.412	274.640	200.000	0.923	0.210	0.115	1.83	Terreno	0.00	Molto
									non		basso
									suscetti		
									bile di		
									liquefaz ione		
9.60	179.612	95.275	273.287	200.000	0.918	0.207	0.114	1.81	Terreno	0.00	Molto
									non		basso
									suscetti		
									bile di		
									liquefaz ione		
9.80	183.436	97.137	271.968	200.000	0.912	0.205	0.114	1.80	Terreno	0.00	Molto
	22.700	/			2.2.2	00	·		non	2.00	basso
									suscetti		
									bile di		
									liquefaz ione		
10 00	187.260	99.000	270.679	200.000	0.907	0.203	0.113	1.79	Terreno	0.00	Molto
10.00		, ,	0.0,7		3.501	3.203	5.115	2.,,	non	0.00	basso
									suscetti		
									bile di		
									liquefaz ione		
10 20	191.960	101.739	268.839	200.000	0.902	0.199	0.112	1.77	Terreno	0.00	Molto
10.20	171.700	101.107	200.037	200.000	0.702	0.177	0.112	1.77	non	0.00	basso
									suscetti		

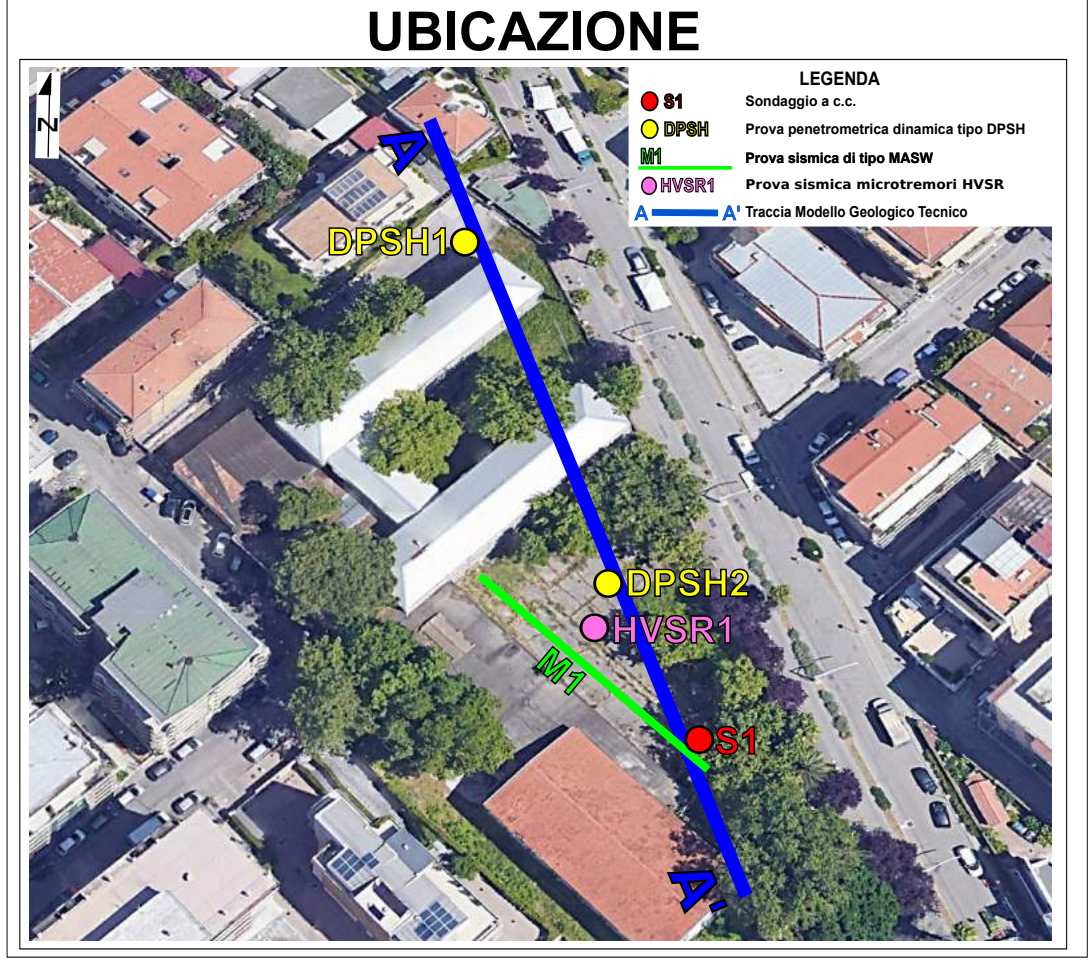
										1 '1 1'		
										bile di		
										liquefaz		
1.0	10	106 660	104 479	267.060	200,000	0.806	0.196	0.112	1 76	ione Terreno	0.00	Molto
10	).40	190.000	104.478	207.000	200.000	0.896	0.190	0.112	1.70		0.00	
										non		basso
										suscetti bile di		
										liquefaz		
										ione		
10	60	201 360	107 216	265.338	200 000	0.891	0.193	0.111	1.74	Terreno	0.00	Molto
10	7.00	201.500	107.210	203.330	200.000	0.071	0.175	0.111	1.71	non	0.00	basso
										suscetti		2 112 2 2
										bile di		
										liquefaz		
										ione		
10	08.0	206.060	109.955	263.670	200.000	0.886	0.190	0.110	1.73	Terreno	0.00	Molto
										non		basso
										suscetti		
										bile di		
										liquefaz		
	0.0	210.760	112 (04	262.052	200.000	0.000	0.105	0.100	1.70	ione	0.00	3.6.1.
1.1	.00	210.760	112.694	262.053	200.000	0.880	0.187	0.109	1.72	Terreno	0.00	Molto
										non		basso
										suscetti bile di		
										liquefaz		
										ione		
11	20	215 460	115 432	260.485	200 000	0.875	0.184	0.108	1.71	Terreno	0.00	Molto
										non		basso
										suscetti		
										bile di		
										liquefaz		
										ione		
11	.40	220.160	118.171	258.962	200.000	0.870	0.181	0.107	1.69	Terreno	0.00	Molto
										non		basso
										suscetti		
										bile di		
										liquefaz		
1.1	(0	224.960	120.010	257.402	200.000	0.064	0.170	0.106	1.60	ione	0.00	N ( - 14 -
11	.00	224.80U	120.910	257.483	∠00.000	0.864	0.179	0.106	1.08	Terreno	0.00	Molto basso
										non suscetti		basso
										bile di		
										liquefaz		
										ione		
11	.80	229.560	123.648	256.045	200.000	0.859	0.176	0.105	1.67	Terreno	0.00	Molto
										non		basso
										suscetti		
										bile di		
										liquefaz		
										ione		

12.00	234.260	126.387	254.647	200.000	0.854	0.174	0.105	1.66	Terreno non suscetti bile di	0.00	Molto basso
									liquefaz		
12 20	238.960	129 126	253 286	200 000	0.848	0.171	0.104	1.65	ione Terreno	0.00	Molto
12.20	250.500	129.120	233.200	200.000	0.010	0.171	0.101	1.03	non	0.00	basso
									suscetti		
									bile di liquefaz		
									ione		
12.40	243.660	131.864	251.960	200.000	0.843	0.169	0.103	1.64	Terreno non	0.00	Molto basso
									suscetti		vasso
									bile di		
									liquefaz		
12.60	248.360	134.603	250.669	200.000	0.838	0.166	0.102	1.63	ione Terreno	0.00	Molto
									non		basso
									suscetti		
									bile di liquefaz		
									ione		
12.80	253.060	137.342	249.410	200.000	0.832	0.164	0.101	1.62	Terreno	0.00	Molto
									non suscetti		basso
									bile di		
									liquefaz		
12.00	257.760	140.000	249 192	200.000	0.827	0.162	0.101	1.61	ione Terreno	0.00	Molto
13.00	237.700	140.080	240.102	200.000	0.827	0.102	0.101	1.01	non	0.00	basso
									suscetti		
									bile di		
									liquefaz ione		
13.20	262.460	142.819	246.983	200.000	0.822	0.159	0.100	1.60	Terreno	0.00	Molto
									non		basso
									suscetti bile di		
									liquefaz		
									ione		
13.40	267.160	145.558	245.813	200.000	0.816	0.157	0.099	1.59	Terreno	0.00	Molto basso
									non suscetti		vasso
									bile di		
									liquefaz		
13 60	271.860	148.296	244.670	200.000	0.811	0.155	0.098	1.58	ione Terreno	0.00	Molto
15.00	2,1.000	C. <b>_</b>			0.011	0.100	0.070	1.50	non	0.00	basso
									suscetti		

	ı		1								
									bile di		
									liquefaz		
									ione		
13.80	276.560	151.035	243.554	200.000	0.806	0.153	0.098	1.57	Terreno	0.00	Molto
									non		basso
									suscetti		
									bile di		
									liquefaz		
									ione		
14 00	281.260	153 774	242.462	200 000	0.800	0.151	0.097	1.56	Terreno	0.00	Molto
1 1.00	201.200	100.771	2 12.102	200.000	0.000	0.101	0.057	1.50	non	0.00	basso
									suscetti		04330
									bile di		
									liquefaz		
									ione		
14.20	285.460	156 012	241 597	200.000	0.795	0.149	0.096	1 55	Terreno	0.00	Molto
14.20	203.400	130.012	241.367	200.000	0.793	0.149	0.090	1.33		0.00	basso
									non		basso
									suscetti		
									bile di		
									liquefaz		
14.40	200 ((0	150 251	240.720	200.000	0.700	0.147	0.006	1 5 4	ione	0.00	M - 14 -
14.40	289.660	158.251	240.728	200.000	0.790	0.147	0.096	1.54		0.00	Molto
									non		basso
									suscetti		
									bile di		
									liquefaz		
1.1.60	202.060	1.60.100	222 224	• • • • • • •	0.704	0.446	0.00.	1.50	ione	0.00	3.5.1
14.60	293.860	160.490	239.884	200.000	0.784	0.146	0.095	1.53	Terreno	0.00	Molto
									non		basso
									suscetti		
									bile di		
									liquefaz		
									ione		
14.80	298.060	162.728	239.055	200.000	0.779	0.144	0.094	1.53	Terreno	0.00	Molto
									non		basso
									suscetti		
									bile di		
									liquefaz		
									ione		
15.00	302.260	164.967	238.240	200.000	0.774	0.142	0.094	1.52	Terreno	0.00	Molto
									non		basso
									suscetti		
									bile di		
									liquefaz		
									ione		

IPL (Iwasaki) = 0 Zcrit= 20 m Rischio = Molto basso

# UBICAZIONE DELLE INDAGINI DOCUMENTAZIONE FOTOGRAFICA MODELLO GEOLOGICO TECNICO PARAMETRI SISMICI



### **DOCUMENTAZIONE FOTOGRAFICA**







### PARAMETRI SISMICI

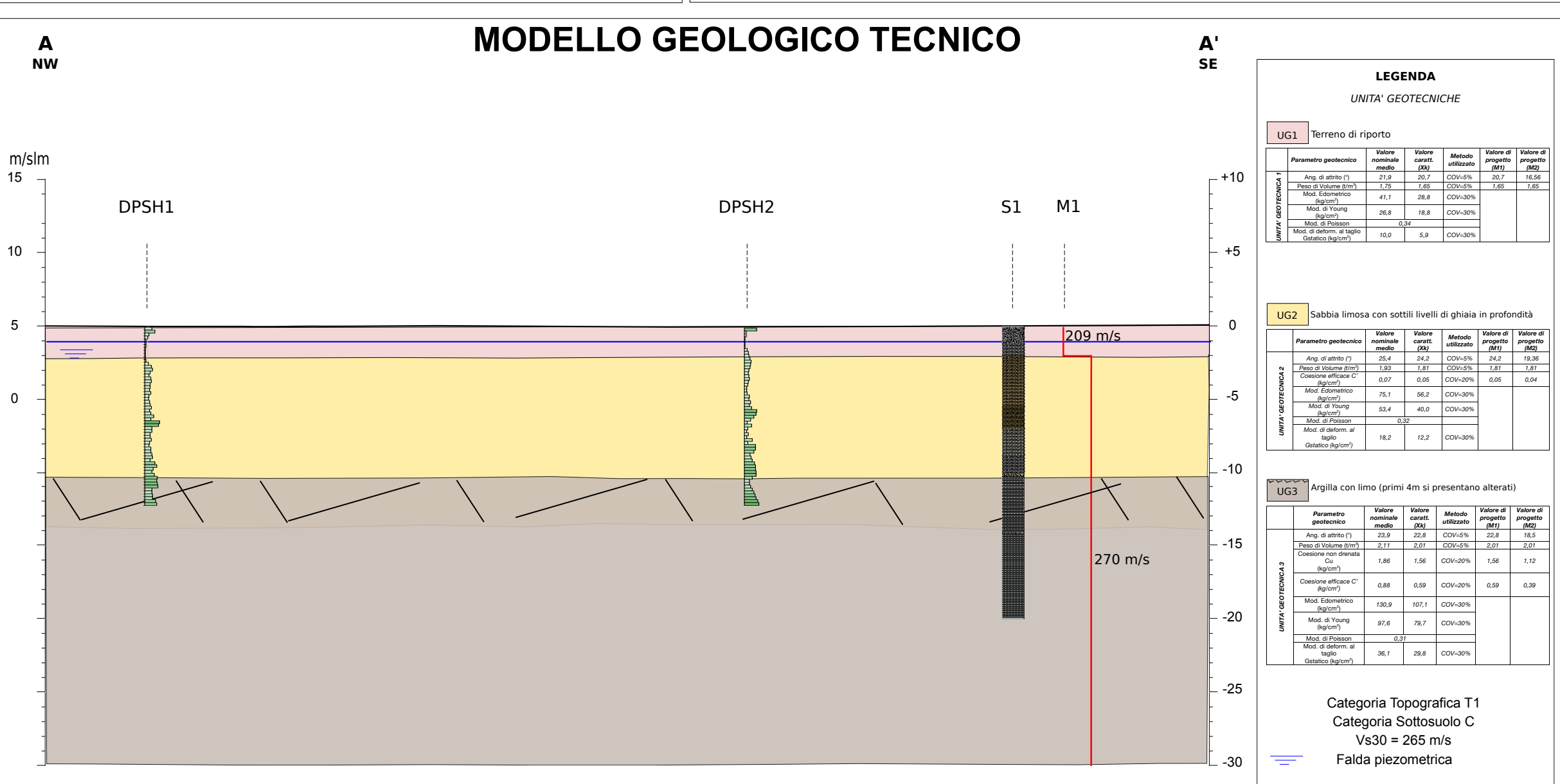
**AURELI SOIL** Srl





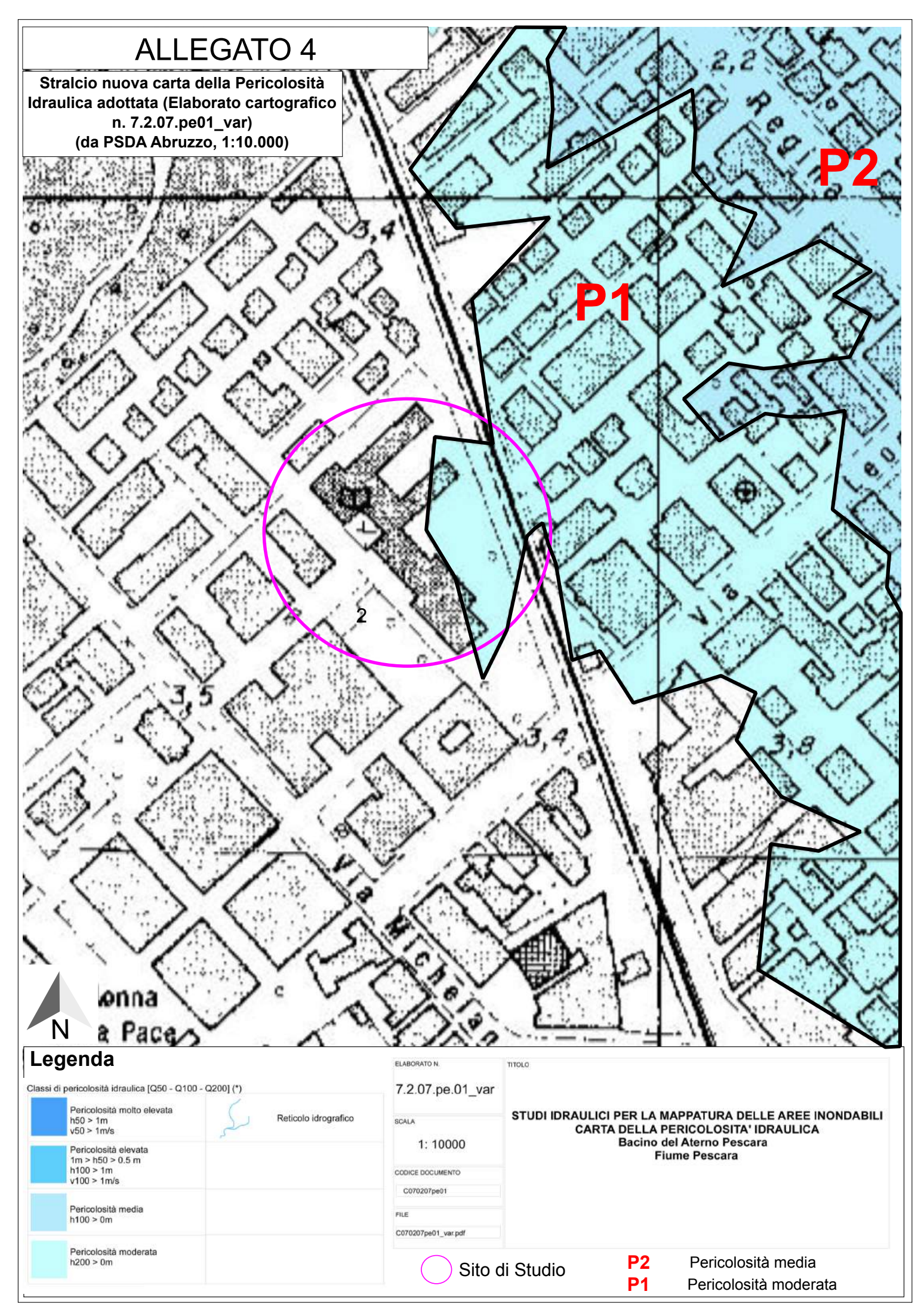
		Probabilità di superamento (%)	Tr (anni)	Ag (g)	Fo	Tc* (s)
	SLO Operatività	81	30	0,045	2,471	0,284
SE	SLD Danno	63	50	0,056	2,475	0,310
•	SLV Salvaguardia della vita	10	475	0,135	2,519	0,367
SEO.	SLC Prevenzione dal collasso	5	975	0,175	2,516	0,386

	Ss	Cc	St	Kh	Kv	Amax	Beta
	(-)	(-)	(-)	(-)	(-)	(-)	(-)
SLO	1,500	1,590	1,000	0,013	0,007	0,655	0,200
SLD	1,500	1,550	1,000	0,017	0,008	0,817	0,200
SLV	1,500	1,460	1,000	0,049	0,024	1,991	0,240
SLC	1,440	1,440	1,000	0,060	0,030	2,469	0,240



pag. 92 di 145

## Stralcio nuova carta della Pericolosità adottata (elaborato n. 7.2.07.pe.01\_var)



### **RELAZIONE SISMICA**

### RELAZIONE SISMICA

1	PREMESSA	97
2	QUADRO NORMATIVO DI RIFERIMENTO	97
3	CARATTERIZZAZIONE SISMICA DI SITO	97
3.1	Valutazione 'pericolosità sismica'	97
3.2	Valutazione del parametro Tempo di ritorno - Tr	98
3.3	Probabilità di superamento dello stato limite richiesto	99
3.4	Definizione della terna di valori $a_g$ , $F_0$ , $T^*_{\text{c}}$	99
3.5	Effetto della risposta sismica locale	99
4	CARATTERIZZAZIONE SISMICA DELLE STRUTTURE	. 100
5	SPETTRI DI PROCETTO	100

### 1 PREMESSA

Il presente lavoro è stato redatto su incarico del **Comune di Pescara**, per il progetto dal titolo: "Lavori di ristrutturazione e ampliamento volti al recupero del fabbricato ex scuola Muzii di Via Saffi, ad uso del conservatorio L. D'Annunzio di Viale Bovio-Viale Muzii".

.

Zona sismica	III
Classe uso (Cu)*	II -> 1,0
Vita nominale*	50 anni
Lat. (ED50)	N 42,476238
Long. (ED50)	E 14,202725

<sup>\*</sup>Come indicato dal progettista

### 2 QUADRO NORMATIVO DI RIFERIMENTO

Risultano vigenti le seguenti norme:

- DM 17/01/2018 'Norme tecniche delle costruzioni (NTC)'
- OPCM n°3274 del 20.03.2003
- Eurocodici in versione normata UNI
- LR n°28/2011 (aggiornamento aprile 2016)
- DGR n° 1009 del 29.10.2008

### 3 CARATTERIZZAZIONE SISMICA DI SITO

### 3.1 Valutazione 'pericolosità sismica'

Le azioni sismiche di progetto sono state definite in primo luogo dalla valutazione della "pericolosità sismica di base" riferita al sito di costruzione.

La normativa adottata (D.M. 17/01/18 Testo Unico – Norme tecniche per le costruzioni) suddivide il territorio nazionale in un reticolo di punti di coordinate geografiche assegnate.

Per ogni punto del reticolo vengono assegnate le 9 terne di valori:

$$a_0 F_0 T^*_c$$

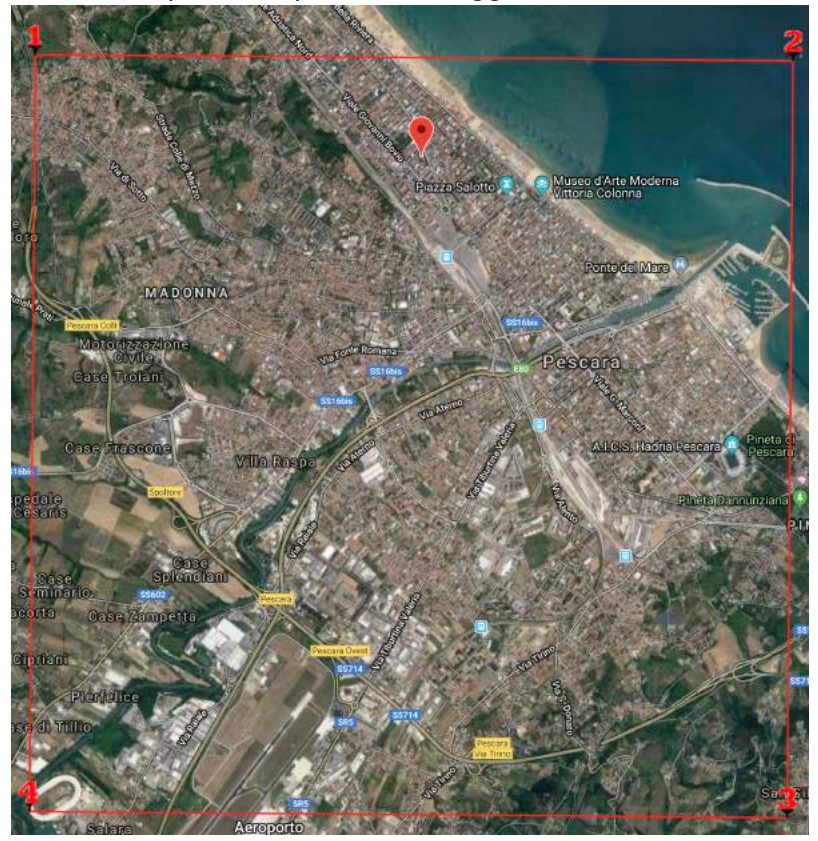
per i periodi di ritorno (Tr) di riferimento dove:

a<sub>g</sub> è l'accelerazione massima al sito su suolo di riferimento rigido;

**F**<sub>0</sub> è il valore massimo del fattore di amplificazione dello spettro in accelerazione orizzontale;

T\*<sub>c</sub> è il periodo d'inizio del tratto a velocità costante dello spettro in accelerazione orizzontale.

La posizione geografica di riferimento del sito rientra all'interno di una specifica quaterna di punti notevoli del reticolo; interpolando i valori si ottengono le terne di valori per i periodi di ritorno di riferimento specifiche per il sito in oggetto.



Sito 1 ID: 25873 Lat: 42,4830 Lon: 14,1682 Distanza: 2934,005

Sito 2 ID: 25874 Lat: 42,4826 Lon: 14,2359 Distanza: 2814,554

Sito 3 ID: 26096 Lat: 42,4326 Lon: 14,2354 Distanza: 5541,805

Sito 4 ID: 26095 Lat: 42,4330 Lon: 14,1676 Distanza: 5601,185

Fig.1 Nodi di riferimento intorno al sito

### 3.2 Valutazione del parametro Tempo di ritorno - Tr

La scelta del periodo di ritorno da utilizzare, sono da valutare due fattori: la valutazione del **periodo di riferimento** (**Vr**) e la probabilità di superamento dello stato limite di progetto, in altre parole la richiesta prestazionale che la struttura deve soddisfare.

Dove il **periodo di riferimento (Vr)** dell'evento sismico (par. 2.4.3. – NTC18) è dato dal prodotto della **vita nominale (Vn)** e il **coefficiente d'uso (Cu)**: **Vr = Vn x Cu** 

$$Vr = 50 \times 1,0 = 50 \text{ anni}$$

### 3.3 Probabilità di superamento dello stato limite richiesto

Gli stati limite della struttura sono raccolti nella successiva tabella suddivisa per stati limite di esercizio e stati limite ultimi.

Nelle NTC18, al Cap. 7.1 sotto l'effetto dell'azione sismica si considerano rispettati tutti gli stati limite di esercizio, qualora sia rispettato il solo **SLD**.

Per le verifiche in termini di stati limite ultimi è sufficiente rispettare il solo SLV.

### 3.4 Definizione della terna di valori a<sub>g</sub>, F<sub>0</sub>, T\*<sub>c</sub>

In ultima analisi, le scelte progettuali introdotte ai due paragrafi precedenti, definiscono la massima accelerazione orizzontale al sito su suolo di riferimento rigido.

		Probabilità di superamento (%)	Tr (anni)	Ag (g)	Fo	Tc* (s)
	SLO Operatività	81	30	0,045	2,471	0,284
SLE	SLD Danno	63	50	0,056	2,475	0,310
ם	SLV Salvaguardia della vita	10	475	0,135	2,519	0,367
NTS	SLC Prevenzione dal collasso	5	975	0,175	2,516	0,386

### 3.5 Effetto della risposta sismica locale

Occorre valutare le condizioni geomorfologiche del sito che su cui si sviluppa l'opera, vengono per tanto individuati due parametri amplificativi dell'azione sismica, riferiti al sottosuolo ed alla configurazione topografica del sito.

Categoria di sottosuolo	С

Categoria topografia	T1

	Ss	Сс	St	Kh	Kv	Amax	Beta
	(-)	(-)	(-)	(-)	(-)	(-)	(-)
SLO	1,500	1,590	1,000	0,013	0,007	0,655	0,200
SLD	1,500	1,550	1,000	0,017	0,008	0,817	0,200
SLV	1,500	1,460	1,000	0,049	0,024	1,991	0,240
SLC	1,440	1,440	1,000	0,060	0,030	2,469	0,240

Dalle suddette categorie vengono definiti sia il coefficiente di amplificazione stratigrafica correlato alla categoria di sottosuolo (Ss) che il coefficiente di amplificazione topografica, correlato alla configurazione topografica del sito (St).

### 4 CARATTERIZZAZIONE SISMICA DELLE STRUTTURE

Vista l'elevata rigidezza della struttura si considera che il movimento del terreno venga trasmesso alla struttura senza subire sfasamenti, altresì si considera un periodo proprio di oscillazione delle strutture prossimo allo 0. Per questo motivo, ed in accordo con la normativa tecnica adottata, il comportamento della struttura sotto l'effetto sismico non prende in conto i parametri  ${\bf q}$  (fattore di duttilità della tipologia struttura) e  ${\bf \xi}$  (fattore di duttilità funzione del materiale), in quanto tali parametri influenzano la risposta sismica solo nel caso in cui un opera può oscillare con un proprio periodo diverso da quello del suolo ('T' > 0).

Per completezza nella trattazione, ed ai fini della redazione dello spettro di progetto utilizzato i due valori precedenti vengono posti in una configurazione di default, rispettivamente pari a 1 e 5%.

### 5 SPETTRI DI PROGETTO

Lo spettro di progetto utilizzato ha come ipotesi alla base:

- Smorzamento ξ non considerato (Posto pari a 5%)
- Fattore di struttura componenti orizzontali non considerato (Posto pari a 1)
- Fattore di struttura componenti verticali posto pari a 1





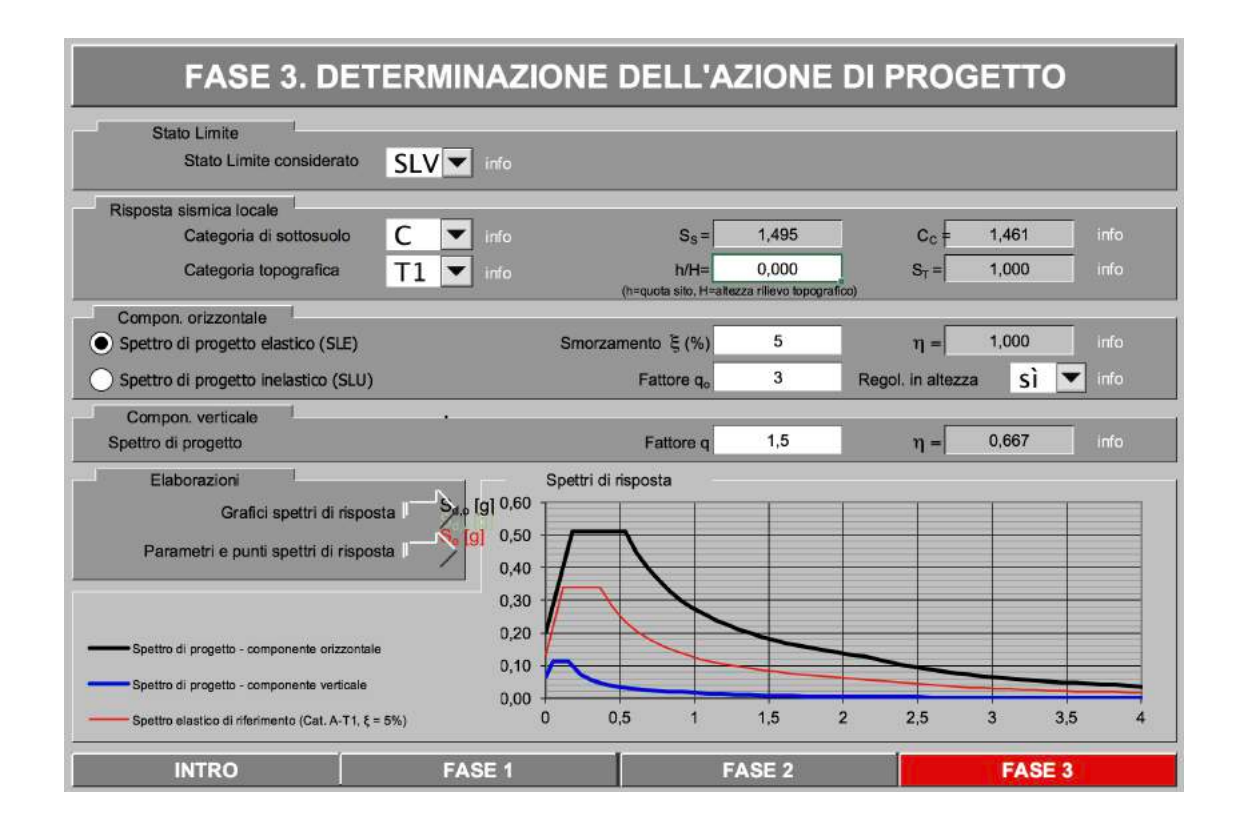


Fig.2 Fase 1,2,3 determinazione azione di progetto (Spettri-NTCver.1.0.3.xls)

### Parametri e punti dello spettro di risposta orizzontale per lo stato limite: Parametri indipendenti Punti dello spettro di risposta STATO LIMITE SLV T [s] 0,135 g 0,000 2.519 0,179 0.510 0,367 s 0.537 0.510 1,495 0,613 0,446 0,397 1.000 0.766 0.357 1,000 0.842 0.325 0,919 0,298 0,995 0,275 Parametri dipendenti 1,071 0,255 1,495 1,148 0.238 1,000 1,224 0,223 0,179 s 1,301 0,210 0,537 s 2,141 s 1,454 0,188 1,530 0,179 1,606 0,170 Espressioni dei parametri dipendenti 0,163 1,759 0,156 (NTC-08 Eq. 3.2.5) $S = S_S \cdot S_T$ 1.836 0,143 1,912 $\eta = \sqrt{10/(5+\xi)} \ge 0.55; \ \eta = 1/q$ (NTC-08 Eq. 3.2.6; §. 3.2.3.5) 0,138 2.065 0.132 (NTC-07 Eq. 3.2.8) 2,141 0,128 $T_B = T_C/3$ 2,230 0.118 (NTC-07 Eq. 3.2.7) 2,318 $T_C = C_C \cdot T_C^*$ 0,109 0,101 (NTC-07 Eq. 3.2.9) $T_D = 4.0 \cdot a_g / g + 1.6$ 2,495 0.094 2,584 0,088 0,082 2,672 Espressioni dello spettro di risposta (NTC-08 Eq. 3.2.4) 0,077 2,761 2,849 0.072 $0 \le T < T_B \quad S_e(T) = a_g \cdot S \cdot \eta \cdot F_o \cdot \left[ \frac{T}{T_B} + \frac{1}{\eta \cdot F_o} \left( 1 - \frac{T}{T_B} \right) \right]$ 2.938 0.068 3,026 0,064 3,115 0,060 3,203 0,057 3.292 0.054 $T_{C} \leq T < T_{D} \quad S_{\epsilon}(T) = a_{\epsilon} \cdot S \cdot \eta \cdot F_{o} \cdot \left(\frac{T_{C}}{T}\right)$ 3,380 0.051 3,469 0,049 3,557 0,046 $S_e(T) = a_g \cdot S \cdot \eta \cdot F_o \cdot \left(\frac{T_C T_D}{T^2}\right)$

La verifica dell'idoneità del programma, l'utilizzo dei risultati da esso ottenuti sono onere e responsabilità esclusiva dell'utente. Il Consiglio Superiore dei Lavori Pubblici non potrà essere ritenuto responsabile dei danni risultanti dall'utilizzo dell

Lo spettro di progetto  $S_{t}(T)$  per le verifiche agli Stati Limite Ultimi è

ottenuto dalle espressioni dello spettro elastico  $S_e(T)$  sostituendo  $\eta$  con 1/q, dove q è il fattore di struttura. (NTC-08 § 3.2.3.5)

Fig.3 Parametri e punti dello spettro di risposta orizzontale per lo stato limite SLV

3,646

3.734

3,823

3,911

4,000

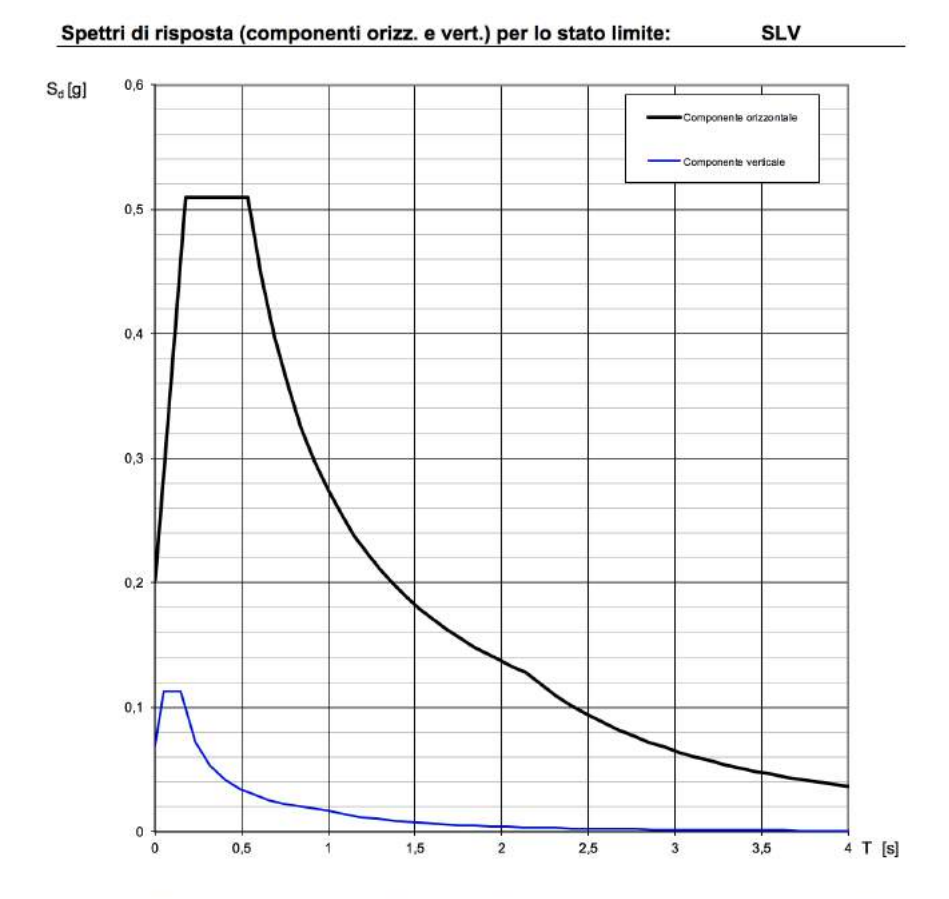
0.044

0.042

0,040

0,038

0,037



La verifica dell'idoneità del programma, l'utilizzo dei risultati da esso ottenuti sono onere e responsabilità esclusiva dell'utente. Il Consiglio Superiore dei Lavori Pubblici non potrà essere ritenuto responsabile dei danni risultanti dall'utilizzo dello stesso.

Fig.4 Spettri di risposta delle componenti orizzontali e verticali per lo stato limite SLV

Gioia dei Marsi (AQ)

Gennaio 2019

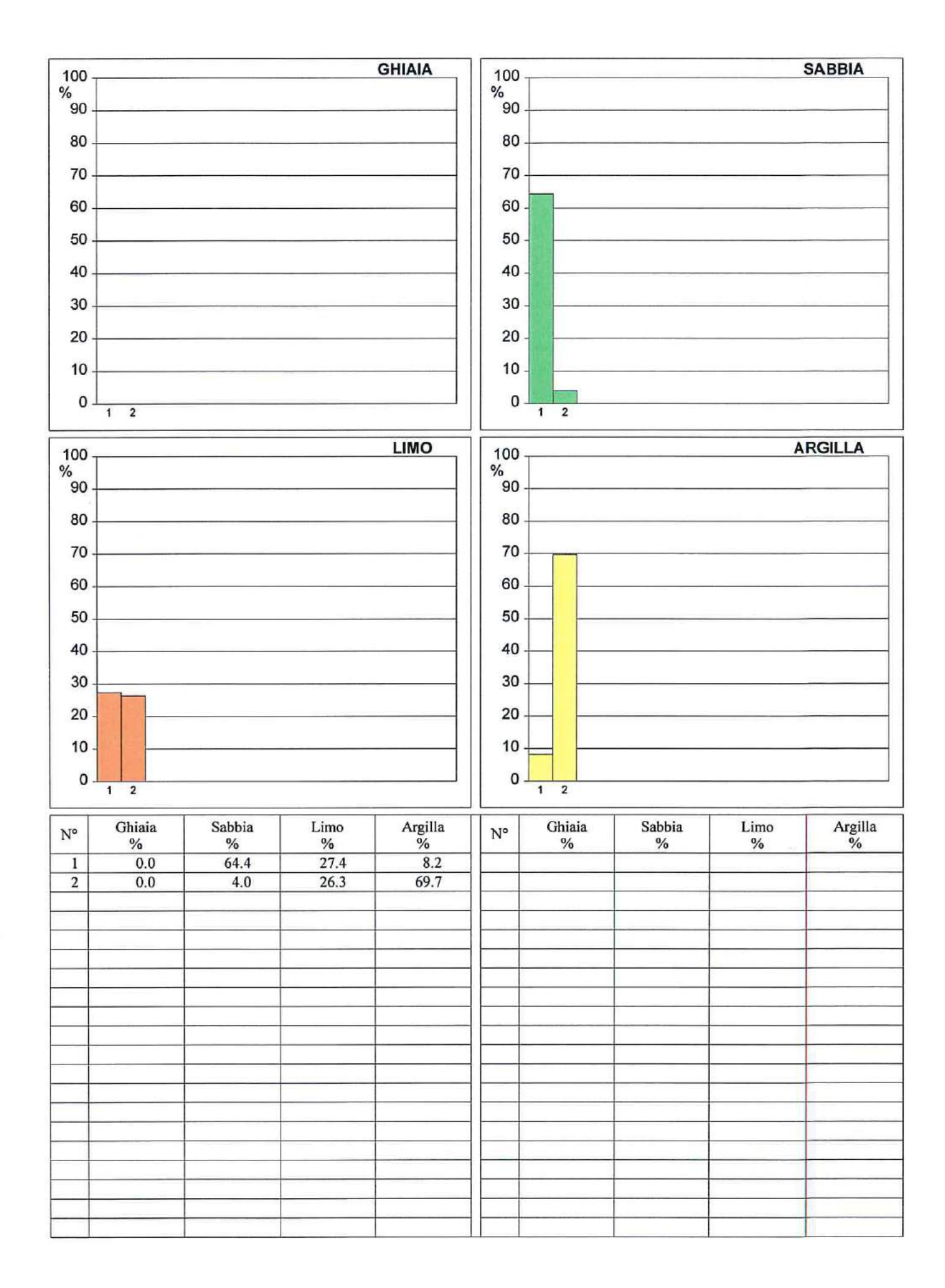
Dott. Michele Aureli

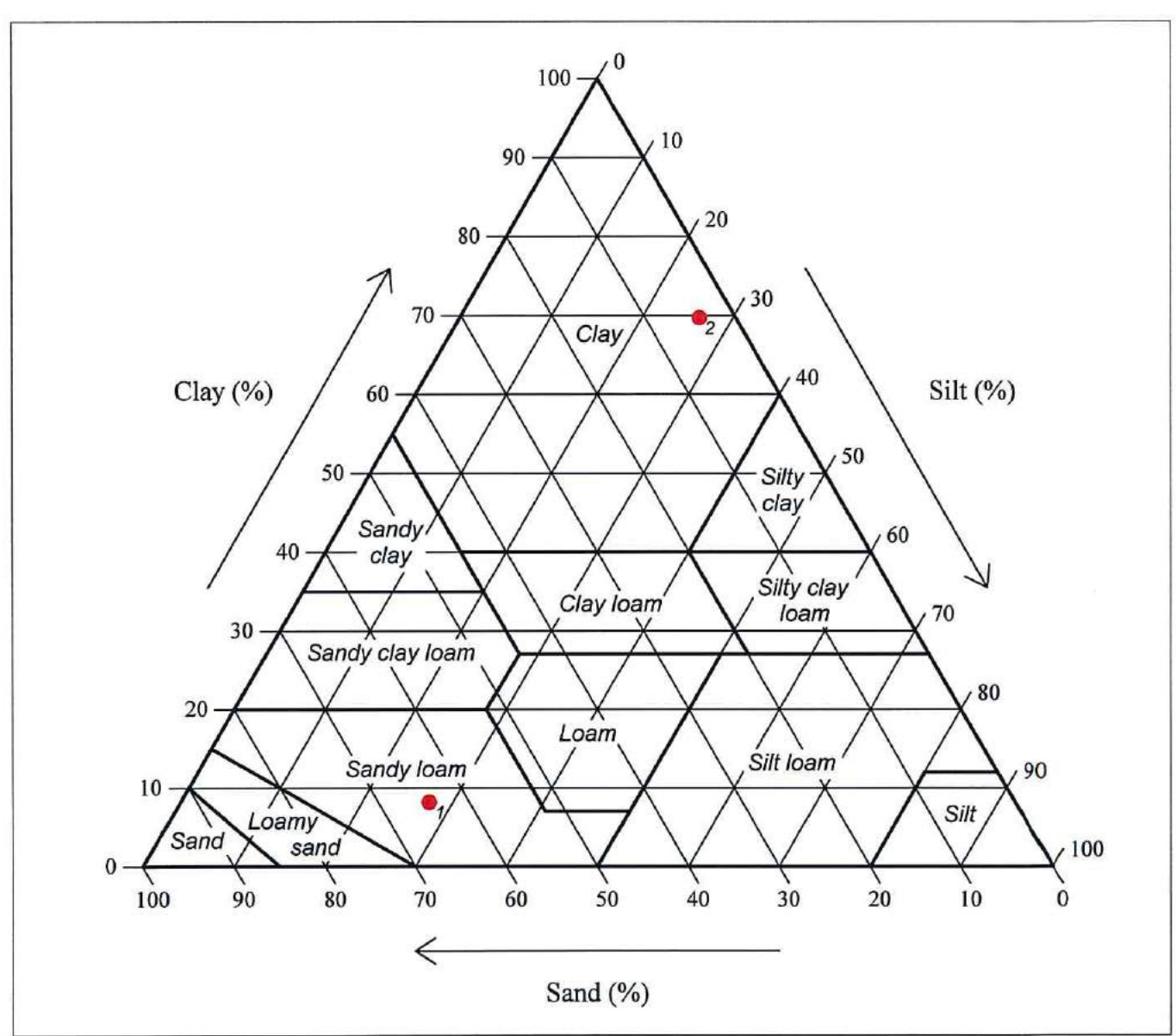
### **ALLEGATO 5**

### **CERTIFICATI DI LABORATORIO**

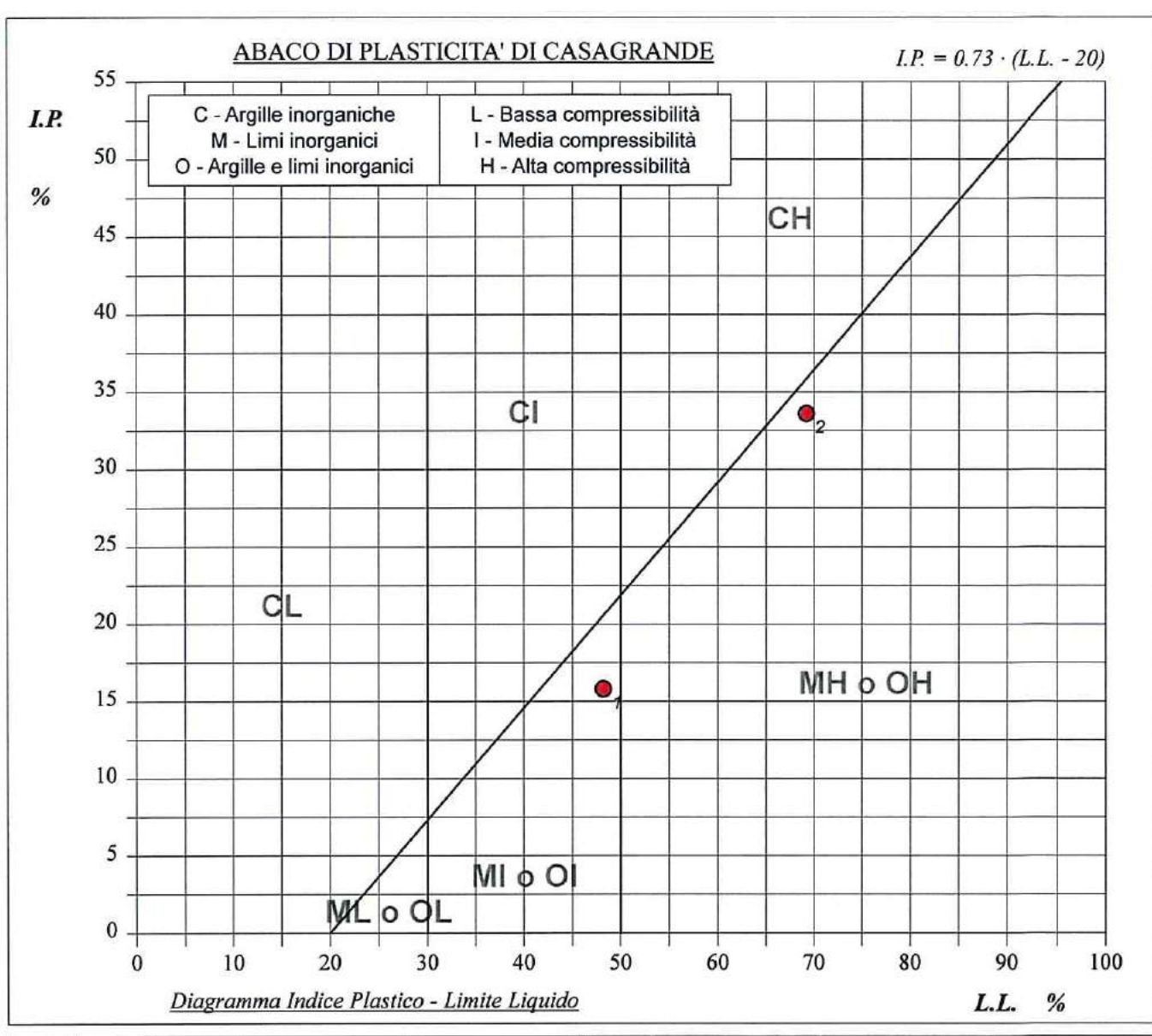
### QUADRO RIASSUNTIVO PROVE GEOTECNICHE DI LABORATORIO

	Rife	rimento	Caratteristiche fisiche						Limiti di consistenza				Granulometria				Taglio	diretto	Edometrica							
Sond.	Camp.	Profondità m	W %	γ kN/m³	Ysec kN/m²	Ysat kN/m³	γs kN/m³	Indice vuoti	Poros.	Sat. %	LL %	LP %	IP %	IC %	LR %	Ghiaia %	Sabbia %	Limo %	Argilla %	å	C kPa	24.5 kPa	49.0 kPa	98.0 kPa	196.0 kPa	392.0 kPa
SI	C1	1.50 - 2.00	26.5	18.9	15.0	19.2	26.4	0.77	43.4	93.1	48.2	32.4	15.8	1.37	19.8		64.4	27.4	8.2	27.5	7	3010	2792	2840	4182	7906
S1	C2	14.50 - 15.00	19.0	19.3	16.2	20.1	26.7	0.65	39.2	80.1	69.2	35.6	33.6	1.49	14.7		4.0	26.3	69.7	20.2	87		5076	6298	7644	10542





Nº	Ghiaia %	Sabbia %	Limo %	Argilla %	N°	Ghiaia %	Sabbia %	Limo %	Argilla %
1	0.0	64.4	27.4	8.2					
2	0.0	4.0	26.3	69.7					
1									
									-
1									
-									



N°	Limite Liquido %	Limite Plastico %	Indice Plastico %	N°	Limite Liquido %	Limite Plastico %	Indice Plastico
1	48.2	32.4	15.8				
2	69.2	35.6	33.6				





COMMITTENTE: AURELI SOIL SRL - VIA LAMARMORA,77 - GIOIA DEI MARSI

RIFERIMENTO: CONSERVATORIO DI MUSICA L. D'ANNUNZIO - PESCARA (PE)

SONDAGGIO: S1

CAMPIONE: C1

PROFONDITA': m 1.50 - 2.00

#### **MODULO RIASSUNTIVO**

#### CARATTERISTICHE FISICHE

Umidità naturale	26.5	%
Peso di volume	18.9	kN/m³
Peso di volume secco	15.0	kN/m3
Peso di volume saturo	19.2	kN/m3
Peso specifico	26.4	kN/m³
Indice dei vuoti	0.767	
Porosità	43.4	%
Grado di saturazione	93.1	%
Limite di liquidità	48.2	%
Limite di plasticità	32.4	%
Indice di plasticità	15.8	%
Indice di consistenza	1.37	
Passante al set. nº 40	SI	
Limite di ritiro	19.8	%
CNR-UNI 10006/00	A7-5	I.G. = 1

### ANALISI GRANULOMETRICA

Ghiaia		%
Sabbia	64.4	%
Limo	27.4	%
Argilla	8.2	%
D 10	0.006698	mm
D 50	0.128108	mm
D 60	0.186030	mm
D 90	0.993073	mm
Passante set. 10	96.2	%
Passante set. 42	77.0	%
Passante set. 200	35.6	%

### PERMEABILITA'

Coefficiente k	cm/sec
----------------	--------

#### COMPRESSIONE

σ	kPa	σ <sub>Rim</sub>	kPa
c <sub>u</sub>	kPa	c <sub>u</sub> Rim	kPa

#### **TAGLIO DIRETTO**

Prova con	solidata-lent	a		100	
c'	6.7	kPa	φ'	27.5	0
c' Res		kPa	φ'Res		0

#### COMPRESSIONE TRIASSIALE

C.D.	c <sub>d</sub>	kPa	φd	0
C.U.	c'cu	kPa	φ'cu	0
	c cu	kPa	фси	o
U.U.	c <sub>u</sub>	kPa	φu	0

#### PROVA EDOMETRICA

σ kPa	E kPa	Cv cm²/sec	k cm/sec
12.5 ÷ 24.5	3010	0.001470	4.79E-08
$24.5 \div 49.0$	2792	0.001560	5.48E-08
49.0 ÷ 98.0	2840	0.001504	5.19E-08
98.0 ÷ 196.0	4182	0.001840	4.32E-08
196.0 ÷ 392.0	7906	0.001454	1.80E-08
392.0 ÷ 784.0	14790	0.001502	9.96E-09
784.0 ÷ 1568.0	28213	0.001482	5.15E-09

SABBIA CON LIMO DEBOLMENTE ARGILLOSA DI COLORE GRIGIO-OLIVASTRO.



GEOPROVE S.R.L. P. IVA 03940580750

Sede legale a laboration laries e Rocce Va II Giugno 2, 73049 Rullana 315

Felicina e Fax 0833 692992 - Cell .329 359 9073

www.poprove.eu • info@geoprove.eu

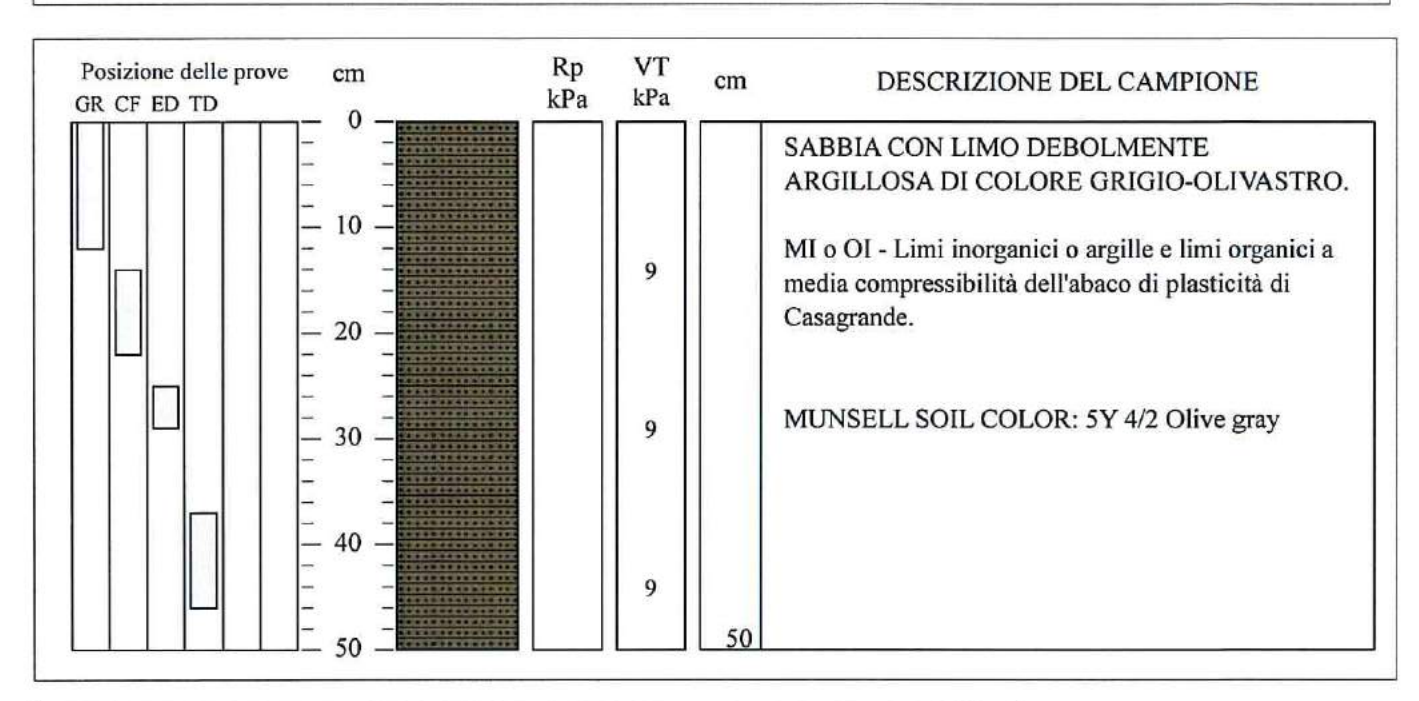
www.poprove.eu • info@geoprove.eu

www.poprove.eu • info@geoprove.eu

www.poprove.eu • info@geoprove.eu



COMMITTENTE: AURELI SOIL SRL - VIA LAMARMORA,77 - GIOIA DEI MARSI RIFERIMENTO: CONSERVATORIO DI MUSICA L. D'ANNUNZIO - PESCARA (PE) SONDAGGIO: CAMPIONE: C1 PROFONDITA': m 1.50 - 2.00





#### TIPO DI CAMPIONE

0	Cilindrico	
	Cubico	
	Massivo	

#### QUALITA' DEL CAMPIONE

0	Q5 (Ottima)
	Q4 (Buona)
	Q3 (Sufficiente)
	Q2 (Insufficiente)
	Q1 (Pessima)

SABBIA CON LIMO DEBOLMENTE ARGILLOSA DI COLORE GRIGIO-OLIVASTRO.



GEOPROYE S.R.L. P. IVA 03940580750
Sade legale e l'aborationo furre e Rocce Via II Glugne 2, 730.49 Rédana (E)
Térédana e Fax 0833 692992 - Cell 329 359 9093
www.geoprova ou - info@geoprova ou
www.geoprova ou - info@geoprova ou
www.geoprova ou - info@geoprova ou



CERTIFICATO DI PROVA Nº: 27/gr/19 Pagina 1/1	DATA DI EMISSIONE:	14/01/19	Inizio analisi:	07/01/19
VERBALE DI ACCETTAZIONE N°: 2 del 02/01/19	Apertura campione:	07/01/19	Fine analisi:	10/01/19

COMMITTENTE: AURELI SOIL SRL - VIA LAMARMORA,77 - GIOIA DEI MARSI

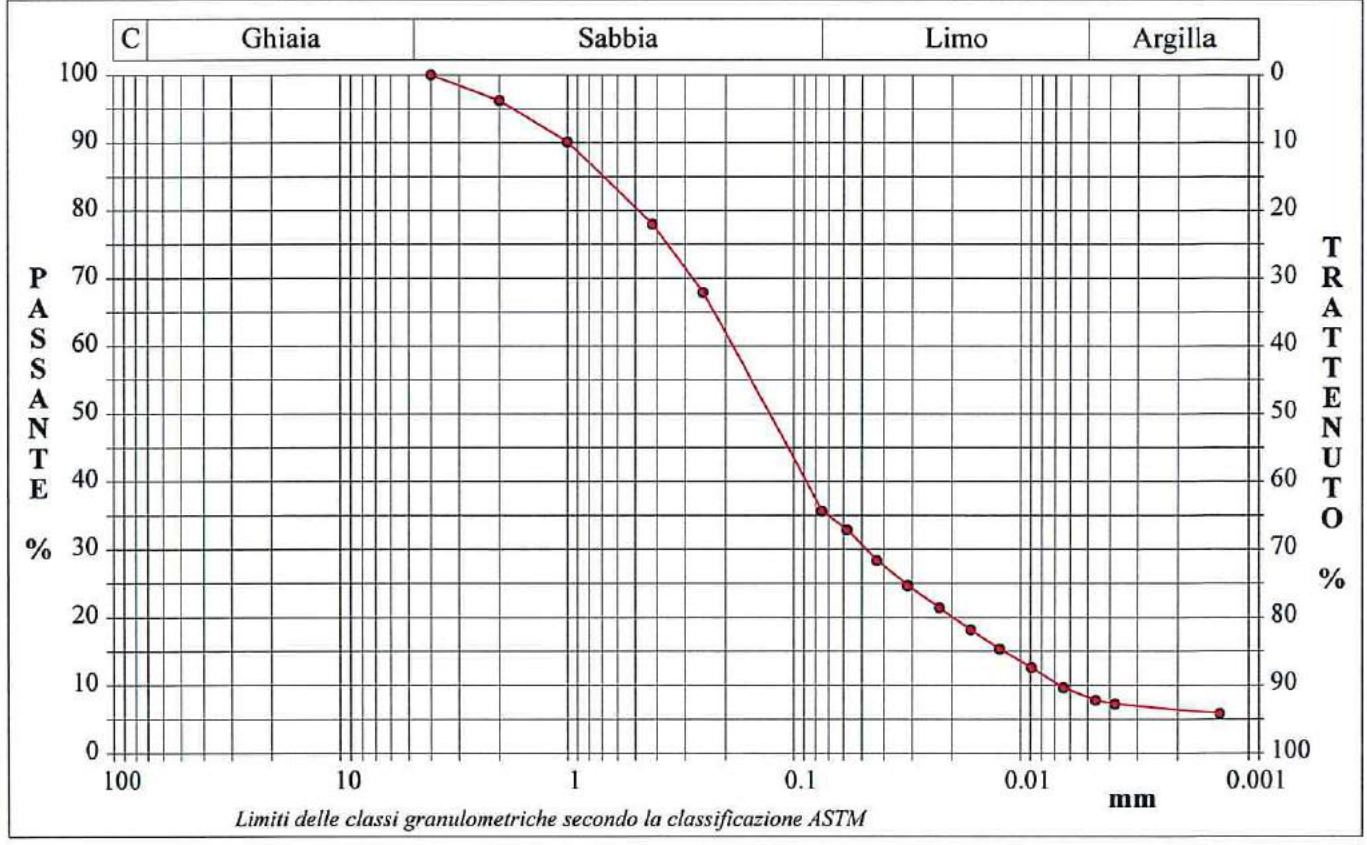
RIFERIMENTO: CONSERVATORIO DI MUSICA L. D'ANNUNZIO - PESCARA (PE)

SONDAGGIO: S1 CAMPIONE: C1 PROFONDITA': m 1.50 - 2.00

#### ANALISI GRANULOMETRICA

Modalità di prova: Norma ASTM D 422

Coefficiente d	i uniformita	à	27.77	Coefficiente di curvatura	1.85	D90	0.99307 mm
Argilla	8.2	%	Passante setaccio 200 (0.075 mm)		35.6 %	D60	0.18603 mm
Limo	27.4		100 TO 10	AND THE CONTRACT OF THE CONTRA		D <sub>50</sub>	0.12811 mm
Sabbia	64.4		Passante seta	ccio 40 (0.42 mm)	77.0 %	D30	0.04799 mm
Ghiaia	0.0		Passante seta	ccio 10 (2 mm)	96.2 %	D <sub>10</sub>	0.00670 mm



Diametro mm	Passante %								
4.0000	100.00	0.0750	35.65	0.0166	18.14	0.0038	7.23		
2.0000	96.23	0.0582	32.88	0.0124	15.31	0.0013	5.81		
1.0000	90.10	0.0430	28.34	0.0089	12.61				
0.4200	77.97	0.0314	24.66	0.0064	9.64				
0.2500	67.92	0.0228	21.40	0.0046	7.79				

SABBIA CON LIMO DEBOLMENTE ARGILLOSA DI COLORE GRIGIO-OLIVASTRO.

SGEO - Laboratorio 6.2 - 2018

Tecnico di laboratorio Dott Raffaele Corvaglia

pag. 112 di 145



GEOPROVE S.R.L. P. IVA 03940580750

Autorizzazione manistriciale ad effetuare o conficiale prove su tarre, repla e fabbustorio ferra e 80cce Vm II Gingro 2, 73049 8 ilfano [15]

Telebos e Fac 0803 602992 • Cell. 129 1359 9093

worke peoprove u.v. infolligoopion ou

Autorizzazione manistriciale ad effetuare in conficient prove su manifold da cestructione DM 275 del 12 giugno 2018.



CERTIFICATO DI PROVA Nº: 27/gr/19 Allegato 1 VERBALE DI ACCETTAZIONE Nº: 2 del 02/01/19

14/01/19 07/01/19 DATA DI EMISSIONE: Inizio analisi: 07/01/19 Fine analisi: 10/01/19 Apertura campione:

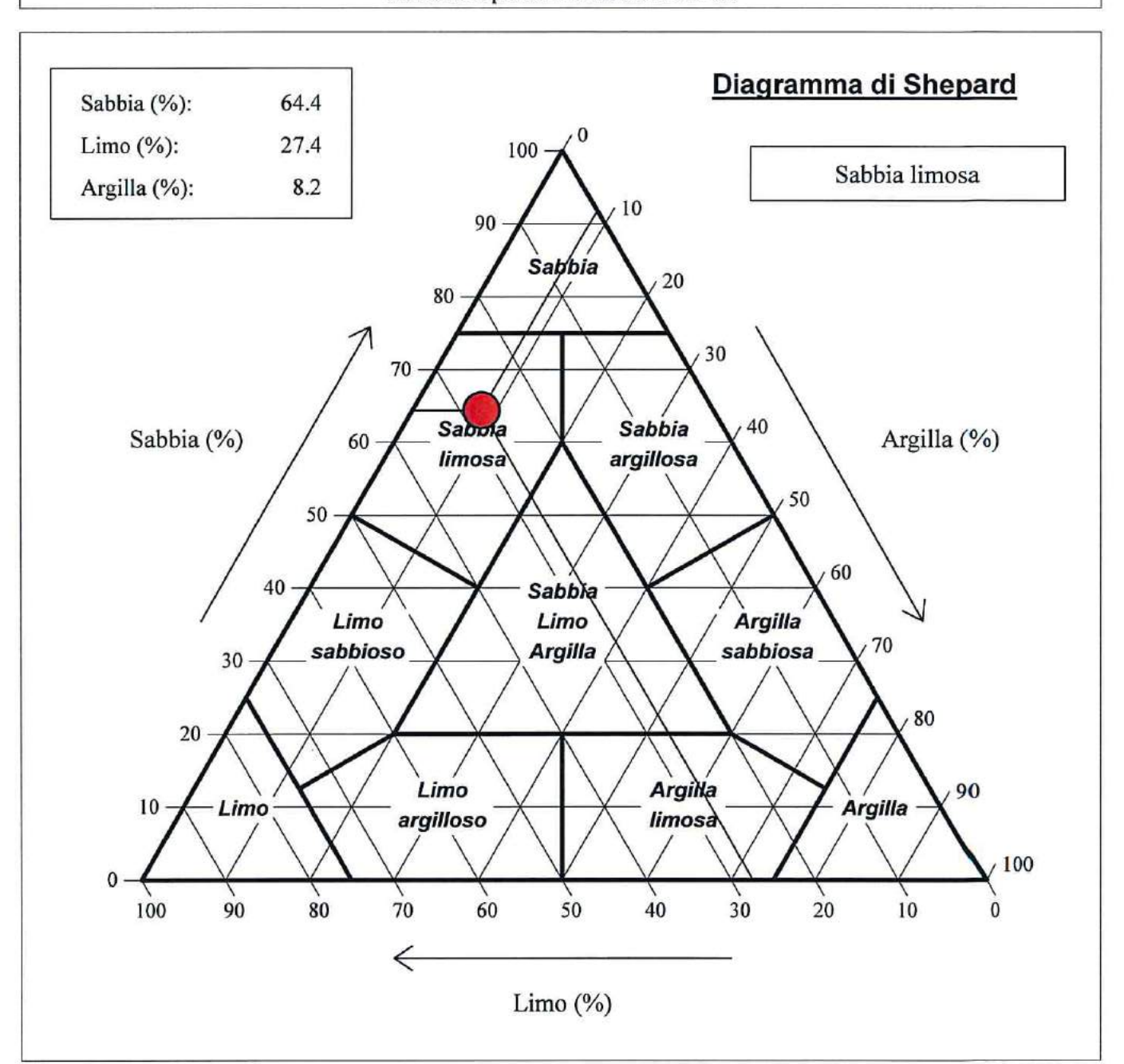
COMMITTENTE: AURELI SOIL SRL - VIA LAMARMORA,77 - GIOIA DEI MARSI

RIFERIMENTO: CONSERVATORIO DI MUSICA L. D'ANNUNZIO - PESCARA (PE)

SONDAGGIO: CAMPIONE: PROFONDITA': m 1.50 - 2.00

### ANALISI GRANULOMETRICA - GRAFICO TRIANGOLARE

Modalità di prova: Norma ASTM D 422



SABBIA CON LIMO DEBOLMENTE ARGILLOSA DI COLORE GRIGIO-OLIVASTRO.

SGEO - Laboratorio 6.2 - 2018

Tecnico di laboratorio Dott Raffaele Corvaglia

pag. 113 di 145



GEOPROVE S.R.L. P. IVA 03940580750

Sede legale el laboratoria Terre el Rocce Via II Giugno 2, 73049 Rulfana (E)

Felebra e Fax 0833 69292 • Cell. 329 359 9093

www.gooprove.eu • info@gooprove.eu

unateriali da costruzione DM 273 del 12 giugno 2018.



CERTIFICATO DI PROVA Nº: 27/u/19 Pagina 1/1	DATA DI EMISSIONE:	14/01/19	Inizio analisi:	07/01/19
VERBALE DI ACCETTAZIONE N°: 2 del 02/01/19	Apertura campione:	07/01/19	Fine analisi:	08/01/19
COMMITTENTE: AURELI SOIL SRL - VIA LAMARMOR	A,77 - GIOIA DEI MARSI			
RIFERIMENTO: CONSERVATORIO DI MUSICA L. D'AN	NUNZIO - PESCARA (PE)			
SONDAGGIO: S1 CAMPIONE:	Cl	PROFO	NDITA': m 1.	50 - 2.00
CONTENUTO D'ACQUA	A ALLO STATO NATUR	ALE		
Modalità di prova: No	rma UNI EN ISO 17892-	-1		

Wn = contenuto d'acqua allo :	stato naturale = 26.5 %	
	Omogeneo	
Struttura del materiale:	☐ Stratificato	

□ Caotico

Temperatura di essiccazione: 110 °C

Dimensione massima delle particelle: 2.00 mm

SABBIA CON LIMO DEBOLMENTE ARGILLOSA DI COLORE GRIGIO-OLIVASTRO.

SGEO - Laboratorio 6.2 - 2018

Tecnico di laboratorio Dott Raffaele Corvaglia

pag. 114 di 145



GEOPROYE S.R.L. P. IVA 03940580750
ale a laboratoria Terra e Rocco Via II Giogna 2, 73049 Ruflana (El Parismo e fax 0833 69292 + Cell, 129 359 909)
www.decorum.n.u. | Irlo/Decorum a.u. |



14/01/19 07/01/19 CERTIFICATO DI PROVA Nº: 27/pdv/19 Pagina 1/1 DATA DI EMISSIONE: Inizio analisi: 07/01/19 VERBALE DI ACCETTAZIONE Nº: 2 del 02/01/19 07/01/19 Apertura campione: Fine analisi:

COMMITTENTE: AURELI SOIL SRL - VIA LAMARMORA,77 - GIOIA DEI MARSI

RIFERIMENTO: CONSERVATORIO DI MUSICA L. D'ANNUNZIO - PESCARA (PE)

PROFONDITA': m CAMPIONE: 1.50 - 2.00SONDAGGIO:

### PESO DI VOLUME ALLO STATO NATURALE

Modalità di prova: Norma BS 1377 T15/D

Determinazione eseguita mediante fustella tarata

Peso di volume allo stato naturale = 18.9 kN/m3

SABBIA CON LIMO DEBOLMENTE ARGILLOSA DI COLORE GRIGIO-OLIVASTRO.

SGEO - Laboratorio 6.2 - 2018

Tecnico di laboratorio Don Raffaele Corvaglia

pag. 115 di 145





CERTIFICATO DI PROVA Nº: 27/ps/19 Pagina 1/1	DATA DI EMISSIONE:	14/01/19	Inizio analisi:	08/01/19
VERBALE DI ACCETTAZIONE N°: 2 del 02/01/19	Apertura campione:	07/01/19	Fine analisi:	08/01/19
COMMITTENTE: AURELI SOIL SRL - VIA LAMARMOR	A,77 - GIOIA DEI MARSI			
RIFERIMENTO: CONSERVATORIO DI MUSICA L. D'AN	NUNZIO - PESCARA (PE)			
SONDAGGIO: S1 CAMPIONE:	C1	PROFO	NDITA': m 1	.50 - 2.00
PESO SPECIFIC	CO DEI GRANULI			
Modalità di prova: No	rma UNI EN ISO 17892-	3		

 $\gamma_S$  = Peso specifico dei granuli (media delle due misure) (kN/m³) = 26.4 kN/m³

Y<sub>SC</sub> = Peso specifico dei granuli corretto a 20° (kN/m³) = 26.4 kN/m³

• A  $\square$  B Metodo:

Capacità del picnometro: 100 ml

Temperatura di prova: 22.0 °C

Dimensione massima delle particelle: 2.00 mm

Disaerazione eseguita per bollitura

SABBIA CON LIMO DEBOLMENTE ARGILLOSA DI COLORE GRIGIO-OLIVASTRO.

SGEO - Laboratorio 6.2 - 2018

Tecnico di laboratorio Dott Raffaela Corvaglia

pag. 116 di 145



### GEOPROVE S.R.L. P. IVA 03940580750 GEOPROVE S.R.L. P. IVA 03940580750 Sede legals a laboratoria Terra e Rocce Via II Gragna 2, 73049 Rullana (IE) Telefona e Fax 0833 692992 \* Cell. 329 359 9093 www.ya.gactorea.eu \* infolgascrorea.eu www.



CERTIFICATO DI PROVA Nº: 27/lc/19 Pagina 1/1	DATA DI EMISSIONE:	14/01/19	Inizio analisi:	09/01/19
VERBALE DI ACCETTAZIONE N°: 2 del 02/01/19	Apertura campione:	07/01/19	Fine analisi:	10/01/19

COMMITTENTE: AURELI SOIL SRL - VIA LAMARMORA,77 - GIOIA DEI MARSI

RIFERIMENTO: CONSERVATORIO DI MUSICA L. D'ANNUNZIO - PESCARA (PE)

SONDAGGIO: S1 CAMPIONE: C1 1.50 - 2.00 PROFONDITA': m

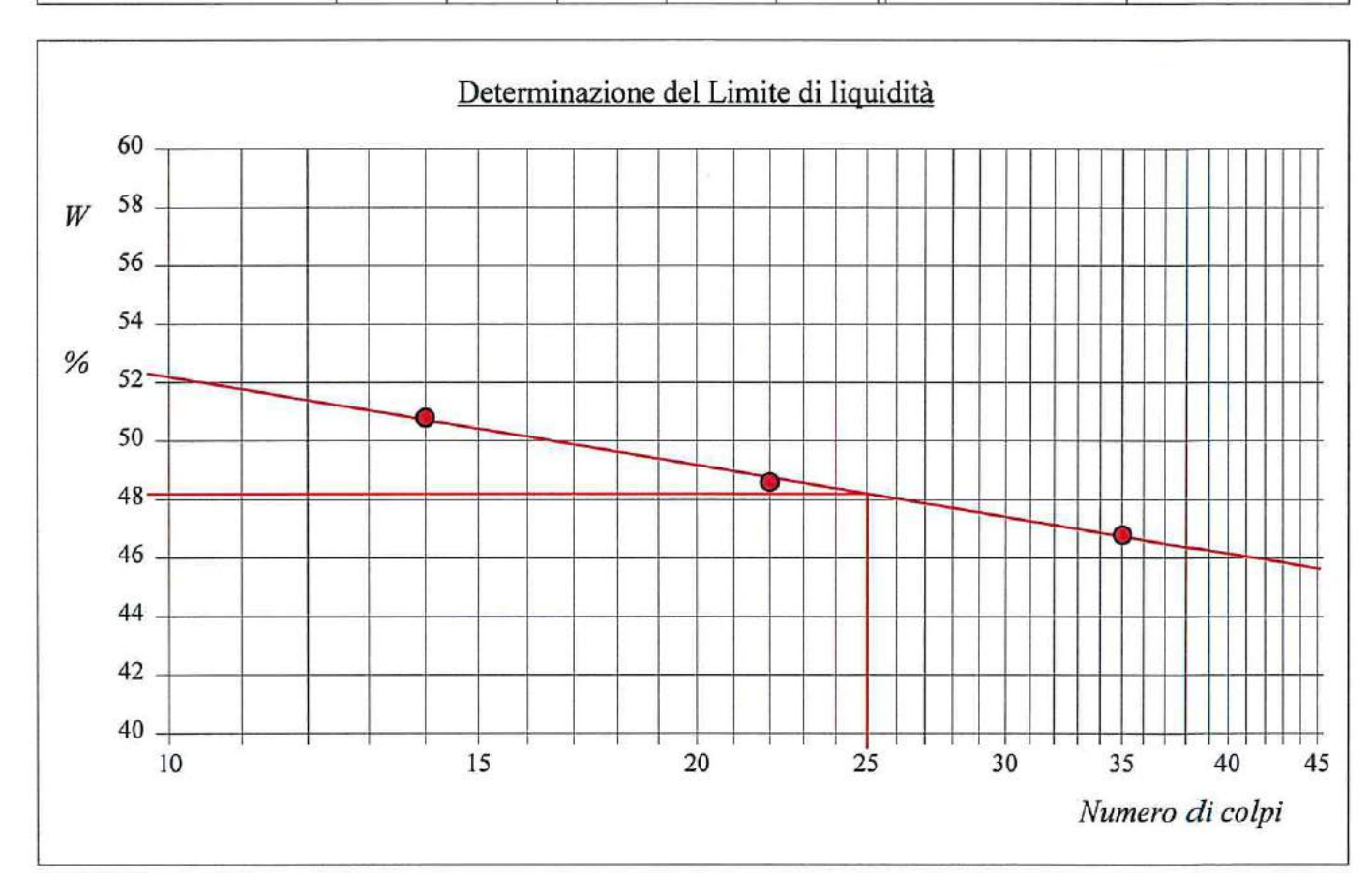
#### LIMITI DI CONSISTENZA LIQUIDO E PLASTICO

Modalità di prova: Norma ASTM D 4318

Limite di liquidità	48.2 %
Limite di plasticità	32.4 %
Indice di plasticità	15.8 %

La prova è stata eseguita sulla frazione granulometrica passante al setaccio n° 40 (0.42 mm)

	LIMITE D	I LIQUID	LIMITE DI PLASTICITA'			
Numero di colpi	14	22	35	Umidità (%)	32.0	32.7
Umidità (%)	50.8	48.6	46.8	Umidità media	32.4	



SABBIA CON LIMO DEBOLMENTE ARGILLOSA DI COLORE GRIGIO-OLIVASTRO.

SGEO - Laboratorio 6.2 - 2018

Tecnico di laboratorio

pag. 117 di 145



GEOPROVE S.R.L. P. IVA 03940580750

Autorizzazione minuberiale ad effetuere e certificare provo su territoria legale e faboratoria latre e focce Via II Gragos 2, 73049 findino (E)
Falobosa e fac 0833 692092 • Cell. 329 359 3093

Wave appropriate e infalosity in the control of the control of



CERTIFICATO DI PROVA Nº: 27/lc/19 Allegato 1	DATA DI EMISSIONE:	14/01/19	Inizio analisi:	09/01/19
VERBALE DI ACCETTAZIONE Nº: 2 del 02/01/19	Apertura campione:	07/01/19	Fine analisi:	10/01/19

COMMITTENTE: AURELI SOIL SRL - VIA LAMARMORA,77 - GIOIA DEI MARSI

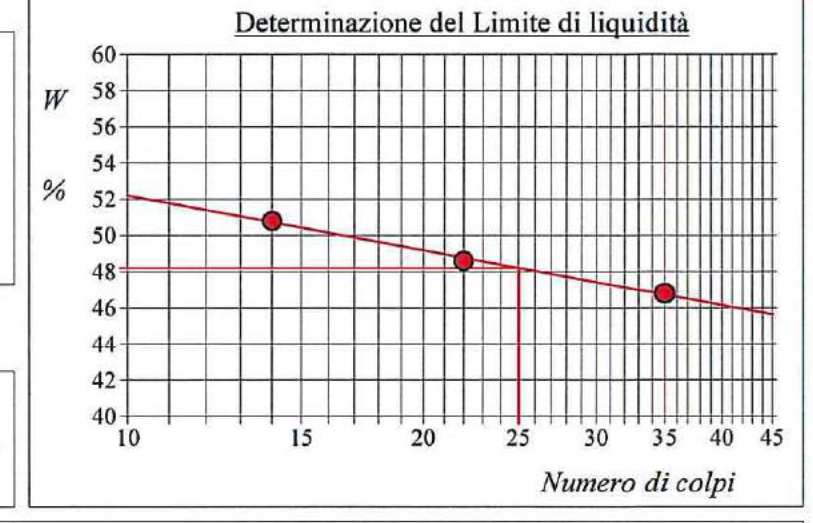
RIFERIMENTO: CONSERVATORIO DI MUSICA L. D'ANNUNZIO - PESCARA (PE)

SONDAGGIO: CAMPIONE: C1 PROFONDITA': m 1.50 - 2.00

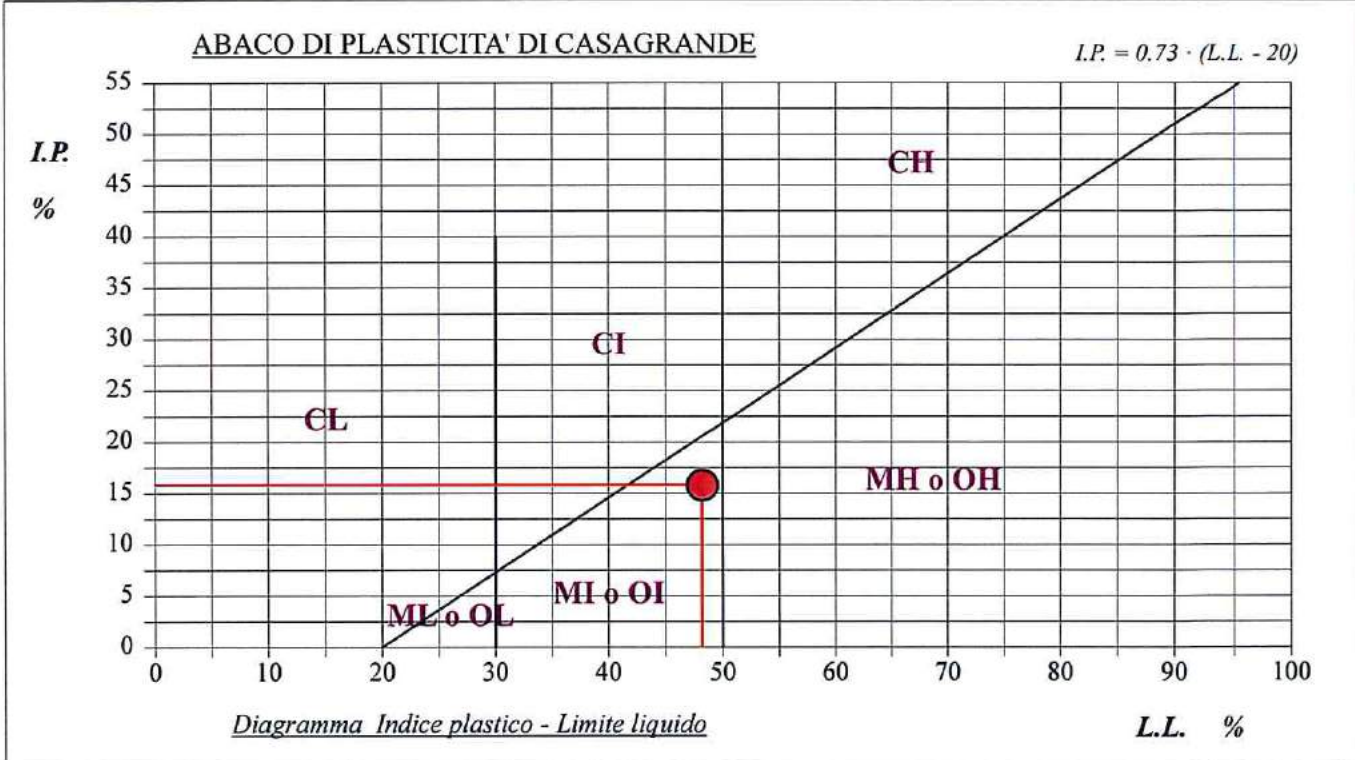
#### ABACO DI CASAGRANDE

Modalità di prova: Norma ASTM D 4318

-			
	Limite di liquidità	48.2	%
	Limite di plasticità	32.4	%
	Indice di plasticità	15.8	%
	Indice di consistenza	1.37	
	Passante al set. nº 40	SI	



C - Argille inorganiche L - Bassa compressibilità I - Media compressibilità M - Limi inorganici O - Argille e limi organici H - Alta compressibilità



SABBIA CON LIMO DEBOLMENTE ARGILLOSA DI COLORE GRIGIO-OLIVASTRO.

SGEO - Laboratorio 6.2 - 2018

Tecnico di laneratorio Dott Raffaele Corvaglia





CERTIFICATO DI PROVA Nº: 27/gr/19 Allegato 1	DATA DI EMISSIONE:	14/01/19	Inizio analisi:	07/01/19
VERBALE DI ACCETTAZIONE Nº: 2 del 02/01/19	Apertura campione:	07/01/19	Fine analisi:	10/01/19

COMMITTENTE: AURELI SOIL SRL - VIA LAMARMORA,77 - GIOIA DEI MARSI

RIFERIMENTO: CONSERVATORIO DI MUSICA L. D'ANNUNZIO - PESCARA (PE)

SONDAGGIO: S1 CAMPIONE: PROFONDITA': m 1.50 - 2.00

#### CLASSIFICAZIONE DEL TERRENO

Classificazione secondo: CNR-UNI 10006/00

#### ANALISI GRANULOMETRICA

#### LIMITI DI CONSISTENZA

Passante setaccio 10 (2 mm)	96.2	%	Limite di liquidità	48.2	%
Passante setaccio 40 (0.42 mm)	77.0	%	Limite di plasticità	32.4	%
Passante setaccio 200 (0.075 mm)	35.6	%	Indice di plasticità	15.8	%

CLASSIFICAZIONE DEL TERRENO: A7-5 **INDICE DI GRUPPO: 1** 

Tipi usuali dei materiali principali:

Argille fortemente compressibili mediamente plastiche

SABBIA CON LIMO DEBOLMENTE ARGILLOSA DI COLORE GRIGIO-OLIVASTRO.

SGEO - Laboratorio 6.2 - 2018

Tecnico di laboratorio Dott Raffaelo Corvaglia

G Direttere de laboratorie R.L.

pag. 119 di 145



GEOPROVE S.R.L. P. IVA 03940580750

Autorizzacione ministeriale od effetuare a certificare prove su terrifoca e prave from 18 (N. 278 del 14 giugno 2018).

Telebro e Fax 0833 602992 • Cell. 329 359 9093

West operation in ... • Info@recoprova eu

water desprise ...



Pagina 1/1 DATA DI EMISSIONE: 14/01/19 Inizio analisi: 10/01/19 CERTIFICATO DI PROVA Nº: 27/lr/19 VERBALE DI ACCETTAZIONE Nº: 2 del 02/01/19 07/01/19 11/01/19 Fine analisi: Apertura campione:

COMMITTENTE: AURELI SOIL SRL - VIA LAMARMORA,77 - GIOIA DEI MARSI

RIFERIMENTO: CONSERVATORIO DI MUSICA L. D'ANNUNZIO - PESCARA (PE)

SONDAGGIO: S1 CAMPIONE: C1 PROFONDITA': m 1.50 - 2.00

#### LIMITE DI RITIRO

Modalità di prova: Norma ASTM D 4943

Materiale passante al setaccio nº 40 (0.420 mm): 77 %

Limite di ritiro = 19.8 %

Coefficiente di ritiro = 4.78

Ritiro di volume = 76.54

Ritiro lineare = 17.26

SABBIA CON LIMO DEBOLMENTE ARGILLOSA DI COLORE GRIGIO-OLIVASTRO.

SGEO - Laboratorio 6.2 - 2018

Tecnico di laboratorio Don Raffaele Corvaglia

pag. 120 di 145



GEOPROYE S.R.L. P. IVA 03940580750

Sede legale et foboration a Terre et Bosse Via il Giegna P. Z/1049 Ruffama (Eg)

Telefora e Fax 0333 092992 - Cell. 329-359-9093

Www.angestown.eu. • info@inspectown.eu

www.angestown.eu

www.angest



CERTIFICATO DI PROVA Nº: 27/ed/19 Pagina 1/2	DATA DI EMISSIONE:	14/01/19	Inizio analisi:	07/01/19
VERBALE DI ACCETTAZIONE N°: 2 del 02/01/19	Apertura campione:	07/01/19	Fine analisi:	14/01/19

COMMITTENTE: AURELI SOIL SRL - VIA LAMARMORA,77 - GIOIA DEI MARSI

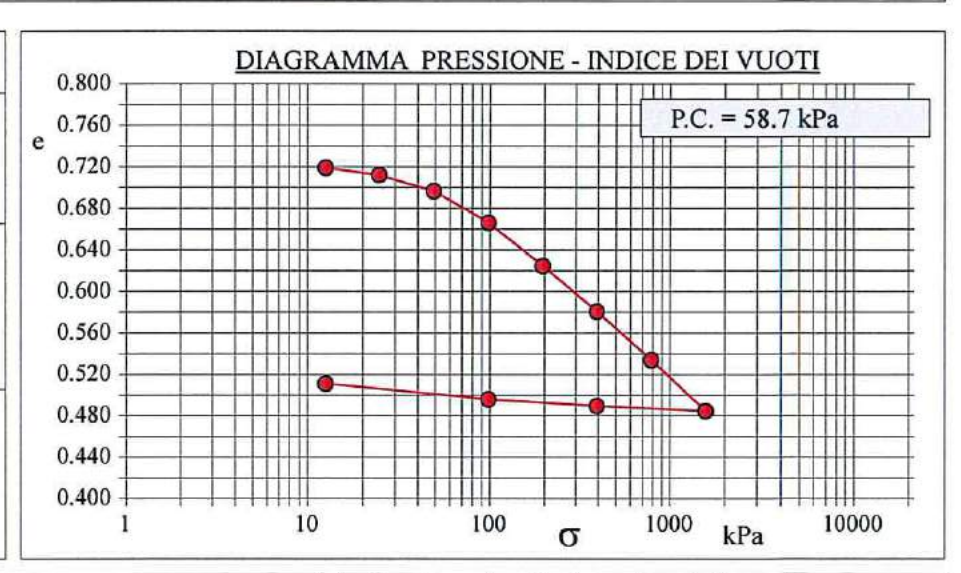
RIFERIMENTO: CONSERVATORIO DI MUSICA L. D'ANNUNZIO - PESCARA (PE)

SONDAGGIO: S1 CAMPIONE: C1 PROFONDITA': m 1.50 - 2.00

#### PROVA EDOMETRICA

Modalità di prova: Norma ASTM D 2435

Peso di volume (kN/m³)	18.92
Umidità (%)	26.8
Peso specifico (kN/m³)	26.42
Altezza provino (cm)	2.00
Diametro provino (cm)	5.00
Sezione provino (cm²)	19.63
Volume provino (cm³)	39.27
Volume dei vuoti (cm³)	17.08
Indice dei vuoti	0.77
Porosità (%)	43.49
Saturazione (%)	93.6



Δ.0		
2.0		<b>2</b> 4.5
6.0		98.0
8.0		196.0
10.0		392.0
12.0		784.0
14.0		
16.0		1568,0
18.0		
20.0	1 10 100	t 1000 min

Pressione kPa	Cedim. mm/100	Indice Vuoti	Сс
12.5	57.0	0.719	
24.5	65.0	0.712	0.023
49.0	82.5	0.697	0.052
98.0	117.0	0.666	0.101
196.0	163.9	0.625	0.138
392.0	213.5	0.581	0.146
784.0	266.5	0.534	0.156
1568.0	322.1	0.485	0.163
392.0	316.5	0.490	
98.0	309.4	0.496	
12.5	292.3	0.511	

SABBIA CON LIMO DEBOLMENTE ARGILLOSA DI COLORE GRIGIO-OLIVASTRO.

SGEO - Laboratorio 6.2 - 2018

Tecnico di laboratorio Dott Raffagle Corvaglia G Direttofe de laboratorio. L. arceNo De Donatis DIVABORATORIO



GEOPROVE S.R.L. P. IVA 03940580750

Sede legale a laboratorio Terre e Rocce Via II Giogno 2, 71049 Riffano IET

Feldona e Fax 0833 602092 - Cell. 329 359 9093

Autorizzazione ministeriale ad elletivare e certificare provinces provincia de certificare provincia de certifi



CERTIFICATO DI PROVA Nº: 27/ed/19 Pagina 2/2 DATA DI EMISSIONE: 14/01/19 Inizio analisi: 07/01/19 VERBALE DI ACCETTAZIONE Nº: 2 del 02/01/19 07/01/19 14/01/19 Fine analisi: Apertura campione:

COMMITTENTE: AURELI SOIL SRL - VIA LAMARMORA,77 - GIOIA DEI MARSI

RIFERIMENTO: CONSERVATORIO DI MUSICA L. D'ANNUNZIO - PESCARA (PE)

SONDAGGIO: CAMPIONE: PROFONDITA': m 1.50 - 2.00C1

#### PROVA EDOMETRICA

Modalità di prova: Norma ASTM D 2435

#### LETTURE INTERMEDIE - TABELLE RIASSUNTIVE

24.5 kPa	Pressione 4	19.0 kPa	Pressione 9	98.0 kPa	Pressione 1	96.0 kPa
Cedim. mm/100	Tempo minuti	Cedim. mm/100	Tempo minuti	Cedim. mm/100	Tempo minuti	Cedim. mm/100
57.0	0.00	65.0	0.00	82.5	0.00	117.0
61.0	1.00	72.0	1.00	102.2	1.00	143.2
62.1	2.00	75.7	2.00	105.2	2.00	150.8
62.9	4.00	78.6	4.00	108.2	4.00	155.6
63.6	8.00	80.8	8.00	110.4	8.00	158.4
64.1	15.00	82.1	15.00	111.7	15.00	159.6
64.4	30.00	82.3	30.00	112.7	30.00	160.8
64.6	60.00	82.4	60.00	113.7	60.00	161.8
64.7	120.00	82.5	120.00	114.5	120.00	162.6
64.7	180.00	82.5	180.00	114.8	180.00	163.0
65.0	1440.00	82.5	1440.00	117.0	1440.00	163.9
	Cedim. mm/100 57.0 61.0 62.1 62.9 63.6 64.1 64.4 64.6 64.7 64.7	Cedim. mm/100         Tempo minuti           57.0         0.00           61.0         1.00           62.1         2.00           62.9         4.00           63.6         8.00           64.1         15.00           64.4         30.00           64.6         60.00           64.7         120.00           64.7         180.00	Cedim. mm/100         Tempo minuti         Cedim. mm/100           57.0         0.00         65.0           61.0         1.00         72.0           62.1         2.00         75.7           62.9         4.00         78.6           63.6         8.00         80.8           64.1         15.00         82.1           64.4         30.00         82.3           64.6         60.00         82.4           64.7         120.00         82.5           64.7         180.00         82.5	Cedim. mm/100         Tempo minuti         Cedim. mm/100         Tempo minuti           57.0         0.00         65.0         0.00           61.0         1.00         72.0         1.00           62.1         2.00         75.7         2.00           62.9         4.00         78.6         4.00           63.6         8.00         80.8         8.00           64.1         15.00         82.1         15.00           64.4         30.00         82.3         30.00           64.6         60.00         82.4         60.00           64.7         120.00         82.5         120.00           64.7         180.00         82.5         180.00	Cedim. mm/100         Tempo minuti         Cedim. mm/100         Tempo minuti         Cedim. mm/100           57.0         0.00         65.0         0.00         82.5           61.0         1.00         72.0         1.00         102.2           62.1         2.00         75.7         2.00         105.2           62.9         4.00         78.6         4.00         108.2           63.6         8.00         80.8         8.00         110.4           64.1         15.00         82.1         15.00         111.7           64.4         30.00         82.3         30.00         112.7           64.6         60.00         82.4         60.00         113.7           64.7         120.00         82.5         120.00         114.5           64.7         180.00         82.5         180.00         114.8	Cedim. mm/100         Tempo minuti         Cedim. mm/100         Tempo minuti         Cedim. mm/100         Tempo minuti         Tempo minuti         Tempo minuti         Tempo minuti           57.0         0.00         65.0         0.00         82.5         0.00           61.0         1.00         72.0         1.00         102.2         1.00           62.1         2.00         75.7         2.00         105.2         2.00           62.9         4.00         78.6         4.00         108.2         4.00           63.6         8.00         80.8         8.00         110.4         8.00           64.1         15.00         82.1         15.00         111.7         15.00           64.4         30.00         82.3         30.00         112.7         30.00           64.6         60.00         82.4         60.00         113.7         60.00           64.7         120.00         82.5         120.00         114.5         120.00           64.7         180.00         82.5         180.00         114.8         180.00

Pressione 3	92.0 kPa	Pressione 7	84.0 kPa	Pressione 15	568.0 kPa	Pressione	kPa
Tempo minuti	Cedim. mm/100	Tempo minuti	Cedim. mm/100	Tempo minuti	Cedim. mm/100	Tempo minuti	Cedim. mm/100
0.00	163.9	0.00	213.5	0.00	266.5		
1.00	165.0	1.00	219.0	1.00	298.0		
2.00	178.0	2.00	236.0	2.00	306.2		
4.00	189.0	4.00	248.0	4.00	311.8		
8.00	197.0	8.00	254.0	8.00	315.5		
15.00	202.9	15.00	259.0	15.00	317.0		la l
30.00	207.0	30.00	263.0	30.00	318.1		
60.00	209.5	60.00	265.0	60.00	319.3		
120.00	210.9	120.00	266.0	120.00	320.1		
180.00	211.5	180.00	266.4	180.00	320.5		
1440.00	213.5	1440.00	266.5	1440.00	322.1		
			ROV	5.0			
			65/	100		00	

SGEO - Laboratorio 6.2 - 2018

Tecnico di laboratorio Dott Raffael

pag. 122 di 145



GEOPROVE S.R.L. P. IVA 03940580750

Ale la distribution Terre e Rocce V.a. If Clique a 7, 73049 Rulhana (E)

Telebone e frac 0883 602092 • Cell. 329 359 0903

www energrows us info@insectors e u

info@insec



Pagina 1/4 DATA DI EMISSIONE: 14/01/19 07/01/19 CERTIFICATO DI PROVA Nº: 27/td/19 Inizio analisi: VERBALE DI ACCETTAZIONE Nº: 2 del 02/01/19 07/01/19 Fine analisi: 11/01/19 Apertura campione:

COMMITTENTE: AURELI SOIL SRL - VIA LAMARMORA,77 - GIOIA DEI MARSI

RIFERIMENTO: CONSERVATORIO DI MUSICA L. D'ANNUNZIO - PESCARA (PE)

SONDAGGIO: S1 CAMPIONE: C1 PROFONDITA': m 1.50 - 2.00

### PROVA DI TAGLIO DIRETTO

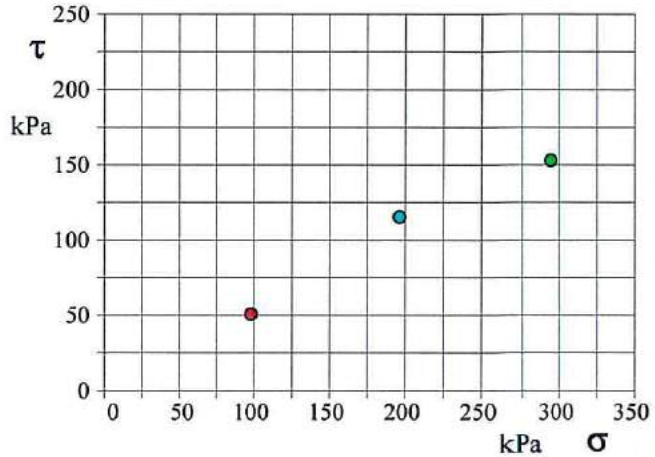
#### Modalità di prova: Norma ASTM D 3080

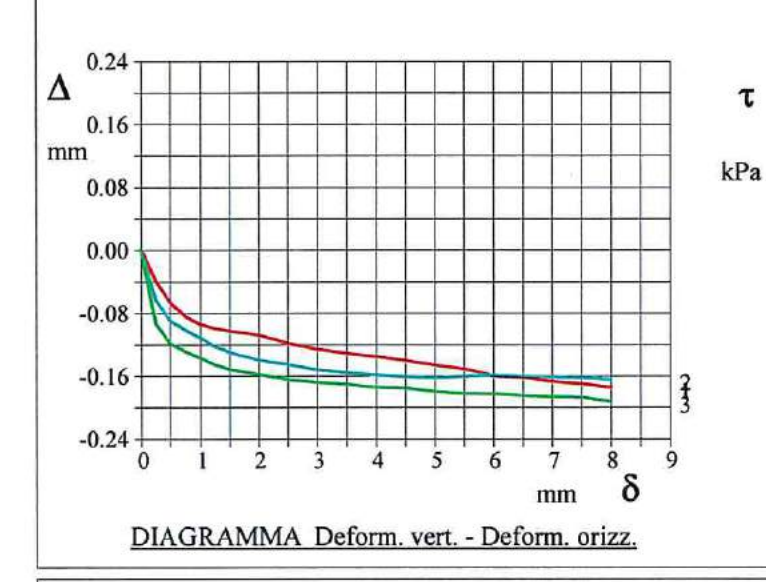
Provino n°:	1			2		3
Condizione del provino:	Indist	urbato	Indist	urbato	Indist	urbato
Pressione verticale (kPa):	9	8	1	96	2	94
Tensione a rottura (kPa):	5	51	1	15	1	53
Deformazione orizzontale e verticale a rottura (mm):	5.00	-0.15	3.50	-0.16	3.50	-0.17
Umidità iniziale e umidità finale (%):	26.8	22.2	26.3	21.9	26.0	22.7
Peso di volume iniziale e finale (kN/m³):	18.9	19.4	18.9	19.9	18.9	20.6
Grado di saturazione iniziale e finale (%):	93.5	90.1	92.7	95.2	92.2	100.0

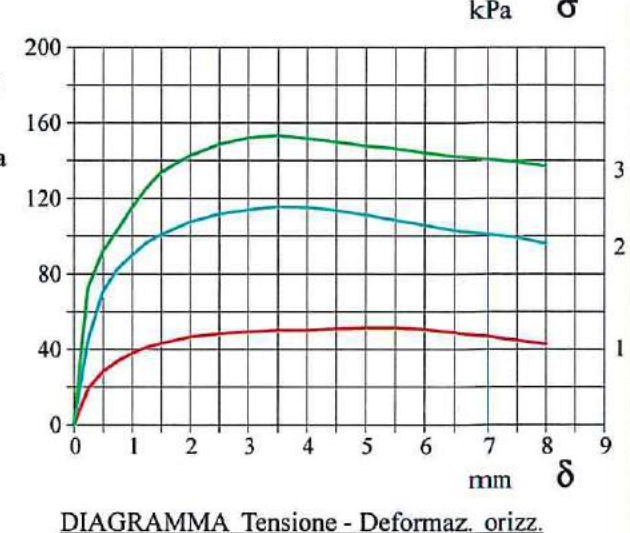
### **DIAGRAMMA**

Tensione - Pressione verticale

Tipo di prova:	Consolidata - lenta
Velocità di deformazione:	0.004 mm / min
Tempo di consolidazione (	ore): 24







SABBIA CON LIMO DEBOLMENTE ARGILLOSA DI COLORE GRIGIO-OLIVASTRO.

SGEO - Laboratorio 6.2 - 2018

Techico di laboratorio Dott Raffiele Corvaglia **ABORATORIO** 

ANO pag. 123 di 145



### GEOPROVE S.R.L. P. IVA 03940580750 GEOPROVE S.R.L. P. IVA 0.3940580750 Autorizzazione ministeriale ad effetuare e certificare prove legale se albacratoria furre e Rocce Visa II Giogno 2, 730.49 Ruffano 3551 Talelano e faz 0833 692992 • Cell. 329 359 9093 www.geoptore es se \* info@nacoprove su www.geoptore es se \* info



Pagina 2/4 DATA DI EMISSIONE: 14/01/19 07/01/19 CERTIFICATO DI PROVA Nº: 27/td/19 Inizio analisi: VERBALE DI ACCETTAZIONE Nº: 2 del 02/01/19 07/01/19 11/01/19 Apertura campione: Fine analisi:

COMMITTENTE: AURELI SOIL SRL - VIA LAMARMORA,77 - GIOIA DEI MARSI

CONSERVATORIO DI MUSICA L. D'ANNUNZIO - PESCARA (PE) RIFERIMENTO:

SONDAGGIO: CAMPIONE: PROFONDITA': m 1.50 - 2.00

#### PROVA DI TAGLIO DIRETTO

Modalità di prova: Norma ASTM D 3080

	Provino 1			Provino 2			Provino 3	
Spostam.	Tensione kPa	Deform. vert.	Spostam. mm	Tensione kPa	Deform. vert.	Spostam. mm	Tensione kPa	Deform. vert
0.250	19.0	-0.04	0.250	44.4	-0.06	0.250	72.3	-0.09
0.500	28.2	-0.07	0.500	70.2	-0.09	0.500	91.8	-0.12
0.750	33.5	-0.08	0.750	82.5	-0.10	0.750	103.0	-0.13
1.000	37.6	-0.09	1.000	89.7	-0.11	1.000	114.8	-0.14
1.250	40.9	-0.10	1.250	96.3	-0.12	1.250	125.2	-0.15
1.500	42.8	-0.10	1.500	100.7	-0.13	1.500	133.6	-0.15
2.000	46.2	-0.11	2.000	107.3	-0.14	2.000	142.4	-0.16
2.500	47.9	-0.12	2.500	111.6	-0.15	2.500	148.5	-0.16
3.000	49.0	-0.13	3.000	113.7	-0.15	3.000	151.9	-0.17
3.500	49.8	-0.13	3.500	115.5	-0.16	3.500	153.0	-0.17
4.000	49.8	-0.14	4.000	115.1	-0.16	4.000	151.5	-0.17
4.500	50.4	-0.14	4.500	113.5	-0.16	4.500	149.6	-0.18
5.000	51.0	-0.15	5.000	111.1	-0.16	5.000	147.7	-0.18
5.500	51.0	-0.15	5.500	108.3	-0.16	5.500	146.2	-0.18
6.000	50.2	-0.16	6.000	105.6	-0.16	6.000	143.9	-0.18
6.500	48.4	-0.16	6.500	102.8	-0.16	6.500	142.0	-0.19
7.000	46.4	-0.17	7.000	101.0	-0.16	7.000	140.6	-0.19
7.500	44.4	-0.17	7.500	99.1	-0.16	7.500	139.1	-0.19
8.000	42.3	-0.18	8.000	96.0	-0.16	8.000	136.8	-0.19
				OVE &				

SGEO - Laboratorio 6.2 - 2018

Tecnico di laboratorio Dott Raffaele Corvaglia

G Direttore del laboratorio



### GEOPROVE S.R.L. P. IVA 03940580750 GEOPROVE S.R.I. P. IVA 03940580750 Sode legale e laboratione littre e Rocce Via B Giogno 2, 730.49 Rollans (IS) Talelona e Fax 0833 602992 • Cell. 329 359 9093 www.gooppove.au • info@geoprova.eu www.gooppove.au • info@geoprova.eu www.gooppove.au • info@geoprova.eu



Pagina 3/4 CERTIFICATO DI PROVA Nº: 27/td/19 VERBALE DI ACCETTAZIONE Nº: 2 del 02/01/19

14/01/19 07/01/19 DATA DI EMISSIONE: Inizio analisi: 07/01/19 11/01/19 Fine analisi: Apertura campione:

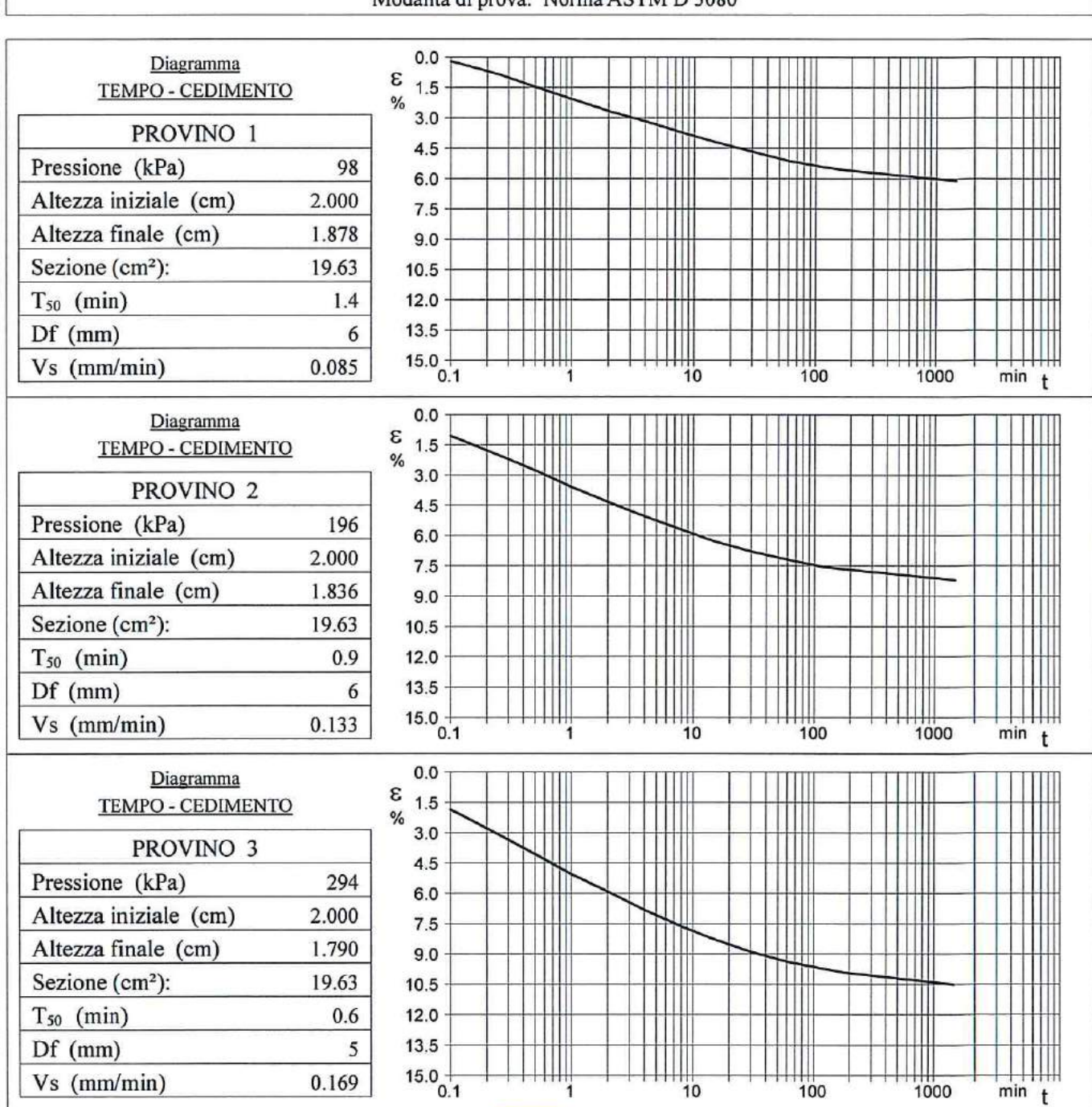
COMMITTENTE: AURELI SOIL SRL - VIA LAMARMORA,77 - GIOIA DEI MARSI

RIFERIMENTO: CONSERVATORIO DI MUSICA L. D'ANNUNZIO - PESCARA (PE)

SONDAGGIO: SI CAMPIONE: PROFONDITA': m 1.50 - 2.00

#### PROVA DI TAGLIO DIRETTO - FASE DI CONSOLIDAZIONE

#### Modalità di prova: Norma ASTM D 3080



Vs = Velocità stimata di prova Df = Deformazione a rottura stimata

 $tf = 50 \times T_{50}$ 

Vs = Df/tf

SGEO - Laboratorio 6.2 - 2018

Tecnico di laboratorio Dott Raffagle Corvaglia

pag. 125 di 145



GEOPROYE S.R.L. P. IVA 03940580750

Authorizacces ministeriale ad effetuare a cartificate pron

Telvision or Fax 0833 692992 - C 2019 20 359 909 1

Were necessary to info@greecove au

water necessary to info@greecove au

water necessary to info@greecove au

material do estrusione DM 275 del 12 giugno 2018.



14/01/19 07/01/19 CERTIFICATO DI PROVA Nº: 27/td/19 Pagina 4/4 DATA DI EMISSIONE: Inizio analisi: VERBALE DI ACCETTAZIONE Nº: 2 del 02/01/19 07/01/19 11/01/19 Apertura campione: Fine analisi:

COMMITTENTE: AURELI SOIL SRL - VIA LAMARMORA,77 - GIOIA DEI MARSI

RIFERIMENTO: CONSERVATORIO DI MUSICA L. D'ANNUNZIO - PESCARA (PE)

SONDAGGIO: CAMPIONE: PROFONDITA': m 1.50 - 2.00

#### PROVA DI TAGLIO DIRETTO - FASE DI CONSOLIDAZIONE

Modalità di prova: Norma ASTM D 3080

	Provino 1			Provino 2			Provino 3	
Tempo	Cedim.	Cedim.	Tempo	Cedim.	Cedim.	Tempo	Cedim.	Cedim.
minuti	mm/100	%	minuti	mm/100	%	minuti	mm/100	%
0.00	0.00	0.00	0.00	0.00	0.00	0.00	0.00	0.0
0.10	4.00	0.20	0.10	21.00	1.05	0.10	36.95	1.8
0.25	16.94	0.85	0.25	40.29	2.01	0.25	61.89	3.0
0.50	29.36	1.47	0.50	55.27	2.76	0.50	81.17	4.0
1.00	41.47	2.07	1.00	71.62	3.58	1.00	101.06	5.0
2.00	53.36	2.67	2.00	86.63	4.33	2.00	118.39	5.9
4.00	63.51	3.18	4.00	101.00	5.05	4.00	136.29	6.8
8.00	74.65	3.73	8.00	114.05	5.70	8.00	152.44	7.6
15.00	84.10	4.21	15.00	125.83	6.29	15.00	165.46	8.2
30.00	93.45	4.67	30.00	135.70	6.78	30.00	177.65	8.8
60.00	102.63	5.13	60.00	143.89	7.19	60.00	187.53	9.3
120.00	108.89	5.44	120.00	151.14	7.56	120.00	194.50	9.7
180.00	111.71	5.59	180.00	153.21	7.66	180.00	198.41	9.9
1440.00	122.00	6.10	1440.00	164.00	8.20	1440.00	210.00	10.5
				OVE				
			(3)	OVE &				
			(3)	OVE ST				

SGEO - Laboratorio 6.2 - 2018

Tecnico de laboratorio Dott Raffaele Corvaglia



## GEOPROVE S.R.L. P. IVA 03940580750 Sede legale e l'abbrotorio Terre « Rocce Via II Giugno 2, 73049 Ruffano (IE) Telefono e Fax 0833 692992 • Cell, 329 359 9093

Autorizzazione ministeriale ad effattuare e certificate prave si ti poca e prave in sito DM 278 del 14 giugna 2018. Autorizzazione ministeriale ad elititivare e certificare prove su materiali da costruzione DM 275 del 12 giugna 2018.

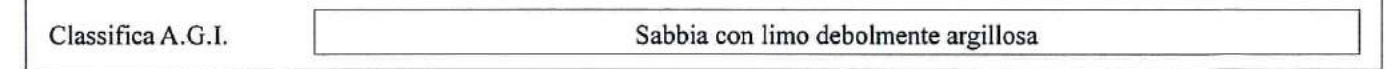


COMMITTENTE: AURELI SOIL SRL - VIA LAMARMORA,77 - GIOIA DEI MARSI

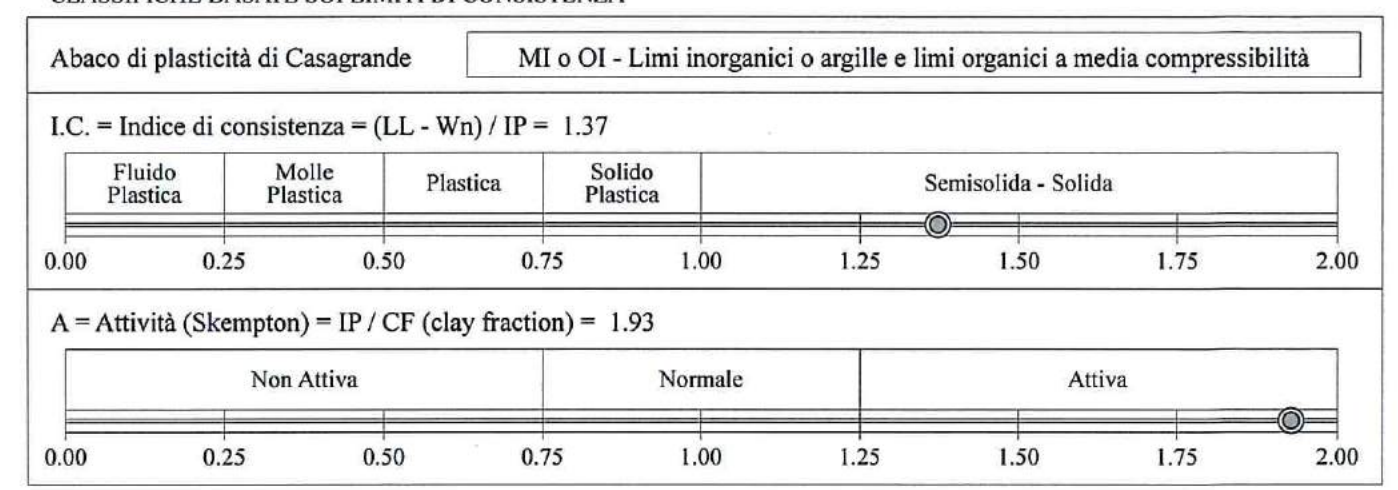
RIFERIMENTO: CONSERVATORIO DI MUSICA L. D'ANNUNZIO - PESCARA (PE)

SONDAGGIO: S1 CAMPIONE: C1 PROFONDITA': m 1.50 - 2.00

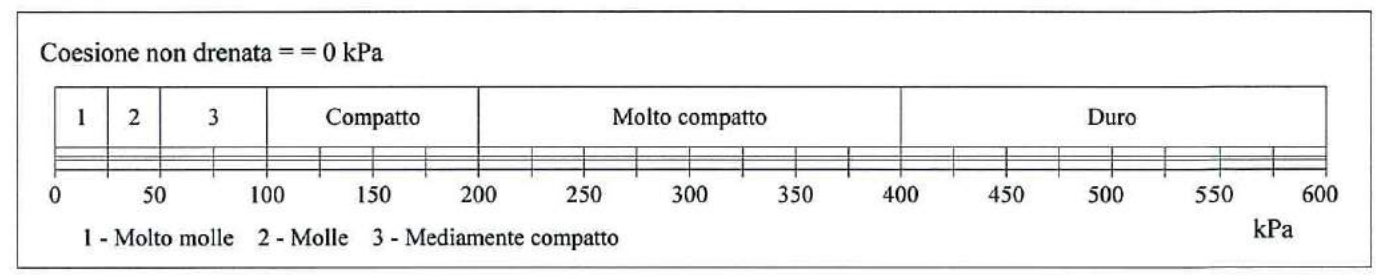
#### CLASSIFICA BASATA SULLA GRANULOMETRIA



#### CLASSIFICHE BASATE SUI LIMITI DI CONSISTENZA



#### CLASSIFICA BASATA SULLA COESIONE NON DRENATA



#### CLASSIFICA BASATA SULLA PRECONSOLIDAZIONE

Pressione del campione in sito = 35.3kPa

Pressione di preconsolidazione [da Prova Edometrica] = 58.7kPa

#### O.C.R. (Over Consolidation Ratio) = 1.67

Norm Consoli		Debolmente Sovraconsolidate	,	Sovraco	nsolidato		Fortemente Sovraconsolidato	
0.0	1.0	2.0	3.0	4.0	5.0	6.0	7.0	8.0

#### SABBIA CON LIMO DEBOLMENTE ARGILLOSA DI COLORE GRIGIO-OLIVASTRO.



GEOPROVE S.R.L. P. IVA 03940580750

Sede legale et laboratorio l'arre e Posse Via II Giugno 2, 73049 Bullono (LE)

Tolefono e Fax 0833 692992 • Cell. 329 339 9093

www.geogroup.eu • Info@geoprove.eu

S.R.L. P. IVA 03940580750

Authorizzazione ministriale ad effettuare e certificare prove tu fetre, tocce e prave in site DN 278 del 14 giugna 2018.

Authorizzazione ministriale ad effettuare e certificare prove tu fetre, tocce e prave in site DN 278 del 12 giugna 2018.



COMMITTENTE: AURELI SOIL SRL - VIA LAMARMORA,77 - GIOIA DEI MARSI

RIFERIMENTO: CONSERVATORIO DI MUSICA L. D'ANNUNZIO - PESCARA (PE)

CAMPIONE: C2 SONDAGGIO: \$1 PROFONDITA': m 14.50 - 15.00

#### MODULO RIASSUNTIVO

#### CARATTERISTICHE FISICHE

Umidità naturale	19.0	%
Peso di volume	19.3	kN/m³
Peso di volume secco	16.2	kN/m3
Peso di volume saturo	20.1	kN/m3
Peso specifico	26.7	kN/m³
Indice dei vuoti	0.646	
Porosità	39.2	%
Grado di saturazione	80.1	%
Limite di liquidità	69.2	%
Limite di plasticità	35.6	%
Indice di plasticità	33.6	%
Indice di consistenza	1.49	
Passante al set. nº 40	SI	
Limite di ritiro	14.7	%
CNR-UNI 10006/00	A7-5 I	.G. = 20

#### ANALISI GRANULOMETRICA

Ghiaia		%
Sabbia	4.0	%
Limo	26.3	%
Argilla	69.7	%
D 10		mm
D 50	0.001193	mm
D 60	0.002372	mm
D 90	0.035138	mm
Passante set. 10	100.0	%
Passante set. 42	99.2	%
Passante set. 200	96.0	%

#### PERMEABILITA'

532 (200 )	
Coefficiente k	cm/sec

#### COMPRESSIONE

σ	kPa	σ <sub>Rim</sub>	kPa
$c_{\mathrm{u}}$	kPa	c <sub>u Rim</sub>	kPa

#### TAGLIO DIRETTO

		a	7		
c'	86.5	kPa	φ'	20.2	0
c' Res		kPa	φ'Res		0

#### COMPRESSIONE TRIASSIALE

C.D.	c <sub>d</sub>	kPa	фd	٥
C.U.	c'cu	kPa	φ'cu	0
	c cu	kPa	фси	0
U.U.	c <sub>u</sub>	kPa	фu	0

#### PROVA EDOMETRICA

♂ kPa	E kPa	Cv cm²/sec	k cm/sec
24.5 ÷ 49.0	5076	0.001596	3.08E-08
$49.0 \div 98.1$	6298	0.001642	2.56E-08
$98.1 \div 196.1$	7644	0.001526	1.96E-08
196.1 ÷ 392.3	10542	0.001122	1.04E-08
$392.3 \div 784.5$	17205	0.001197	6.82E-09
784.5 ÷ 1569.1	33173	0.001064	3.15E-09

#### ARGILLA CON LIMO DI COLORE GRIGIO-VERDASTRO.

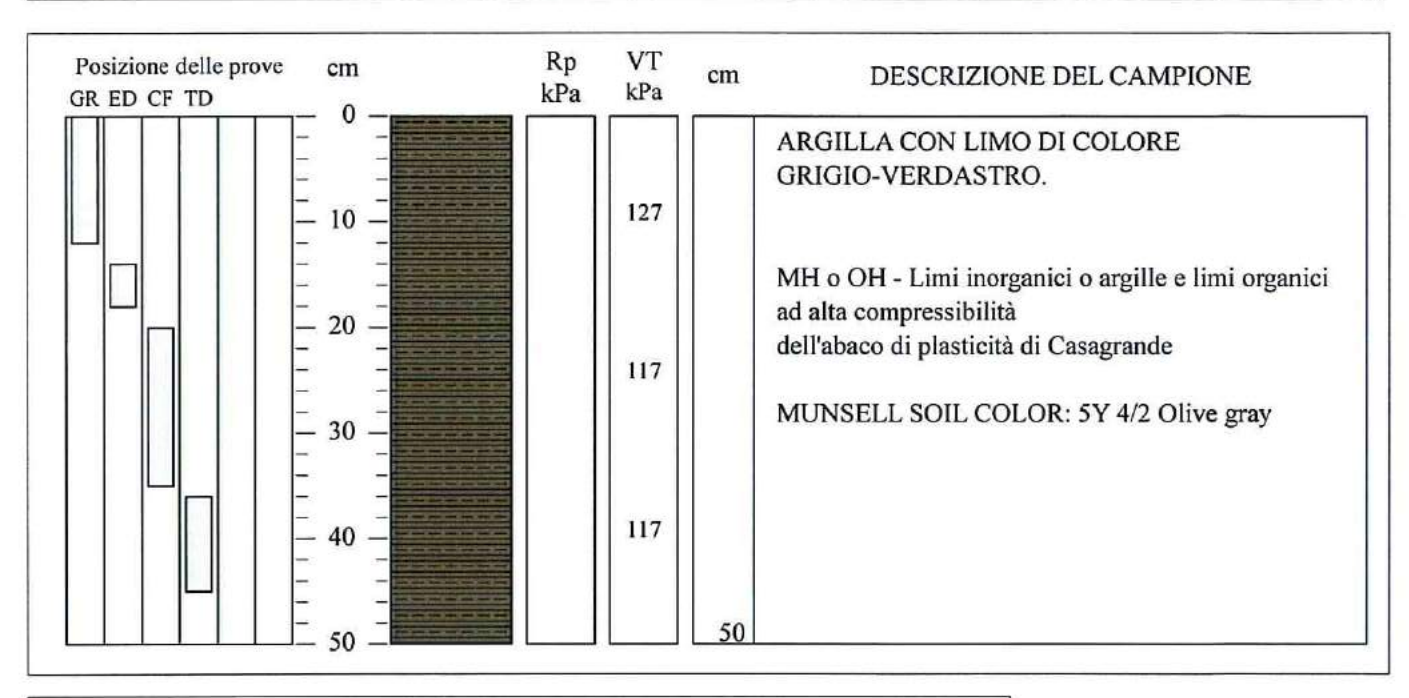
RIF.MUNSELL 5GY 6/2



GEOPROVE S.R.L. P. IVA 03940580750
Sede legale a laboration Terre e Pocce Via il Giogno 7, 73049 Pullano (IE)
Feldrac e Fax 0333 092992 • Cell. 329 359 9093
www.geoprove.co. • info@pocrove.ou
www.geoprove.co. • info@pocrove.co. • info@pocrove



COMMITTENTE: AURELI SOIL SRL - VIA LAMARMORA,77 - GIOIA DEI MARSI RIFERIMENTO: CONSERVATORIO DI MUSICA L. D'ANNUNZIO - PESCARA (PE) SONDAGGIO: S1 CAMPIONE: C2 PROFONDITA': m 14.50 - 15.00



	CONNITTENTE:
4-50	RIF COHUNE TO I PESCARA TO CONSERVATORIO L. D'ANNUNZIO
///////////////////////////////////////	S1-C2 PTROF 14.50-15.00
4	

#### TIPO DI CAMPIONE

0	Cilindrico
	Cubico
	Massivo

### QUALITA' DEL CAMPIONE

0	Q5 (Ottima)
	Q4 (Buona)
	Q3 (Sufficiente)
	Q2 (Insufficiente)
	Q1 (Pessima)

ARGILLA CON LIMO DI COLORE GRIGIO-VERDASTRO.



GEOPROVE S.R.L. P. IVA 03940580750

gale a laborator in ferre a Rocce Via II Gisgno 2, 73.049 Rullana (E)

Polebro a Fax 0833 692992 • Cell. 329 359 0093

Autorizzazione ministricinie ad elletrorio e certificiare pron

Elefeno a Fax 0833 692992 • Cell. 329 359 0093

su materiali da costruzione DM 275 del 12 giugno 2018.



CERTIFICATO DI PROVA Nº:	28/gr/19	Pagina 1/1
VERBALE DI ACCETTAZIONE	N°: 2 del	02/01/19

DATA DI EMISSIONE:	14/01/19	Inizio analisi:	07/01/19
Apertura campione:	07/01/19	Fine analisi:	10/01/19

COMMITTENTE: AURELI SOIL SRL - VIA LAMARMORA,77 - GIOIA DEI MARSI

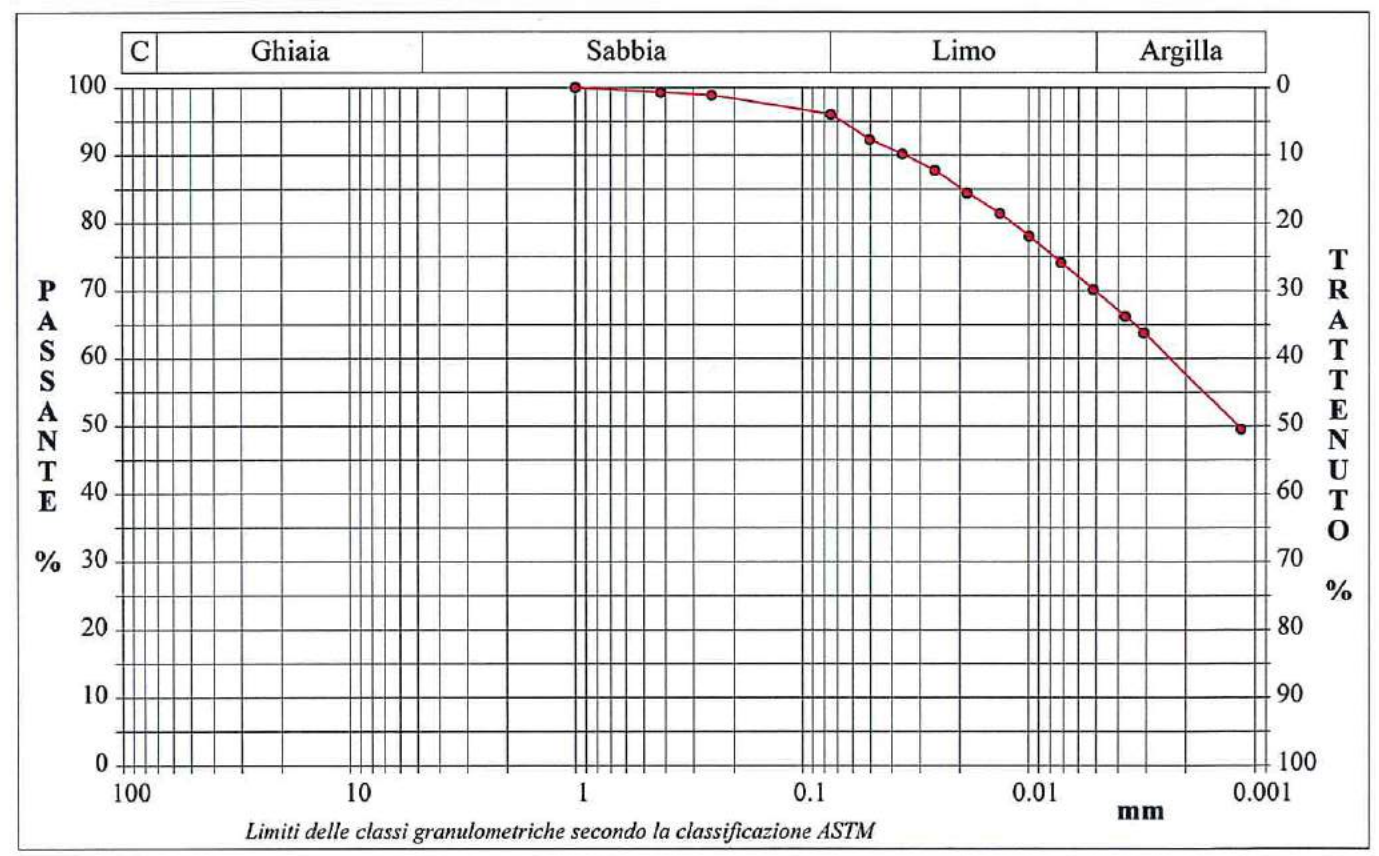
RIFERIMENTO: CONSERVATORIO DI MUSICA L. D'ANNUNZIO - PESCARA (PE)

SONDAGGIO: SI CAMPIONE: C2 PROFONDITA': m 14.50 - 15.00

#### ANALISI GRANULOMETRICA

### Modalità di prova: Norma ASTM D 422

Coefficiente d	i uniformità		Coefficiente di curvatura		D90	0.03514	mm
Argilla	69.7 %	Passante setaccio 200 (0.075 mm)		96.0 %	D <sub>60</sub>	0.00237	mm
Limo	26.3 %	Company to the compan			D50	0.00119	mm
Sabbia	4.0 %	Passante setaccio 40 (0.42 mm)		99.2 %	D <sub>30</sub>		mm
Ghiaia	0.0 %	Passante set	accio 10 (2 mm)	100.0 %	D <sub>10</sub>		mm



Diametro mm	Passante %								
1.0000	100.00	0.0362	90.21	0.0072	74.11				
0.4200	99.27	0.0259	87.78	0.0052	70.16				
0.2500	98.87	0.0187	84.44	0.0037	66.21				
0.0750	96.05	0.0134	81.40	0.0031	63.78				
0.0505	92.34	0.0100	78.06	0.0012	49.51				

ARGILLA CON LIMO DI COLORE GRIGIO-VERDASTRO

SGEO - Laboratorio 6.2 - 2018

Tecnico di laboratorio Dott Raffaele Corvaglia

pag. 130 di 145



GEOPROVE S.R.L. P. IVA 03940580750

legale a laboratoria Terre + Rocce Via II (Suggio 2, 230.49 Rv/fano [16])

Talefona e Fax 0833 692992 • Cell, 329 359 9073

Legale a laboratoria Terre + Rocce Via II (Suggio 2, 230.49 Rv/fano [16])

Autorizzazione ministeriale ad elfattuare e certificare prove to incore e proventia in DM 278 del 11 giugna 2018.



CERTIFICATO DI PROVA Nº: 28/gr/19 Allegato 1 VERBALE DI ACCETTAZIONE Nº: 2 del 02/01/19

DATA DI EMISSIONE: 14/01/19 Inizio analisi: 07/01/19 07/01/19 10/01/19 Apertura campione: Fine analisi:

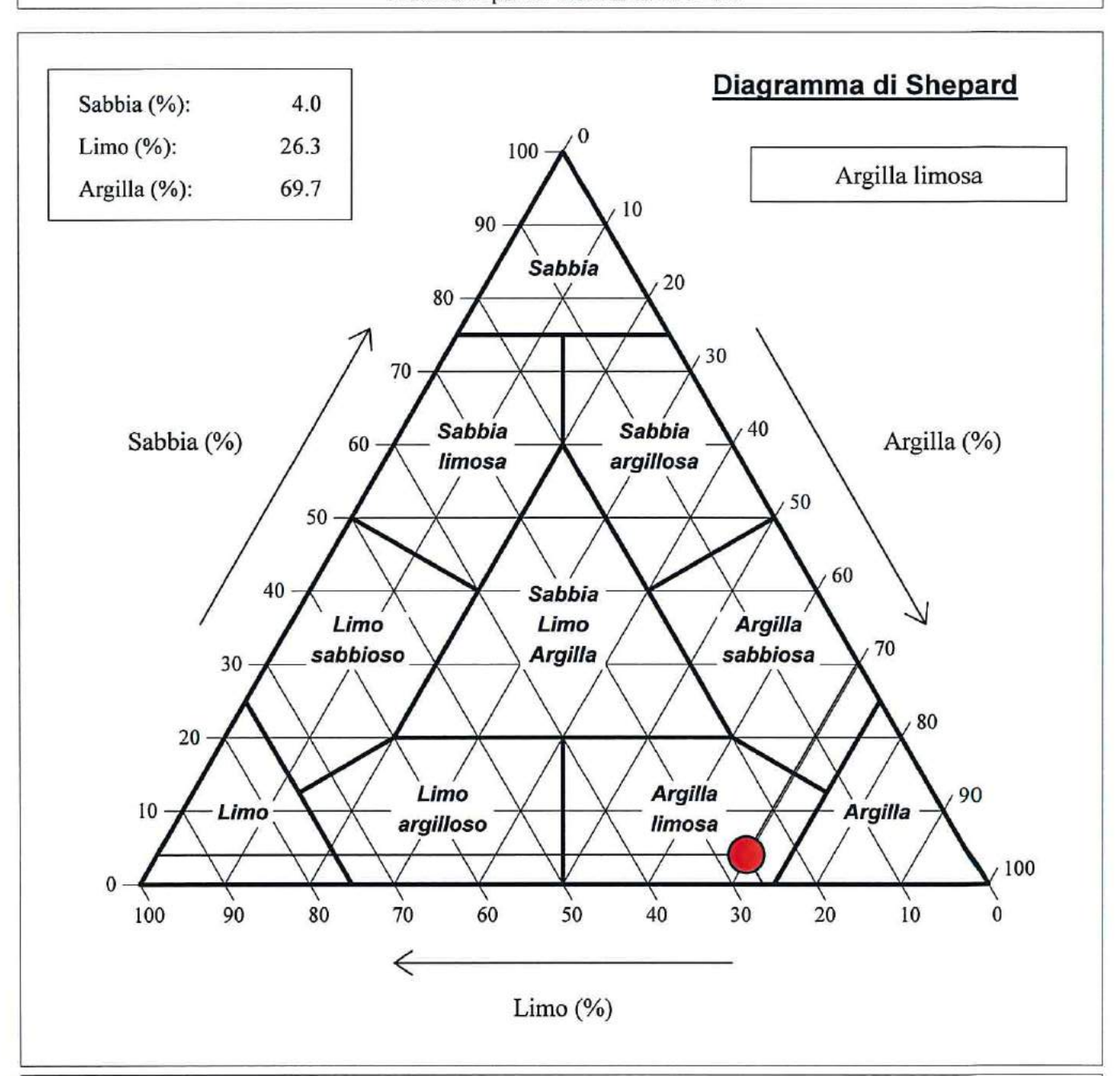
COMMITTENTE: AURELI SOIL SRL - VIA LAMARMORA,77 - GIOIA DEI MARSI

RIFERIMENTO: CONSERVATORIO DI MUSICA L. D'ANNUNZIO - PESCARA (PE)

SONDAGGIO: CAMPIONE: PROFONDITA': m 14.50 - 15.00

#### ANALISI GRANULOMETRICA - GRAFICO TRIANGOLARE

Modalità di prova: Norma ASTM D 422

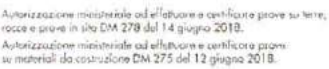


ARGILLA CON LIMO DI COLORE GRIGIO-VERDASTRO

SGEO - Laboratorio 6.2 - 2018

Tecnico di laboratorio Dott Raffacle Corvagilac Direttone del laboratorio sarcello De Donatis







DATA DI EMISSIONE:	14/01/19	Inizio analisi:	07/01/19
Apertura campione:	07/01/19	Fine analisi:	08/01/19
A,77 - GIOIA DEI MARSI			
INUNZIO - PESCARA (PE)			
C2	PROFONI	OITA': m 14.5	50 - 15.00
A ALLO STATO NATUR	ALE		
orma UNI EN ISO 17892	-1		
֡	Apertura campione: RA,77 - GIOIA DEI MARSI INUNZIO - PESCARA (PE) C2 A ALLO STATO NATUR	Apertura campione: 07/01/19 RA,77 - GIOIA DEI MARSI INUNZIO - PESCARA (PE)	Apertura campione: 07/01/19 Fine analisi:  RA,77 - GIOIA DEI MARSI INUNZIO - PESCARA (PE)  C2 PROFONDITA': m 14.5  A ALLO STATO NATURALE

Wn = contenuto d'acqua allo s	stato naturale = 19.0 %
	Omogeneo
Struttura del materiale:	☐ Stratificato
	☐ Caotico
Temperatura di essiccazione:	110 °C
Dimensione massima delle par	ticelle: 0.42 mm

ARGILLA CON LIMO DI COLORE GRIGIO-VERDASTRO.

SGEO - Laboratorio 6.2 - 2018

Tecnico di laboratorio Dott Raffaele Corvaglia

pag. 132 di 145



GEOPROVE S.R.L. P. IVA 03940580750

Sade legale a laboratoria Teste a Rocce Via II Giogna 2, 730.49 Rulliano (E)
Telefono e fiza 0833 062992 \* C.ell. 329 339 9093

Materizzazione ministriale ad ellettuare e certificase prove su
todo Na 278 del 14 giogna 2018.

Autorizzazione ministriale ad ellettuare e certificase prove su
todo Na 278 del 14 giogna 2018.

Autorizzazione ministriale de dell'unare e certificase prove su
todo Na 278 del 14 giogna 2018.



Pagina 1/1 DATA DI EMISSIONE: 14/01/19 07/01/19 CERTIFICATO DI PROVA Nº: 28/pdv/19 Inizio analisi: 07/01/19 VERBALE DI ACCETTAZIONE Nº: 2 del 02/01/19 07/01/19 Fine analisi: Apertura campione:

COMMITTENTE: AURELI SOIL SRL - VIA LAMARMORA,77 - GIOIA DEI MARSI

RIFERIMENTO: CONSERVATORIO DI MUSICA L. D'ANNUNZIO - PESCARA (PE)

SONDAGGIO: CAMPIONE: PROFONDITA': m 14.50 - 15.00

PESO DI VOLUME ALLO STATO NATURALE

Modalità di prova: Norma BS 1377 T15/D

Determinazione eseguita mediante fustella tarata

Peso di volume allo stato naturale = 19.3 kN/m<sup>3</sup>

ARGILLA CON LIMO DI COLORE GRIGIO-VERDASTRO

SGEO - Laboratorio 6.2 - 2018

Tecnigo di laboratorio Dott Raffagle Corvaglia

Direttere del laboratorio Dort Marcello De Donatis

pag. 133 di 145





CERTIFICATO DI PROVA Nº: 28/ps/19 Pagina 1/1	DATA DI EMISSIONE:	14/01/19	Inizio analisi:	08/01/19
VERBALE DI ACCETTAZIONE Nº: 2 del 02/01/19	Apertura campione:	07/01/19	Fine analisi:	08/01/19
COMMITTENTE: AURELI SOIL SRL - VIA LAMARMOR	A,77 - GIOIA DEI MARSI			
RIFERIMENTO: CONSERVATORIO DI MUSICA L. D'AN	NUNZIO - PESCARA (PE)			
SONDAGGIO: SI CAMPIONE:	C2	PROFONI	OITA': m 14.5	0 - 15.00
PESO SPECIFI	CO DEI GRANULI			
Modalità di prova: No	orma UNI EN ISO 17892-	-3		

 $\gamma_S$  = Peso specifico dei granuli (media delle due misure) (kN/m³) = 26.7 kN/m³

 $\gamma_{SC}$  = Peso specifico dei granuli corretto a 20° (kN/m³) = 26.7 kN/m³

Metodo:

• A

 $\square$  B

Capacità del picnometro:

100 ml

Temperatura di prova:

24.0 °C

Dimensione massima delle particelle:

0.42 mm

Disaerazione eseguita per bollitura

ARGILLA CON LIMO DI COLORE GRIGIO-VERDASTRO

SGEO - Laboratorio 6.2 - 2018

Tecnico di laboratorio Dott Raffaele Corvaglia

ANU pag. 134 di 145



### GEOPROVE S.R.L. P. IVA 03940580750 GEOPROVE S.R.L. P. IVA 03940580750 Sede legade el absoration l'arte el Rocce Vio II Giogno 2, 730,49 Rullono (II) Teleboro e l'ax 0833 0/2992 c Cell. 329 359 9093 Autorizzazione ministerriale ad effetteurre a certificare provincia de contractore provincia de contracto



CERTIFICATO DI PROVA Nº: 28/lc/19 Pagina 1/1	DATA DI EMISSIONE:	14/01/19	Inizio analisi:	09/01/19
VERBALE DI ACCETTAZIONE Nº: 2 del 02/01/19	Apertura campione:	07/01/19	Fine analisi:	10/01/19

COMMITTENTE: AURELI SOIL SRL - VIA LAMARMORA,77 - GIOIA DEI MARSI

RIFERIMENTO: CONSERVATORIO DI MUSICA L. D'ANNUNZIO - PESCARA (PE)

SONDAGGIO: CAMPIONE: PROFONDITA': m 14.50 - 15.00

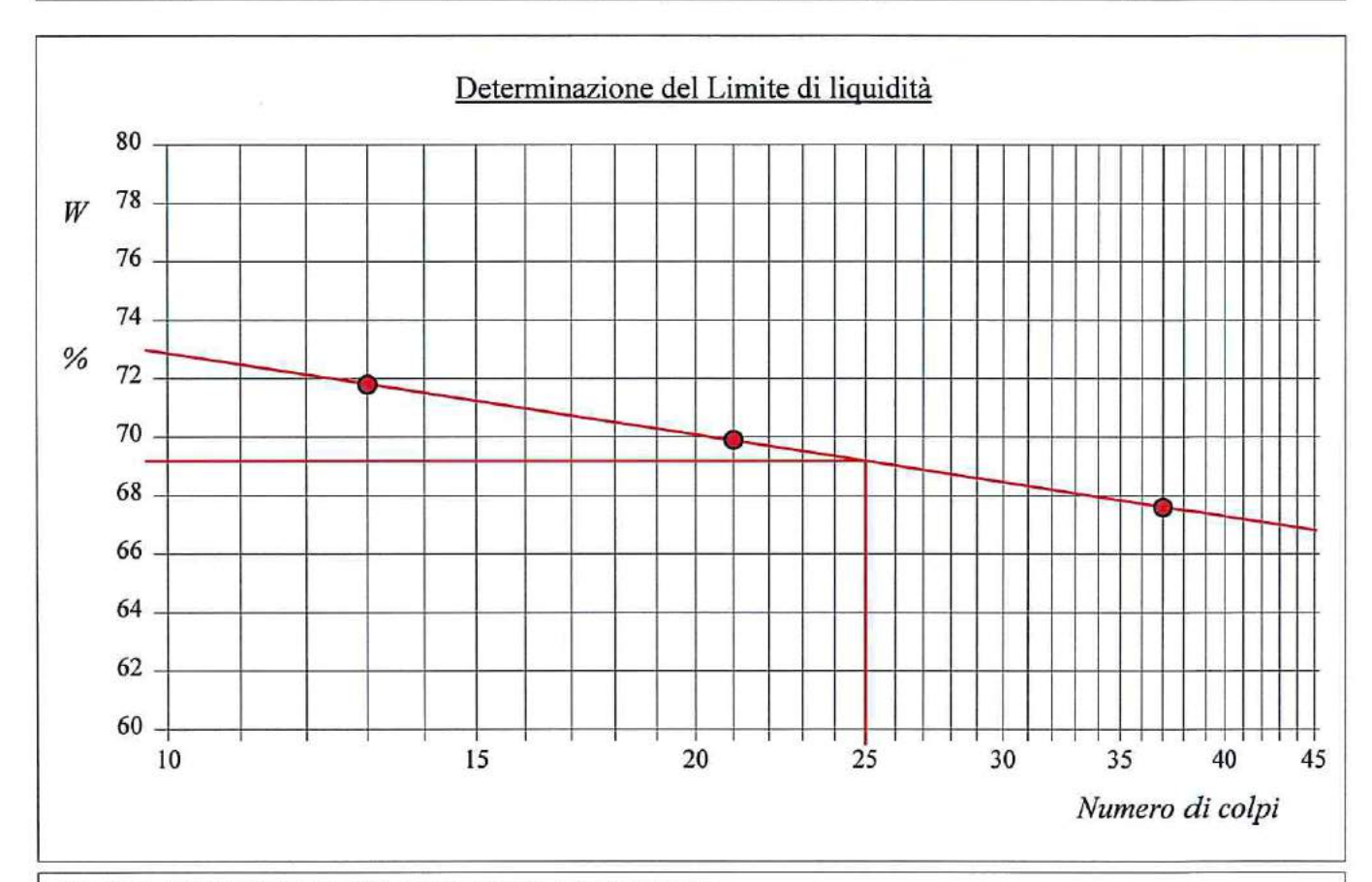
#### LIMITI DI CONSISTENZA LIQUIDO E PLASTICO

Modalità di prova: Norma ASTM D 4318

Limite di liquidità	69.2 %
Limite di plasticità	35.6 %
Indice di plasticità	33.6 %

La prova è stata eseguita sulla frazione granulometrica passante al setaccio n° 40 (0.42 mm)

	LIMITE D	I LIQUID	ITA'	LIMITE DI F	LASTICI	ΓΑ'
Numero di colpi	13	21	37	Umidità (%)	35.9	35.2
Umidità (%)	71.8	69.9	67.6	Umidità media	35	.6



ARGILLA CON LIMO DI COLORE GRIGIO-VERDASTRO

SGEO - Laboratorio 6.2 - 2018

Tecnico di laboratorio Dott.Raffaele Corvaglia BORATORIO

pag. 135 di 145



GEOPROVE S.R.L. P. IVA 03940580750

Sede legale el oboratorio Terre e Rosce Via II Giugno 2, 73049 Rullano (IE)

Sede legale en oboratorio Terre e Rosce Via II Giugno 2, 73049 Rullano (IE)

Sede legale en Fax 833 092992 - Cell. 329 339 9093

Authrizzatione ministrato del el Petronome



CERTIFICATO DI PROVA Nº:	28/lc/1	19	Allegato
VERBALE DI ACCETTAZIONE	Nº: 2	del	02/01/19

DATA DI EMISSIONE:	14/01/19	Inizio analisi:	09/01/19
Apertura campione:	07/01/19	Fine analisi:	10/01/19

COMMITTENTE: AURELI SOIL SRL - VIA LAMARMORA,77 - GIOIA DEI MARSI

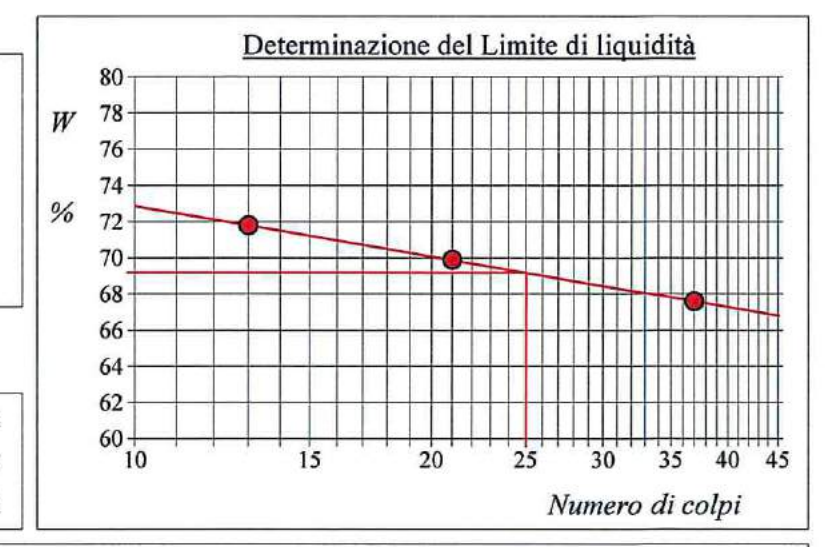
RIFERIMENTO: CONSERVATORIO DI MUSICA L. D'ANNUNZIO - PESCARA (PE)

SONDAGGIO: S1 CAMPIONE: C2 PROFONDITA': m 14.50 - 15.00

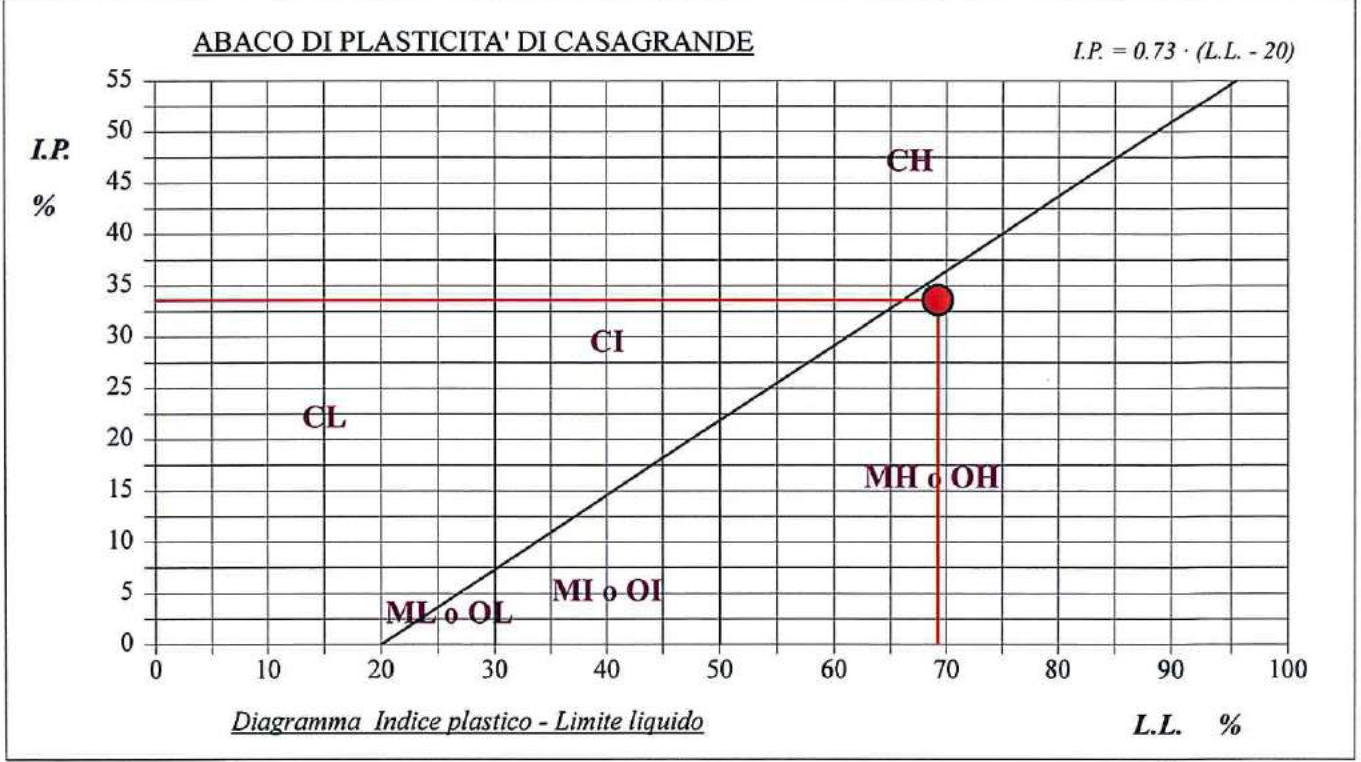
#### ABACO DI CASAGRANDE

Modalità di prova: Norma ASTM D 4318

69.2	%
35.6	%
33.6	%
1.49	
SI	
	35.6 33.6 1.49



C - Argille inorganiche L - Bassa compressibilità M - Limi inorganici I - Media compressibilità O - Argille e limi organici H - Alta compressibilità



ARGILLA CON LIMO DI COLORE GRIGIO-VERDASTRO.

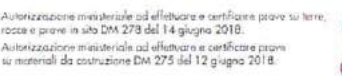
SGEO - Laboratorio 6.2 - 2018

Tecnico di laboratorio Dott.Raffaele Corvaglia Direttore de Naboratorio

Dott: Marcello De Donatis ABORATORIO

pag. 136 di 145







% % %

CERTIFICATO DI PROVA Nº: 28/gr/19 Allegato l	DATA DI EMISSIONE:	14/01/19	Inizio analisi:	07/01/19
VERBALE DI ACCETTAZIONE N°: 2 del 02/01/19	Apertura campione:	07/01/19	Fine analisi:	10/01/19

COMMITTENTE: AURELI SOIL SRL - VIA LAMARMORA,77 - GIOIA DEI MARSI

RIFERIMENTO: CONSERVATORIO DI MUSICA L. D'ANNUNZIO - PESCARA (PE)

SONDAGGIO: CAMPIONE: C2 PROFONDITA': m 14.50 - 15.00

#### **CLASSIFICAZIONE DEL TERRENO**

Classificazione secondo: CNR-UNI 10006/00

#### ANALISI GRANULOMETRICA

#### LIMITI DI CONSISTENZA

Passante setaccio 10 (2 mm)	100.0	%	Limite di liquidità	69.2
Passante setaccio 40 (0.42 mm)	99.2	%	Limite di plasticità	35.6
Passante setaccio 200 (0.075 mm)	96.0	%	Indice di plasticità	33.6

CLASSIFICAZIONE DEL TERRENO: A7-5 **INDICE DI GRUPPO: 20** 

Tipi usuali dei materiali principali:

Argille fortemente compressibili mediamente plastiche

ARGILLA CON LIMO DI COLORE GRIGIO-VERDASTRO.

SGEO - Laboratorio 6.2 - 2018

Techile Milaboratorio Dott Ratfacte Corvaglia

del aboratorio

pag. 137 di 145



### GEOPROVE S.R.L. P. IVA 03940580750 GEOPROVE S.R.L. P. IVA 03940580750 Sode legale el loboratorio liente el 80ccre Via II Giegno 2, 73049 Rulliana (El Viallacia el Sode Viallacia el Rulliana (El Viallacia el Ru



Pagina 1/1 DATA DI EMISSIONE: 14/01/19 Inizio analisi: 10/01/19 CERTIFICATO DI PROVA Nº: 28/lr/19 VERBALE DI ACCETTAZIONE Nº: 2 del 02/01/19 07/01/19 11/01/19 Fine analisi: Apertura campione:

COMMITTENTE: AURELI SOIL SRL - VIA LAMARMORA,77 - GIOIA DEI MARSI

RIFERIMENTO: CONSERVATORIO DI MUSICA L. D'ANNUNZIO - PESCARA (PE)

SONDAGGIO: S1 CAMPIONE: PROFONDITA': m 14.50 - 15.00

#### LIMITE DI RITIRO

Modalità di prova: Norma ASTM D 4943

Materiale passante al setaccio nº 40 (0.420 mm): 99 %

Limite di ritiro = 14.7 %

Coefficiente di ritiro = 8.00

Ritiro di volume = 133.15

Ritiro lineare = 24.59

ARGILLA CON LIMO DI COLORE GRIGIO-VERDASTRO.

SGEO - Laboratorio 6.2 - 2018

Tecnico di laboratorio Dott Ratfaele Corvaglia

Direttore del laboratorio Dott Marcello De Donatis ABORATORIO

pag. 138 di 145



GEOPROVE S.R.L. P. IVA 03940580750

Seria legale a laboratoria Terre a Pacce Via II Giugno 2, 73049 Rulfano III;

Talebona e Fax 0333 692992 • Cell. 329 359 9093

Authorizactions ministerials and effective or conflictors provided in the conflictors of the conflictors and conflictors and conflictors are provided in the conflictors of the CPS 256 II 2 giogna 2018.



Pagina 1/2 DATA DI EMISSIONE: 14/01/19 CERTIFICATO DI PROVA Nº: 28/ed/19 VERBALE DI ACCETTAZIONE Nº: 2 del 02/01/19 07/01/19 Apertura campione:

07/01/19 Inizio analisi: Fine analisi: 14/01/19

COMMITTENTE: AURELI SOIL SRL - VIA LAMARMORA,77 - GIOIA DEI MARSI

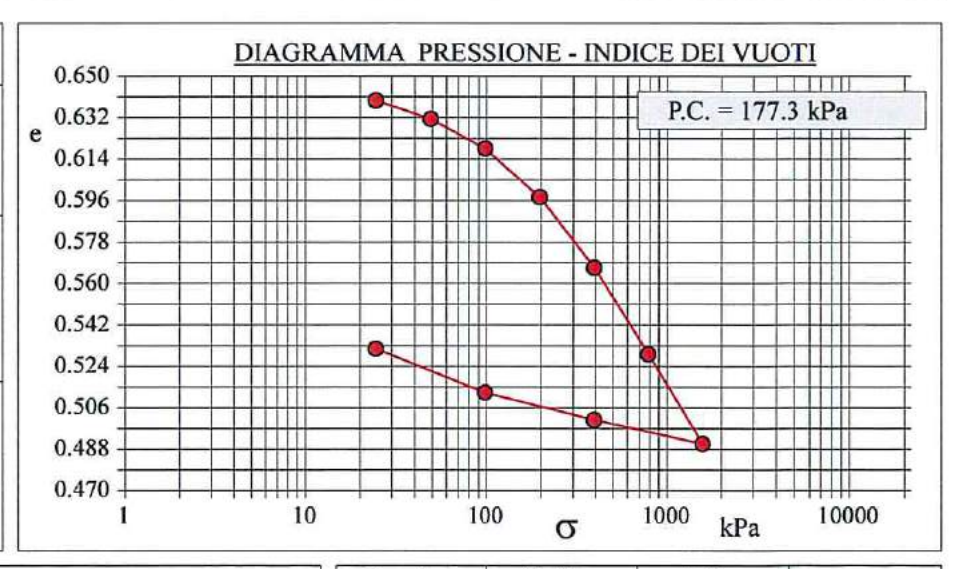
RIFERIMENTO: CONSERVATORIO DI MUSICA L. D'ANNUNZIO - PESCARA (PE)

SONDAGGIO: CAMPIONE: PROFONDITA': m SI 14.50 - 15.00

#### PROVA EDOMETRICA

Modalità di prova: Norma ASTM D 2435

Peso di volume (kN/m³)	19.29
Umidità (%)	19.1
Peso specifico (kN/m³)	26.68
Altezza provino (cm)	2.00
Diametro provino (cm)	5.00
Sezione provino (cm²)	19.63
Volume provino (cm³)	39.27
Volume dei vuoti (cm³)	15.42
Indice dei vuoti	0.65
Porosità (%)	39.28
Saturazione (%)	80.2



0.0	DIAGRA	MMA TEM	PO - CEDIN	MENTO	
1.0				•	49.0
2.0					98.1
3.0					196.
4.0					
5.0					392.3
6.0					
7.0					784.5
8.0					
9.0					1569.1
0.1		10	100	1000	min

Pressione kPa	mm/100	Vuoti	Cc
24.5	9.0	0.639	
49.0	18.7	0.631	0.026
98.1	34.2	0.619	0.043
196.1	59.9	0.597	0.070
392.3	97.1	0.567	0.102
784.5	142.7	0.529	0.125
1569.1	190.0	0.490	0.129
392.3	177.4	0.501	
98.1	162.8	0.513	
24.5	139.8	0.532	
			l.

ARGILLA CON LIMO DI COLORE GRIGIO-VERDASTRO

SGEO - Laboratorio 6.2 - 2018

Tecnico di laboratorio Dott Raffaele Corvaglia Direttore del aboratorio



GEOPROVE S.R.L. P. IVA 03940580750

Sede legale a laborator a Terre a Rocce Via il Giugno 2, 73049 Kulfano (E)

Felefone e fax 0833 992992 - Cell. 329-359-9993

sumatricità da assiruzione ministrata del Hagingo 2018.
Autorizzazione ministrata del Hagingo 2018.



CERTIFICATO DI PROVA Nº: 28/ed/19 Pagina 2/2 DATA DI EMISSIONE: 14/01/19 Inizio analisi: 07/01/19 VERBALE DI ACCETTAZIONE Nº: 2 del 02/01/19 07/01/19 14/01/19 Apertura campione: Fine analisi:

COMMITTENTE: AURELI SOIL SRL - VIA LAMARMORA,77 - GIOIA DEI MARSI

RIFERIMENTO: CONSERVATORIO DI MUSICA L. D'ANNUNZIO - PESCARA (PE)

CAMPIONE: SONDAGGIO: PROFONDITA': m 14.50 - 15.00

#### PROVA EDOMETRICA

Modalità di prova: Norma ASTM D 2435

#### LETTURE INTERMEDIE - TABELLE RIASSUNTIVE

49.0 kPa	Tressione	70.1 III U	T ressione 1	70.11 KI W	Pressione 392.3 kPa		
Cedim. mm/100	Tempo minuti	Cedim. mm/100	Tempo minuti	Cedim. mm/100	Tempo minuti	Cedim. mm/100	
9.0	0.00	18.7	0.00	34.2	0.00	59.9	
12.0	1.00	21.0	1.00	41.0	1.00	62.0	
13.7	2.00	24.5	2.00	46.0	2.00	69.4	
15.0	4.00	27.2	4.00	49.7	4.00	75.5	
16.0	8.00	29.1	8.00	52.7	8.00	80.6	
16.7	15.00	30.5	15.00	55.3	15.00	84.3	
17.4	30.00	31.8	30.00	57.0	30.00	88.0	
17.8	60.00	32.7	60.00	57.9	60.00	91.4	
18.1	120.00	33.3	120.00	58.7	120.00	93.7	
18.3	180.00	33.6	180.00	59.2	180.00	94.7	
18.7	1440.00	34.2	1440.00	59.9	1440.00	97.1	
	Cedim. mm/100  9.0  12.0  13.7  15.0  16.0  16.7  17.4  17.8  18.1  18.3	Cedim. mm/100         Tempo minuti           9.0         0.00           12.0         1.00           13.7         2.00           15.0         4.00           16.7         15.00           17.4         30.00           17.8         60.00           18.1         120.00           18.3         180.00	Cedim. mm/100         Tempo minuti         Cedim. mm/100           9.0         0.00         18.7           12.0         1.00         21.0           13.7         2.00         24.5           15.0         4.00         27.2           16.0         8.00         29.1           16.7         15.00         30.5           17.4         30.00         31.8           17.8         60.00         32.7           18.1         120.00         33.3           18.3         180.00         33.6	Cedim. mm/100         Tempo minuti         Cedim. mm/100         Tempo minuti           9.0         0.00         18.7         0.00           12.0         1.00         21.0         1.00           13.7         2.00         24.5         2.00           15.0         4.00         27.2         4.00           16.0         8.00         29.1         8.00           16.7         15.00         30.5         15.00           17.4         30.00         31.8         30.00           17.8         60.00         32.7         60.00           18.1         120.00         33.3         120.00           18.3         180.00         33.6         180.00	Cedim. mm/100         Tempo minuti         Cedim. mm/100         Tempo minuti         Cedim. mm/100           9.0         0.00         18.7         0.00         34.2           12.0         1.00         21.0         1.00         41.0           13.7         2.00         24.5         2.00         46.0           15.0         4.00         27.2         4.00         49.7           16.0         8.00         29.1         8.00         52.7           16.7         15.00         30.5         15.00         55.3           17.4         30.00         31.8         30.00         57.0           17.8         60.00         32.7         60.00         57.9           18.1         120.00         33.3         120.00         58.7           18.3         180.00         33.6         180.00         59.2	Cedim. mm/100         Tempo minuti         Cedim. mm/100         Tempo minuti         Cedim. mm/100         Tempo minuti         Tempo minuti         Tempo minuti         Tempo minuti           9.0         0.00         18.7         0.00         34.2         0.00           12.0         1.00         21.0         1.00         41.0         1.00           13.7         2.00         24.5         2.00         46.0         2.00           15.0         4.00         27.2         4.00         49.7         4.00           16.0         8.00         29.1         8.00         52.7         8.00           16.7         15.00         30.5         15.00         55.3         15.00           17.4         30.00         31.8         30.00         57.0         30.00           17.8         60.00         32.7         60.00         57.9         60.00           18.1         120.00         33.3         120.00         58.7         120.00           18.3         180.00         33.6         180.00         59.2         180.00	

	84.5 kPa	Pressione 15		Pressione	kPa	Pressione	kPa
Tempo minuti	Cedim. mm/100	Tempo minuti	Cedim. mm/100	Tempo minuti	Cedim. mm/100	Tempo minuti	Cedim. mm/100
0.00	97.1	0.00	142.7				
1.00	115.0	1.00	152.0				
2.00	121.4	2.00	160.3				
4.00	127.3	4.00	166.7				
8.00	132.7	8.00	172.4				
15.00	136.4	15.00	178.0				
30.00	138.4	30.00	182.8				
60.00	139.7	60.00	185.7				
120.00	140.5	120.00	188.1				
180.00	141.0	180.00	189.0				
1440.00	142.7	1440.00	190.0				
			ROVA	100			

SGEO - Laboratorio 6.2 - 2018

Tecnico di laboratorio Dott Raffacle Corvaglia









CERTIFICATO DI PROVA Nº: 28/td/19 Pagina 1/4	DATA DI EMISSIONE:	14/01/19	Inizio analisi:	11/01/19
VERBALE DI ACCETTAZIONE N°: 2 del 02/01/19	Apertura campione:	07/01/19	Fine analisi:	14/01/19

COMMITTENTE: AURELI SOIL SRL - VIA LAMARMORA,77 - GIOIA DEI MARSI

RIFERIMENTO: CONSERVATORIO DI MUSICA L. D'ANNUNZIO - PESCARA (PE)

SONDAGGIO: S1 CAMPIONE: C2 PROFONDITA': m 14.50 - 15.00

#### PROVA DI TAGLIO DIRETTO

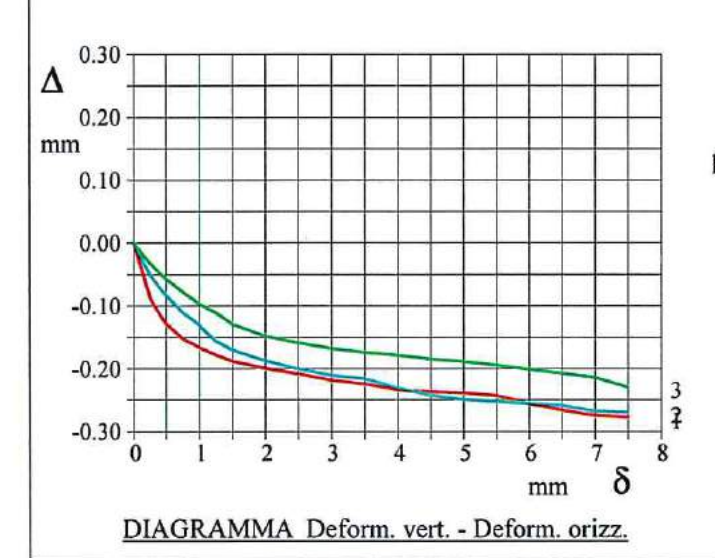
#### Modalità di prova: Norma ASTM D 3080

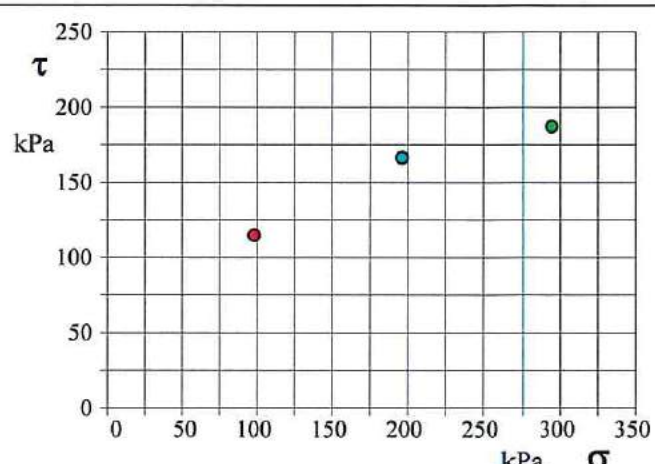
Provino nº:		1		2	3 Indisturbato 294	
Condizione del provino:	Indist	urbato	Indist	urbato		
Pressione verticale (kPa):	9	98	1	96		
Tensione a rottura (kPa):	115		166		187	
Deformazione orizzontale e verticale a rottura (mm):	5.00	-0.24	5.50	-0.25	6.00	-0.20
Umidità iniziale e umidità finale (%):	19.3	16.3	19.0	16.8	19.1	16.0
Peso di volume iniziale e finale (kN/m³):	19.3	19.2	19.3	19.6	19.3	19.8
Grado di saturazione iniziale e finale (%):	80.7	71.6	79.9	77.2	80.2	77.2

### **DIAGRAMMA**

#### Tensione - Pressione verticale

Tipo di prova:	Consolidata - lenta
Velocità di deformazione:	0.004 mm / min
Tempo di consolidazione (	ore): 24





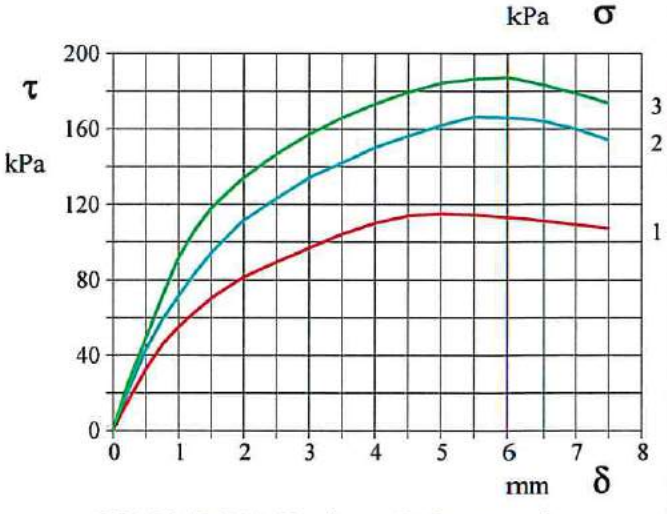


DIAGRAMMA Tensione - Deformaz. orizz.

ARGILLA CON LIMO DI COLORE GRIGIO-VERDA

SGEO - Laboratorio 6.2 - 2018

Tecnico di laboratorio Dott Raffaele Corvaglia Direttore del laboratorio

pag. 141 di 145



# GEOPROVE S.R.L. P. IVA 03940580750 Sede legale a laboratorio l'arre a Pacce Via II Giugna 2, 73049 Reliano (E) Islafono e Fax 0833 652992 \* Cell 329 159 9093 www.geoptore.eu \* Info@geoptore.eu Info@geoptore.eu Info@geoptore.eu Info@geoptore.eu



CERTIFICATO DI PROVA Nº: 28/td/19 Pagina 2/4 VERBALE DI ACCETTAZIONE Nº: 2 del 02/01/19

DATA DI EMISSIONE: 14/01/19 Inizio analisi: 11/01/19 07/01/19 14/01/19 Apertura campione: Fine analisi:

COMMITTENTE: AURELI SOIL SRL - VIA LAMARMORA,77 - GIOIA DEI MARSI

RIFERIMENTO: CONSERVATORIO DI MUSICA L. D'ANNUNZIO - PESCARA (PE)

SONDAGGIO: CAMPIONE: PROFONDITA': m 14.50 - 15.00

#### PROVA DI TAGLIO DIRETTO

Modalità di prova: Norma ASTM D 3080

	Provino 1			Provino 2			Provino 3	
Spostam. mm	Tensione kPa	Deform. vert.	Spostam. mm	Tensione kPa	Deform. vert.	Spostam. mm	Tensione kPa	Deform. vert
0.250	16.4	-0.09	0.250	22.0	-0.05	0.250	26.2	-0.03
0.500	32.2	-0.13	0.500	42.6	-0.08	0.500	48.4	-0.06
0.750	45.3	-0.15	0.750	58.5	-0.11	0.750	70.6	-0.08
1.000	54.6	-0.17	1.000	71.1	-0.13	1.000	91.3	-0.10
1.250	62.4	-0.18	1.250	83.0	-0.16	1.250	105.8	-0.11
1.500	70.2	-0.19	1.500	94.1	-0.17	1.500	117.8	-0.13
2.000	81.2	-0.20	2.000	111.4	-0.19	2.000	133.9	-0.15
2.500	89.3	-0.21	2.500	123.0	-0.20	2.500	146.4	-0.16
3.000	96.6	-0.22	3.000	134.1	-0.21	3.000	157.2	-0.17
3.500	104.1	-0.23	3.500	141.9	-0.22	3.500	165.7	-0.17
4.000	110.0	-0.23	4.000	150.1	-0.23	4.000	173.1	-0.18
4.500	113.8	-0.24	4.500	156.1	-0.24	4.500	179.3	-0.18
5.000	114.9	-0.24	5.000	161.9	-0.25	5.000	184.3	-0.19
5.500	114.2	-0.24	5.500	166.4	-0.25	5.500	186.5	-0.19
6.000	113.0	-0.26	6.000	166.2	-0.26	6.000	187.3	-0.20
6.500	111.0	-0.27	6.500	164.2	-0.26	6.500	183.4	-0.21
7.000	109.1 107.1	-0.28 -0.28	7.000 7.500	160.2 154.2	-0.27 -0.27	7.000 7.500	178.9 173.6	-0.21 -0.23
			(3)	OVE				

SGEO - Laboratorio 6.2 - 2018

Tecnico di laboratori Dott.Raffaete Corvaglia

Directore del laboratorio S.R.L.

pag. 142 di 145



# GEOPROVE S.R.L. P. IVA 03940580750 Sede legade e laboratorio Terre e Rocce Via II Giugno 2, 73049 Ruffano 111 Telvinos e Fus 0831 36929 2 + Cell. 329 339 9093 Autorizacione ministriale ad effetuare e certificare prove



Pagina 3/4 DATA DI EMISSIONE: 14/01/19 Inizio analisi: 11/01/19 CERTIFICATO DI PROVA Nº: 28/td/19 07/01/19 14/01/19 VERBALE DI ACCETTAZIONE Nº: 2 del 02/01/19 Apertura campione: Fine analisi:

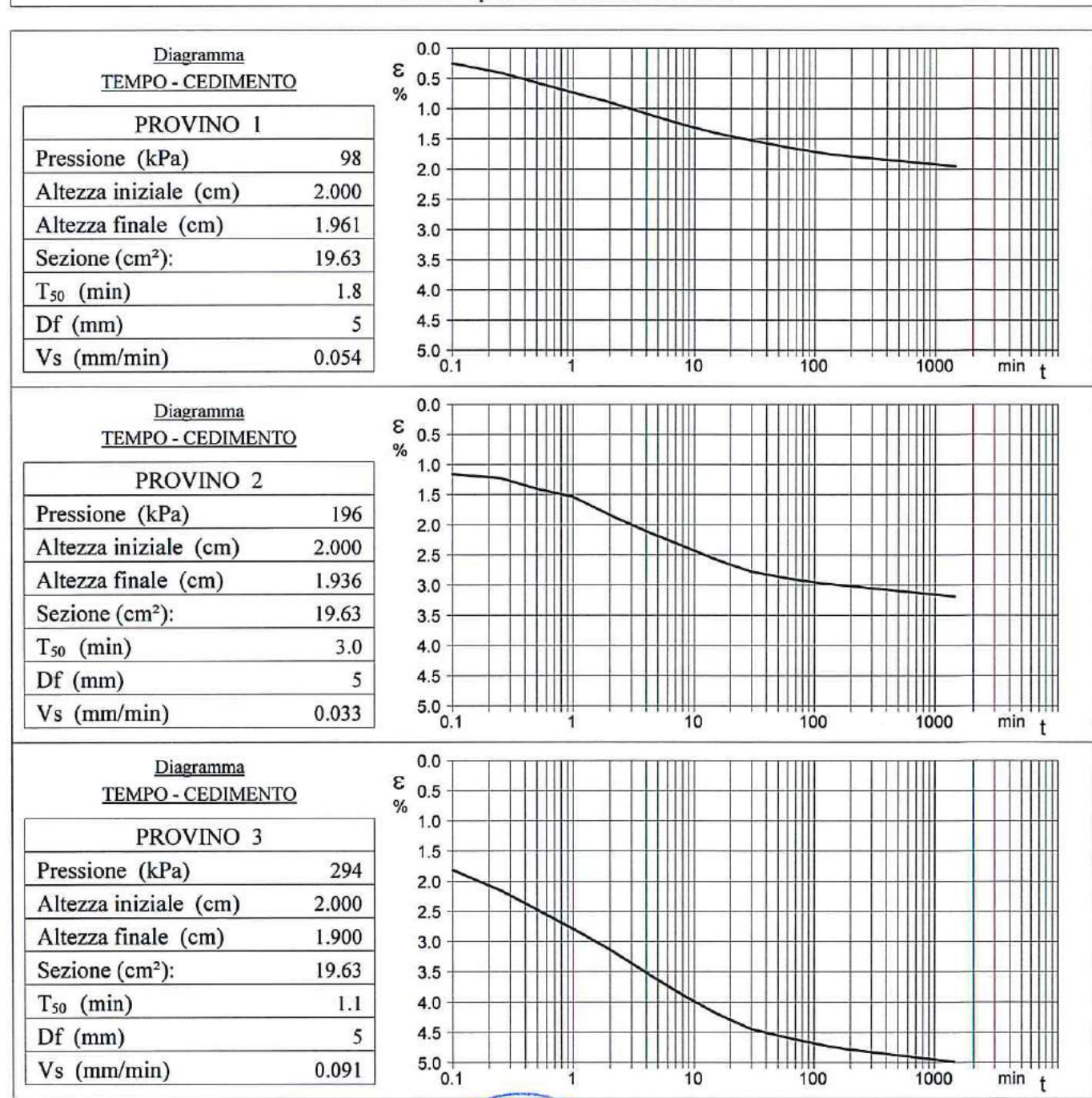
COMMITTENTE: AURELI SOIL SRL - VIA LAMARMORA,77 - GIOIA DEI MARSI

RIFERIMENTO: CONSERVATORIO DI MUSICA L. D'ANNUNZIO - PESCARA (PE)

SONDAGGIO: CAMPIONE: PROFONDITA': m 14.50 - 15.00

#### PROVA DI TAGLIO DIRETTO - FASE DI CONSOLIDAZIONE

#### Modalità di prova: Norma ASTM D 3080



Vs = Velocità stimata di prova Df = Deformazione a rottura stimata

 $tf = 50 \times T_{50}$ 

Vs = Df/tf

SGEO - Laboratorio 6.2 - 2018

Tecnico di laboratorio Dott Raffaele Corvaglia Directore del laboratorio S.R.I. Dott/Marcelo De Donatis

ABORATORIO

AND pag. 143 di 145



GEOPROYE S.R.L. P. IVA 03940580750

Author zazone ministriale ad ellaboure a certificate prove where, rocce a prove in the DM 278 del 14 giogno 2018.

Author zazone ministriale ad ellaboure a certificate prove where, rocce a prove in the DM 278 del 14 giogno 2018.

Author zazone ministriale ad ellaboure a certificate prove where, rocce a prove in the DM 278 del 14 giogno 2018.



Pagina 4/4 11/01/19 CERTIFICATO DI PROVA Nº: 28/td/19 DATA DI EMISSIONE: 14/01/19 Inizio analisi: VERBALE DI ACCETTAZIONE Nº: 2 del 02/01/19 07/01/19 Fine analisi: 14/01/19 Apertura campione:

COMMITTENTE: AURELI SOIL SRL - VIA LAMARMORA,77 - GIOIA DEI MARSI

RIFERIMENTO: CONSERVATORIO DI MUSICA L. D'ANNUNZIO - PESCARA (PE)

SONDAGGIO: CAMPIONE: PROFONDITA': m 14.50 - 15.00

#### PROVA DI TAGLIO DIRETTO - FASE DI CONSOLIDAZIONE

Modalità di prova: Norma ASTM D 3080

	Provino 1			Provino 2			Provino 3	
Tempo	Cedim.	Cedim.	Tempo	Cedim.	Cedim.	Tempo	Cedim.	Cedim.
minuti	mm/100	%	minuti	mm/100	%	minuti	mm/100	%
0.00	0.00	0.00	0.00	0.00	0.00	0.00	0.00	0.00
0.10	4.99	0.25	0.10	23.18	1.16	0.10	36.29	1.81
0.25	8.14	0.41	0.25	24.46	1.22	0.25	43.01	2.15
0.50	11.43	0.57	0.50	28.02	1.40	0.50	49.45	2.47
1.00	14.76	0.74	1.00	30.78	1.54	1.00	55.87	2.79
2.00	17.95	0.90	2.00	36.79	1.84	2.00	62.70	3.14
4.00	21.77	1.09	4.00	42.16	2.11	4.00	70.29	3.51
8.00	25.35	1.27	8.00	46.99	2.35	8.00	77.69	3.88
15.00	28.11	1.41	15.00	51.48	2.57	15.00	83.64	4.18
30.00	30.56	1.53	30.00	55.55	2.78	30.00	88.92	4.45
60.00	32.90	1.65	60.00	57.74	2.89	60.00	91.74	4.59
120.00	34.78	1.74	120.00	59.51	2.98	120.00	94.31	4.72
180.00	35.60	1.78	180.00	60.15	3.01	180.00	95.46	4.77
1440.00	39.02	1.95	1440.00	63.76	3.19	1440.00	99.66	4.98
				30XE			0	

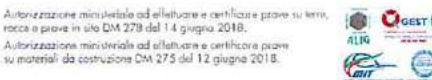
SGEO - Laboratorio 6.2 - 2018

Tecmed al laboratorio Dott Raffaele Corvaglia Direttore del laborator io Dott Marcello De Donatis

DANO pag. 144 di 145



le e laboratoria Terre e Rocce Via II Giogno 2, 73049 Rullar Telefono e Fax 0833 692992 • Cell. 329 359 9093

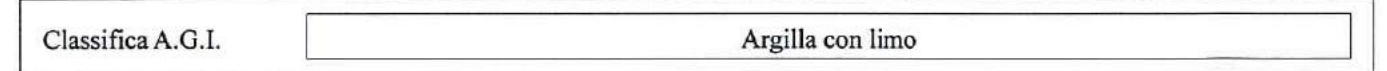


AURELI SOIL SRL - VIA LAMARMORA,77 - GIOIA DEI MARSI COMMITTENTE:

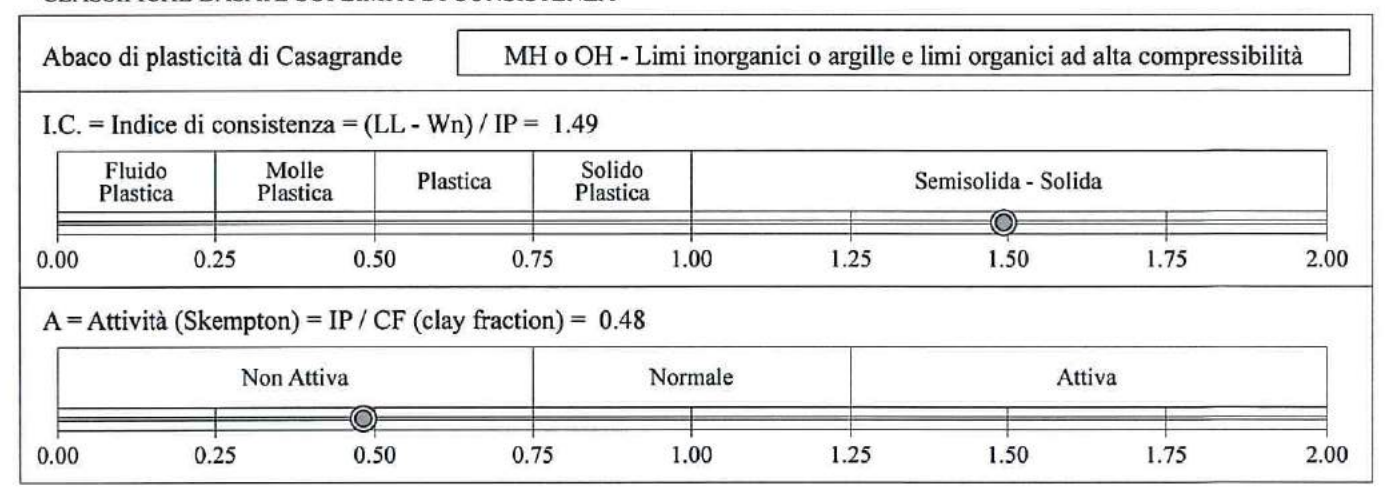
CONSERVATORIO DI MUSICA L. D'ANNUNZIO - PESCARA (PE) RIFERIMENTO:

SONDAGGIO: CAMPIONE: C2 PROFONDITA': m 14.50 - 15.00

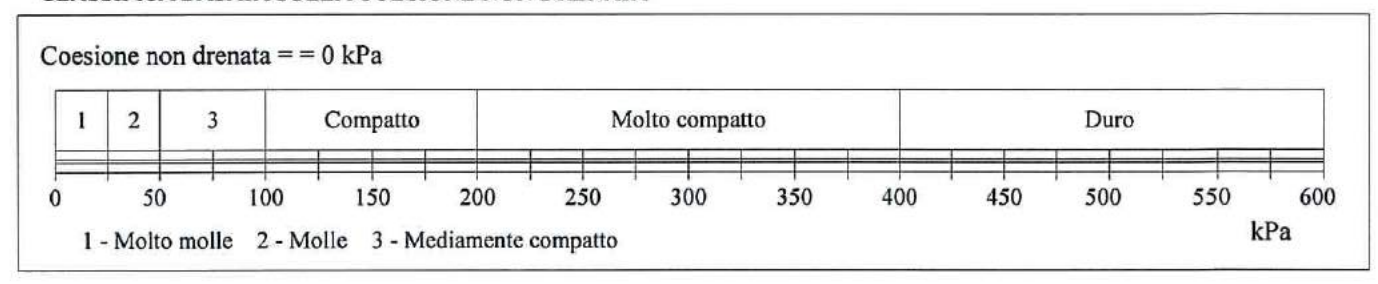
#### CLASSIFICA BASATA SULLA GRANULOMETRIA



#### CLASSIFICHE BASATE SUI LIMITI DI CONSISTENZA



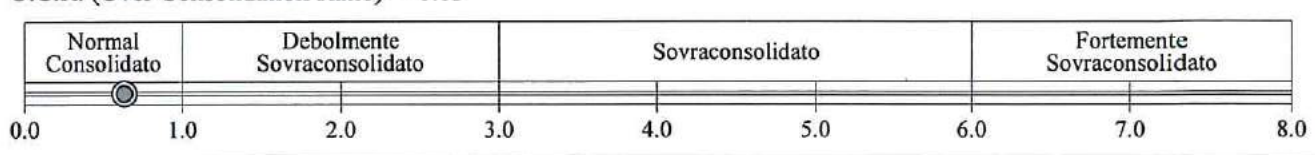
#### CLASSIFICA BASATA SULLA COESIONE NON DRENATA



#### CLASSIFICA BASATA SULLA PRECONSOLIDAZIONE

Pressione del campione in sito = 280.0kPa Pressione di preconsolidazione [da Prova Edometrica] = 177.3kPa

### O.C.R. (Over Consolidation Ratio) = 0.63



#### ARGILLA CON LIMO DI COLORE GRIGIO-VERDASTRO.